

SEGES

BILAG TIL MILJØTILSTANDEN I MARIAGER FJORD

Beskrivelse af udviklingstendenser
af centrale miljøparametre

November 2020 UDKAST



BILAG TIL
MILJØTILSTANDEN I MARIAGER FJORD

Er udgivet af

Landbrug og Fødevarer F.m.b.A.

SEGES

Agro Food Park 15

8200 Aarhus N

+45 87 40 5000

seges.dk

UDARBEJDET AF

Plante- og Miljøinnovation, SEGES

REDAKTØR

Flemming Gertz, Chefkonsulent

FORFATTERE

Flemming Gertz, Chefkonsulent

Sebastian Piet Zacho, Konsulent

FORSIDEFOTO

COLOURBOX

FINANSIERET AF

Promilleafgiftsfonden



STØTTET AF

Promilleafgiftsfonden for landbrug

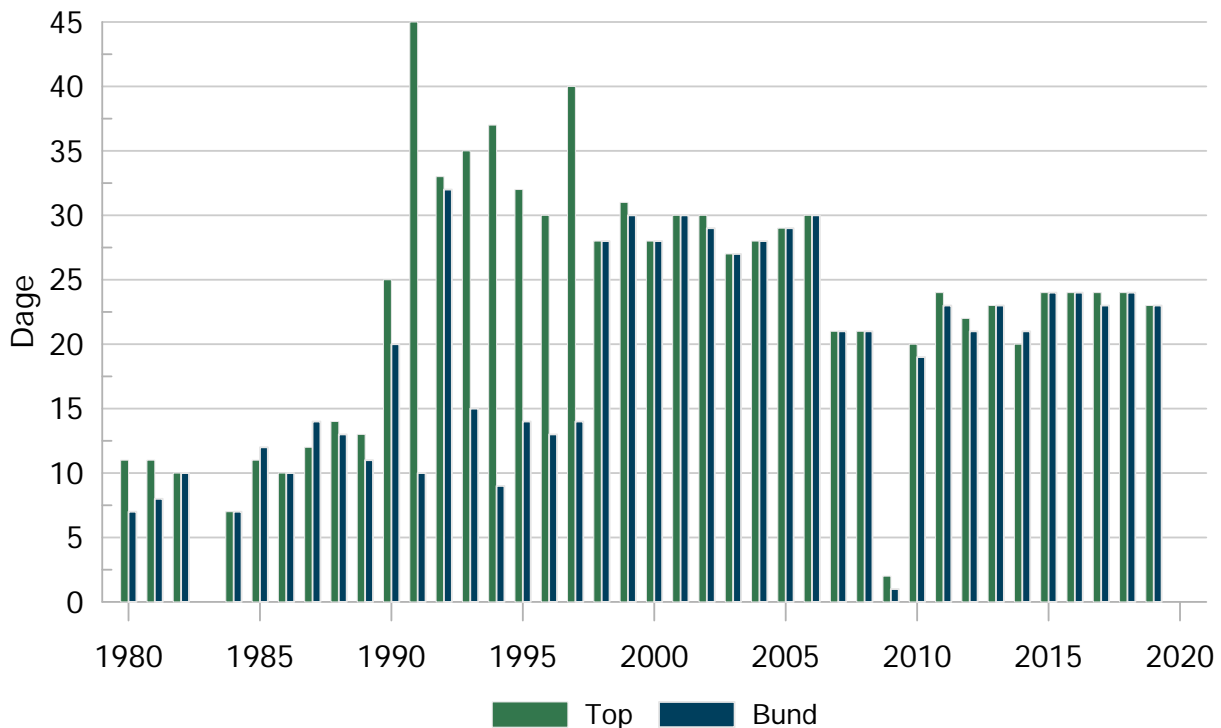
INDHOLDSFORTEGNELSE

1	Datagrundlag	5
2	Sommer- og vinterudvikling	9
3	Udvikling i sommermånederne	21
4	Funktion af måned	37
5	Vegetation	49
6	Vindhændelser	53

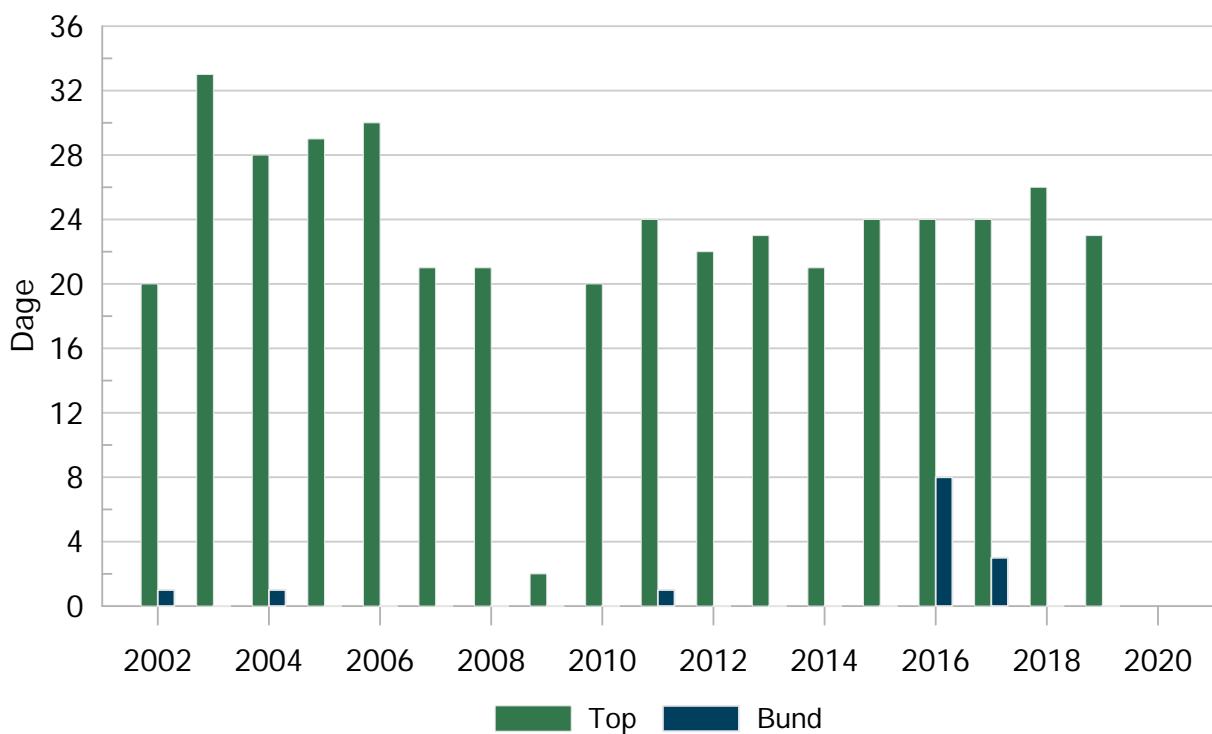
Datagrundlag



Figur 1.1 Lokationer for de anvendte målestationer (93610032 og 93610034) samt transektområderne (93610141, 93610173, 93610191, 93610196, 93610225 og 93610227).

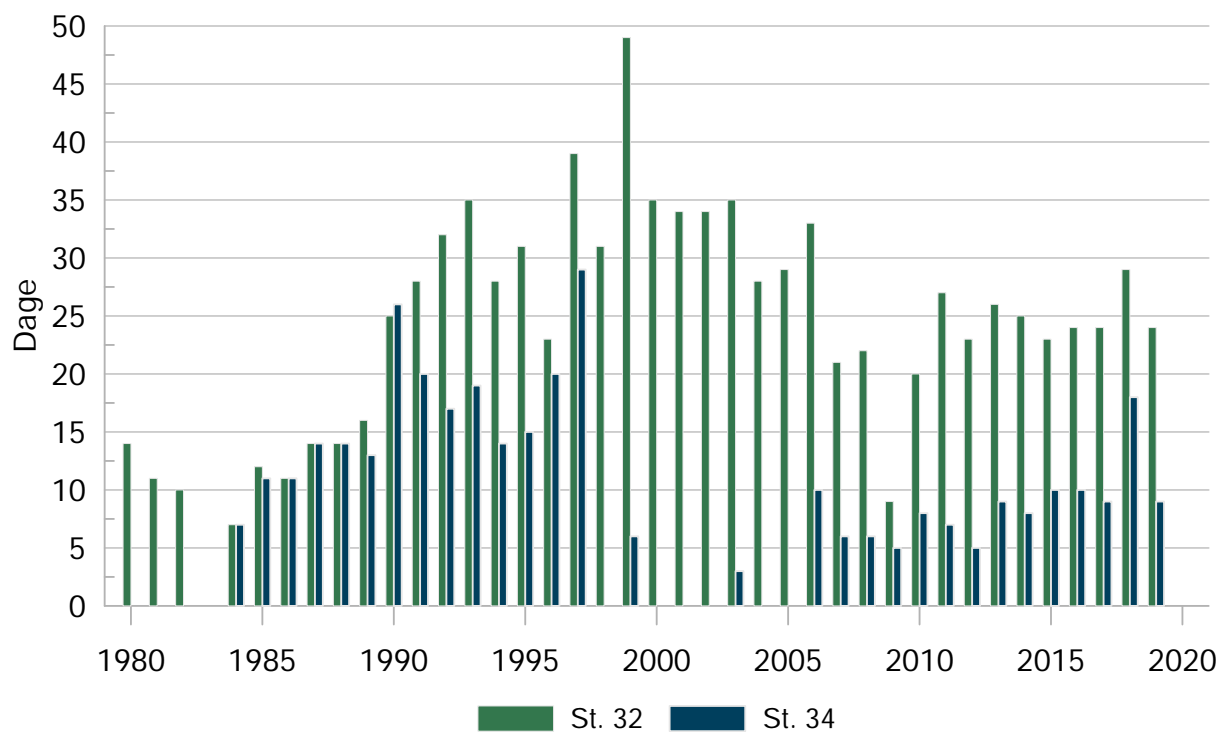


Figur 1.2 Antal dage med målinger af næringsstoffer pr. år fordelt i topprøver (dybde \leq 5 meter) og bundprøver (dybde \geq 25 meter).

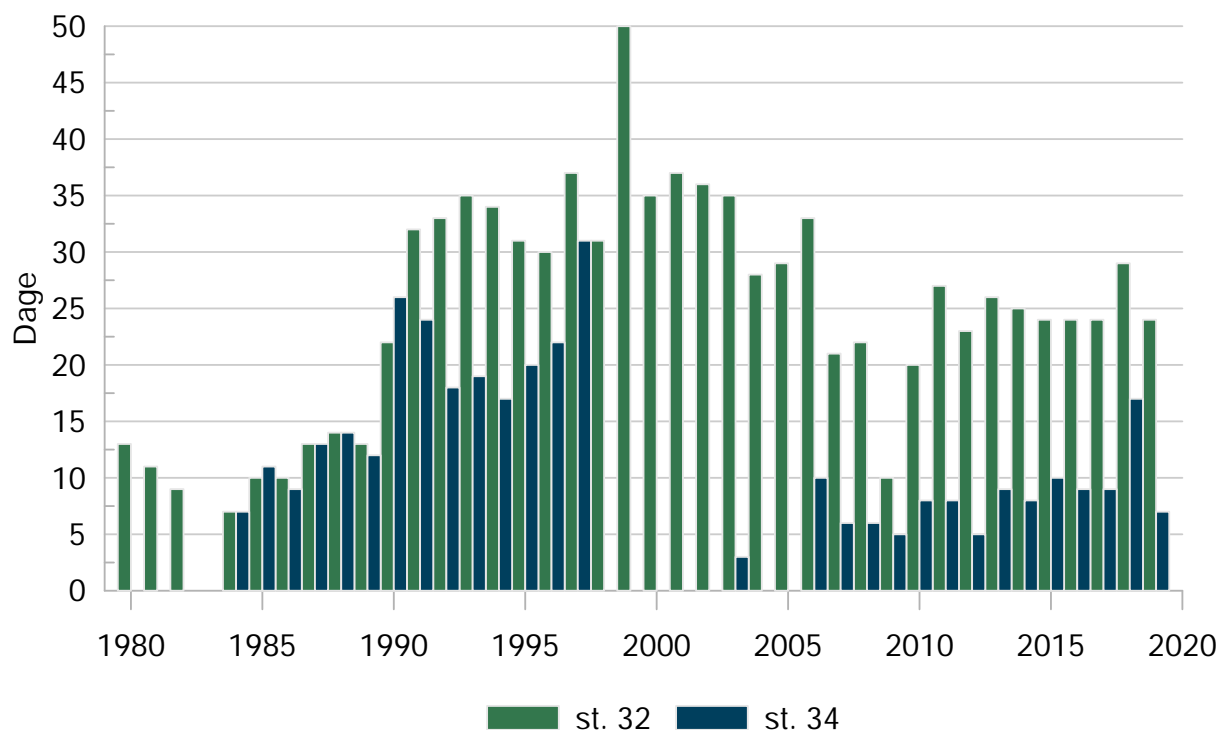


Figur 1.3 Antal dage med målinger af klorofyl pr. år fordelt i topprøver (dybde \leq 5 meter) og bundprøver (dybde \geq 25 meter).

1. Datagrundlag



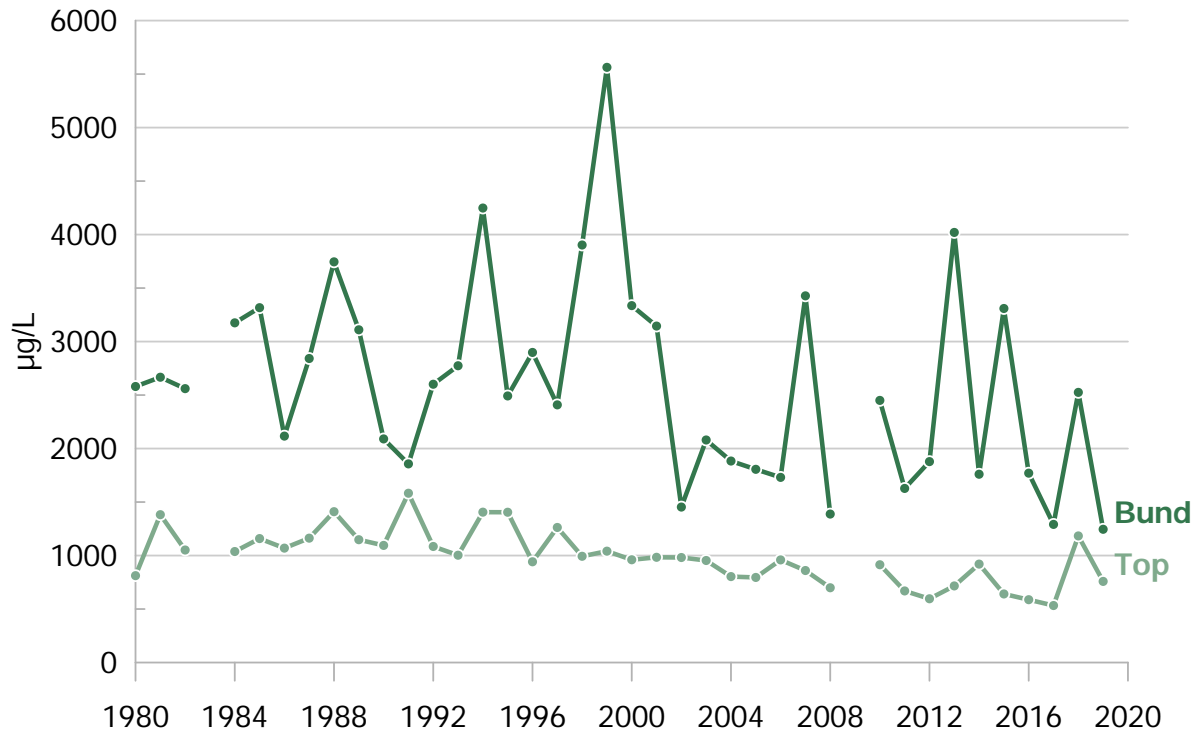
Figur 1.4 Antal dage med målinger af CTD (ilt og salinitet) pr. år ved henholdsvis målestation 93610032 og 93610034.



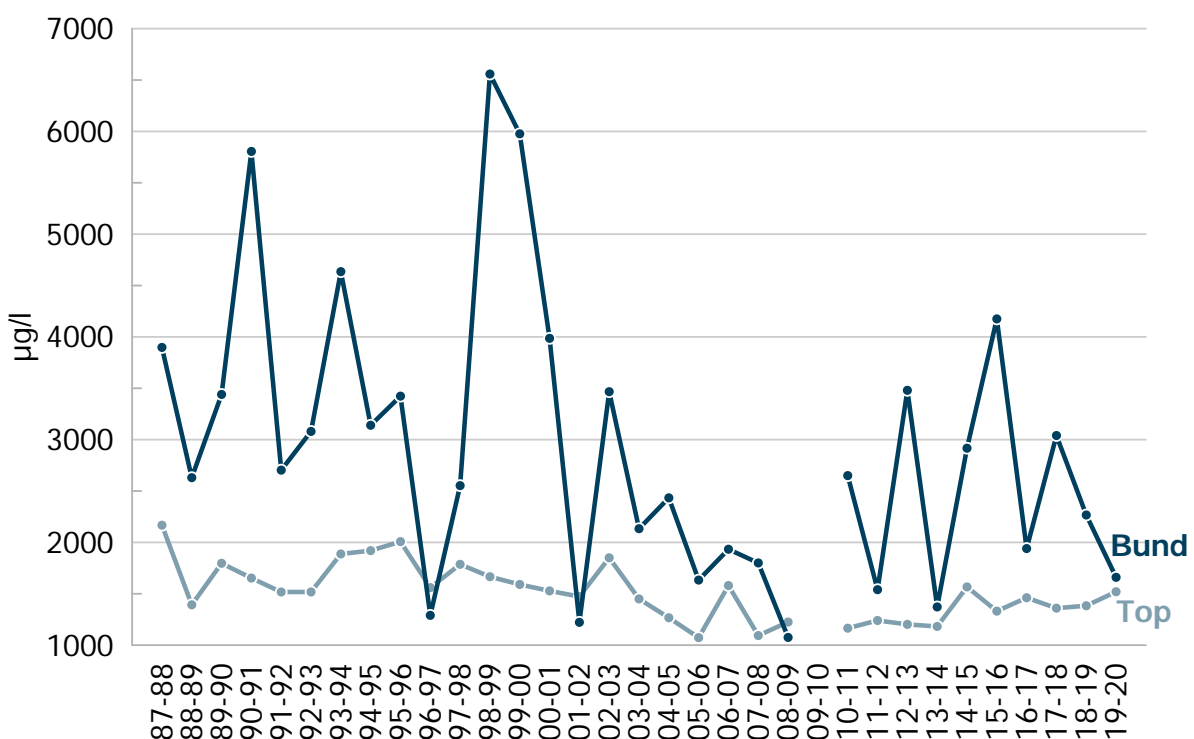
Figur 1.5 Antal dage med målinger af sigtdybde pr. år ved henholdsvis målestation 93610032 og 93610034.

Sommer- og vinterudvikling

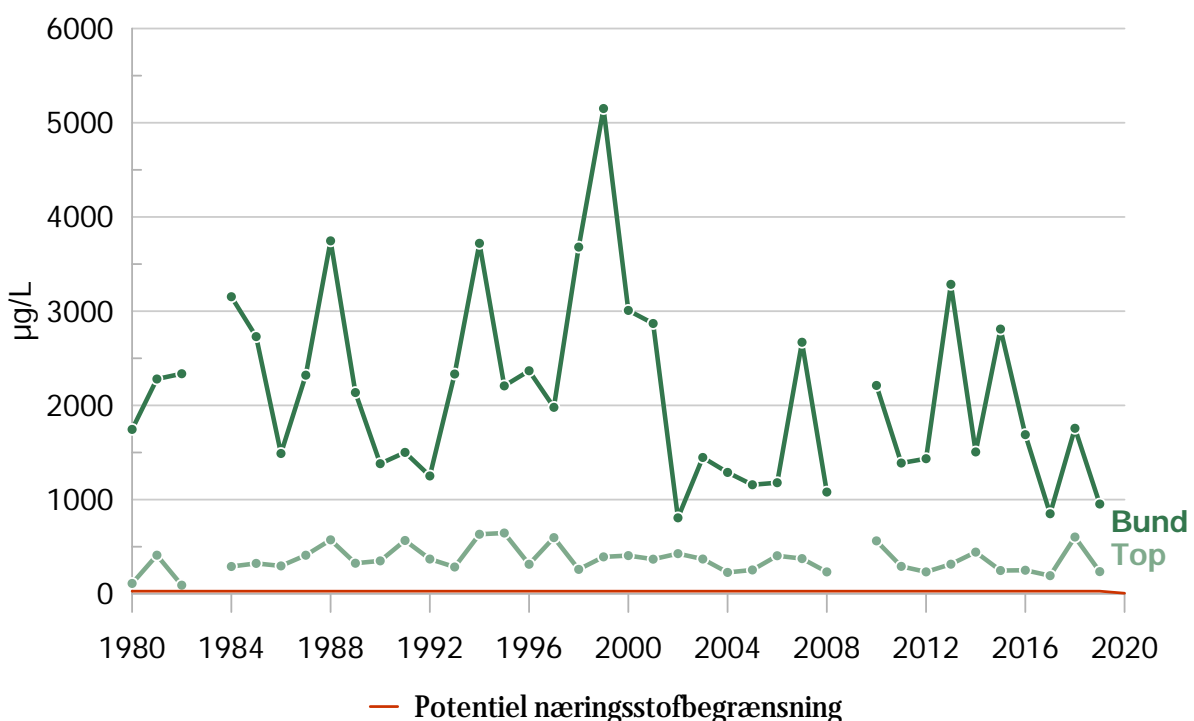
2



Figur 2.1 Sommertidsgennemsnit (maj-sep) af den totale kvælstofkoncentration ($\mu\text{g}/\text{L}$) pr. for top- og bundprøver (hhv. dybde ≤ 5 meter og dybde ≥ 25 meter).

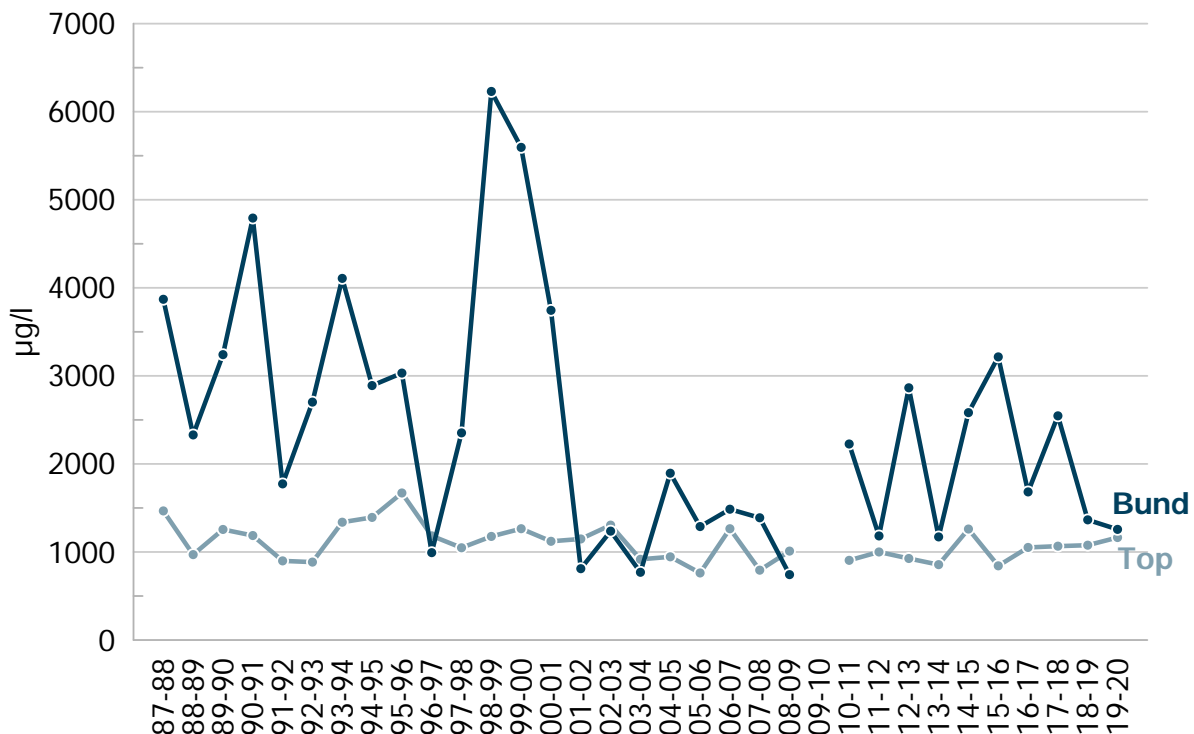


Figur 2.2 Vintergennemsnit (nov-jan) af den totale kvælstofkoncentration ($\mu\text{g}/\text{L}$) pr. hydrologisk år for top- og bundprøver (hhv. dybde ≤ 5 meter og dybde ≥ 25 meter).

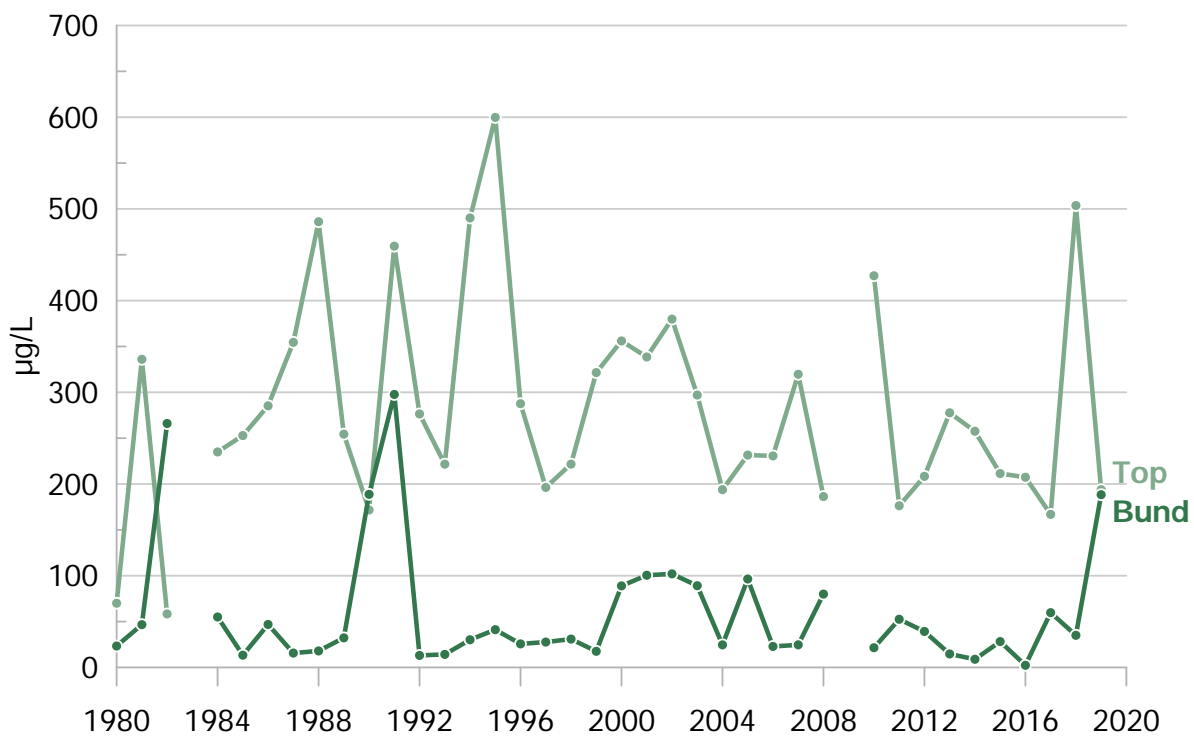


Figur 2.3 Sommertgennemsnit (maj-sep) af DIN-koncentrationen ($\mu\text{g}/\text{L}$) pr. år for top- og bundprøver (hhv. dybde ≤ 5 meter og dybde ≥ 25 meter). Den potentielle næringsstofbegrænsning for DIN er 28 $\mu\text{g}/\text{L}$.

2. Sommer- og vinterudvikling



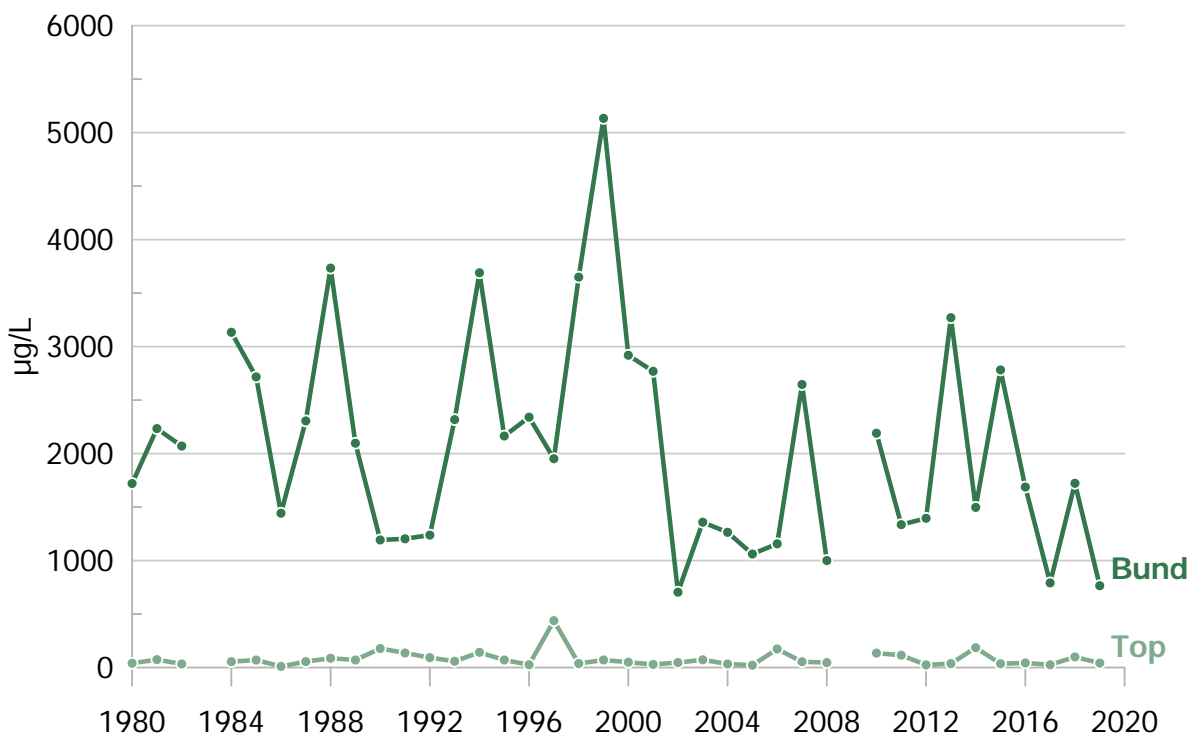
Figur 2.4 Vintergennemsnit (nov-jan) af DIN-koncentrationen ($\mu\text{g}/\text{L}$) pr. hydrologisk år for top- og bund-prøver (hhv. dybde ≤ 5 meter og dybde ≥ 25 meter).



Figur 2.5 Sommergennemsnit (maj-sep) af nitrit+nitrat-N-koncentrationen ($\mu\text{g}/\text{L}$) pr. år for top- og bund-prøver (hhv. dybde ≤ 5 meter og dybde ≥ 25 meter).

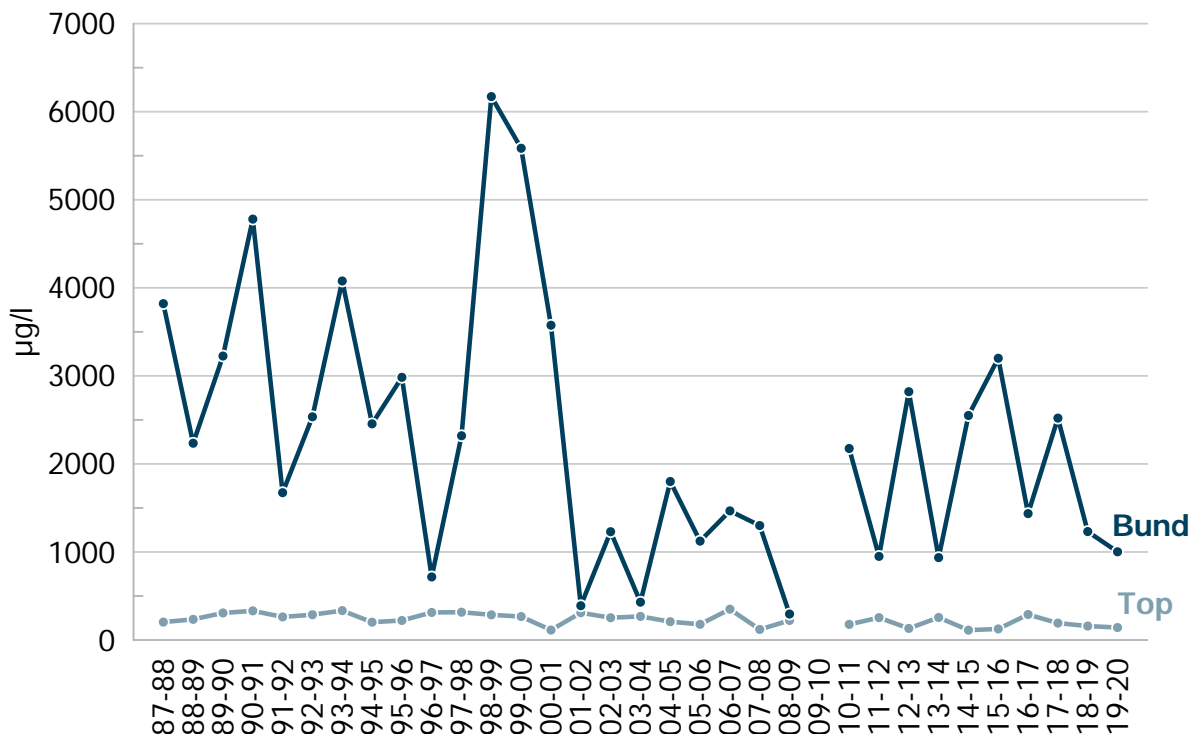


Figur 2.6 Vintergennemsnit (nov-jan) af nitrit+nitrat-N-koncentrationen ($\mu\text{g}/\text{L}$) pr. hydrologisk år for top- og bundprøver (hhv. dybde ≤ 5 meter og dybde ≥ 25 meter).

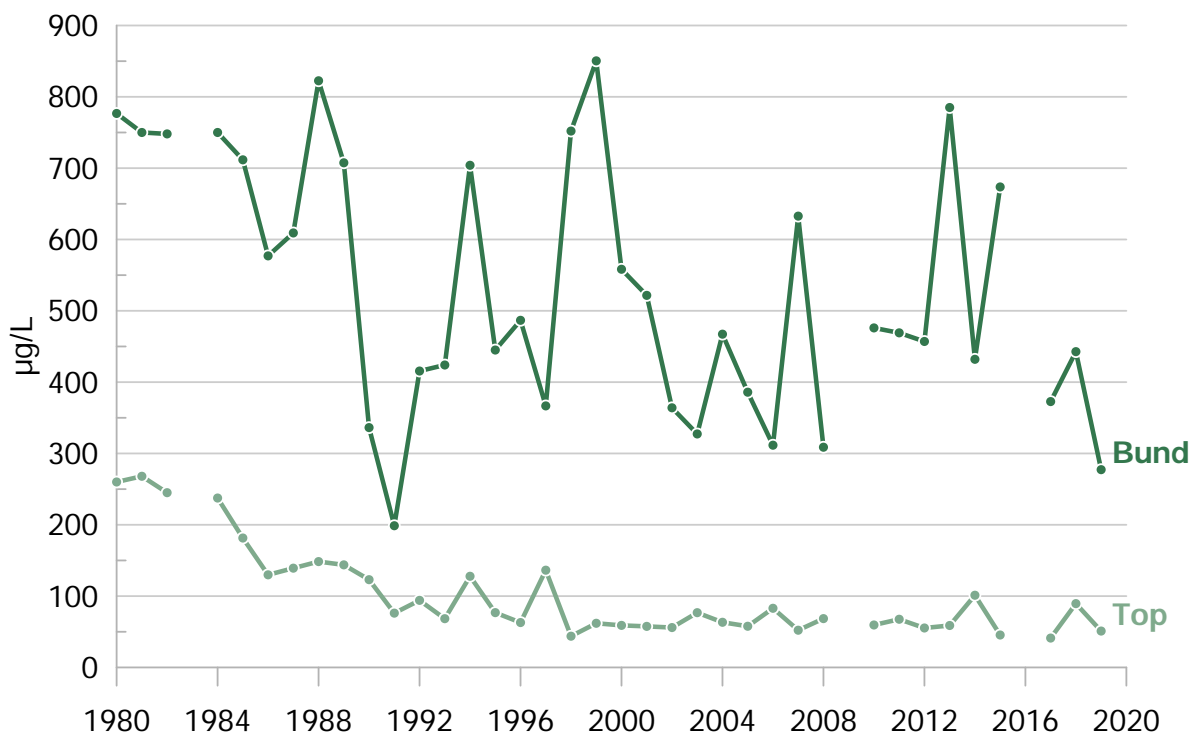


Figur 2.7 Sommergennemsnit (maj-sep) af ammoniak+ammonium-N-koncentrationen ($\mu\text{g}/\text{L}$) pr. år for top- og bundprøver (hhv. dybde ≤ 5 meter og dybde ≥ 25 meter).

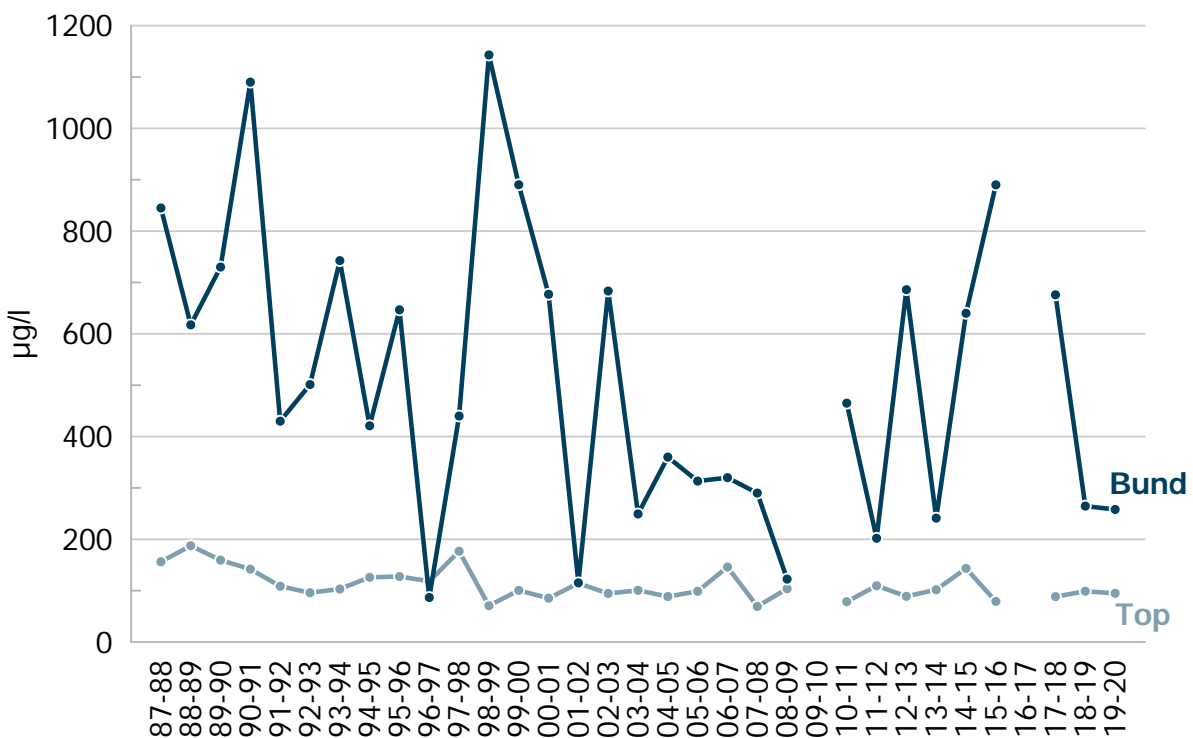
2. Sommer- og vinterudvikling



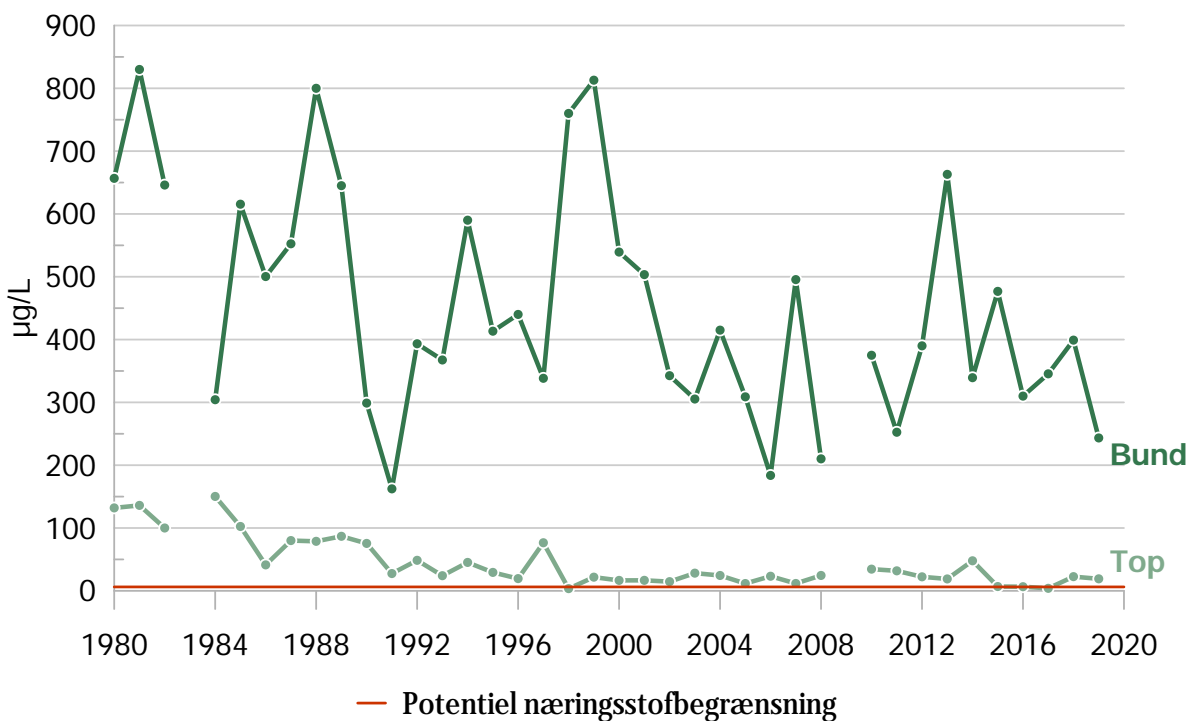
Figur 2.8 Vintergennemsnit (nov-jan) af ammoniak+ammonium-N-koncentrationen ($\mu\text{g}/\text{L}$) pr. hydrologisk år for top- og bundprøver (hhv. dybde ≤ 5 meter og dybde ≥ 25 meter).



Figur 2.9 Sommertgennemsnit (maj-sep) af den totale fosforkoncentration ($\mu\text{g}/\text{L}$) pr. år for top- og bundprøver (hhv. dybde ≤ 5 meter og dybde ≥ 25 meter).

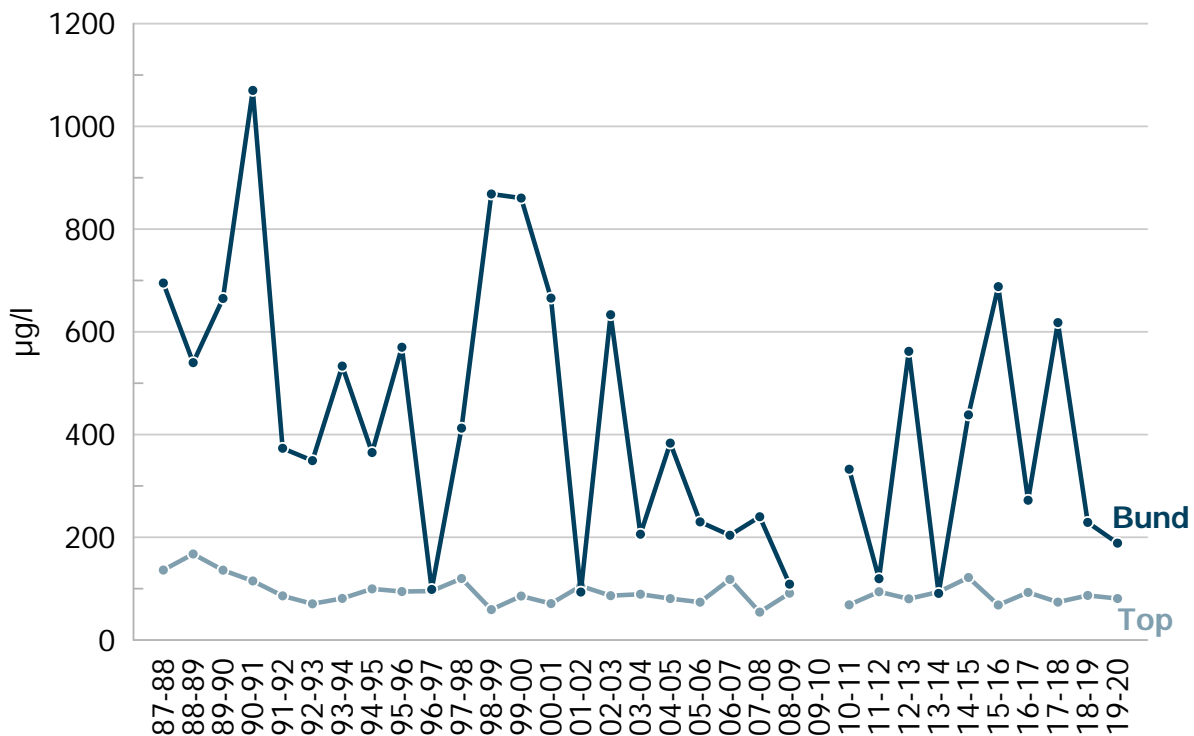


Figur 2.10 Vintergennemsnit (nov-jan) af den totale fosforkoncentration ($\mu\text{g}/\text{L}$) pr. hydrologisk år for top- og bundprøver (hhv. dybde ≤ 5 meter og dybde ≥ 25 meter).

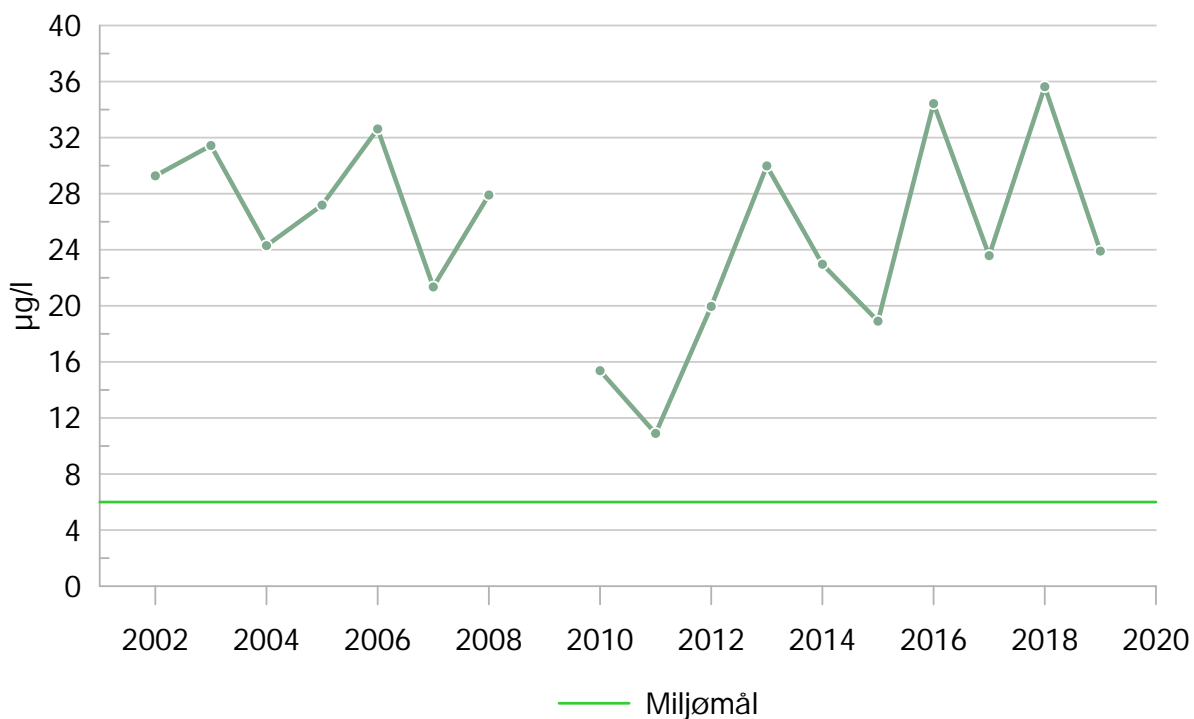


Figur 2.11 Sommergennemsnit (maj-sep) af orthofosfat-P-koncentrationen ($\mu\text{g}/\text{L}$) pr. år for top- og bundprøver (hhv. dybde ≤ 5 meter og dybde ≥ 25 meter). Den potentielle næringsstofbegrænsning for orthofosfat-P er $6,2 \mu\text{g}/\text{L}$.

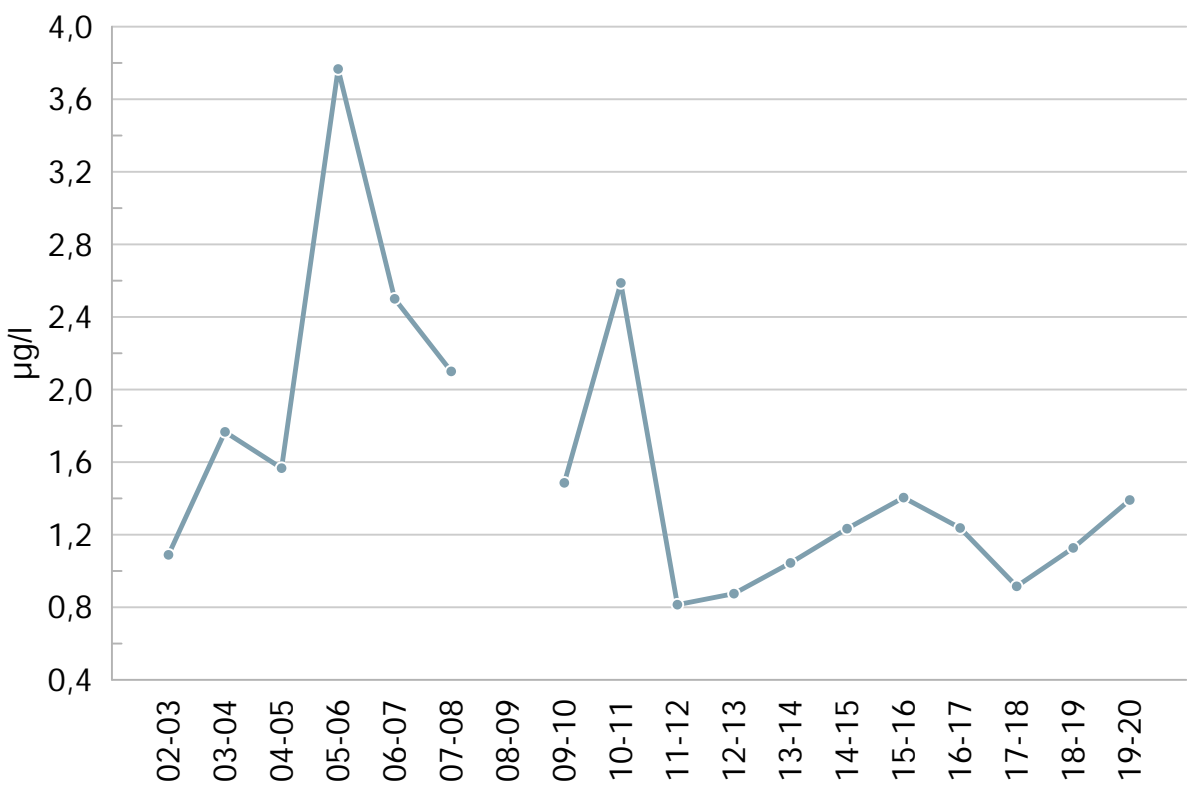
2. Sommer- og vinterudvikling



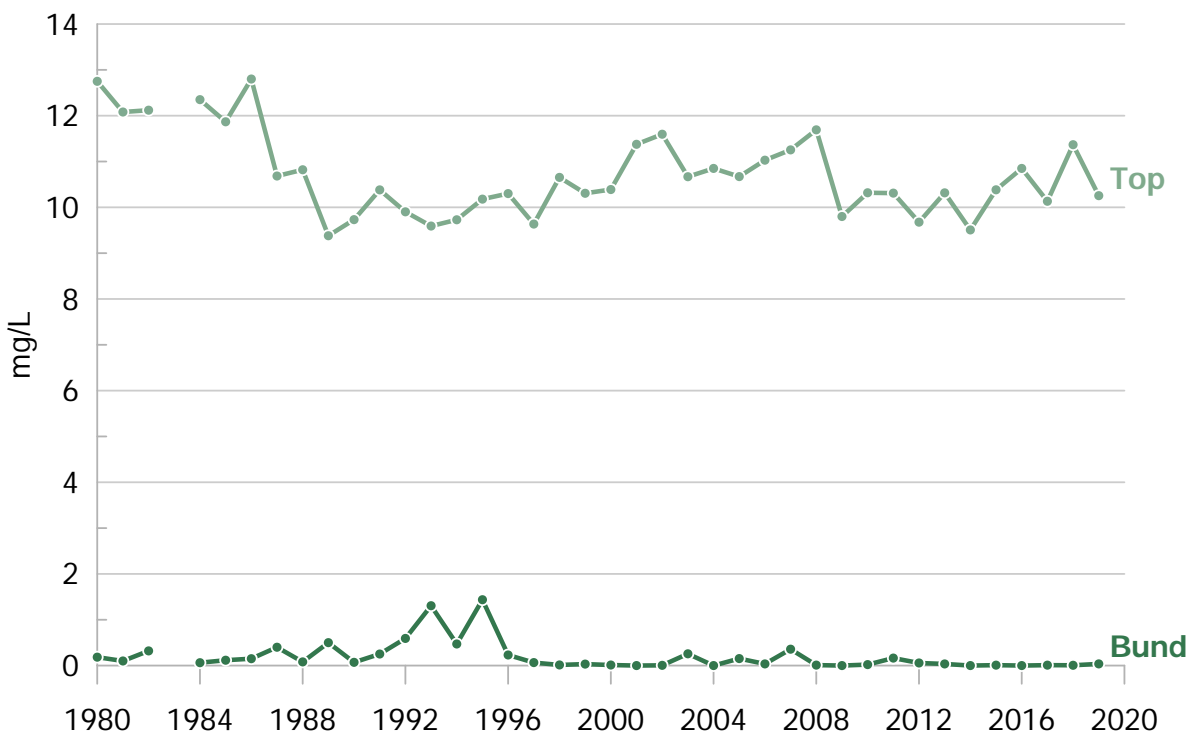
Figur 2.12 Vintergennemsnit (nov-jan) af orthofosfat-P-koncentrationen ($\mu\text{g}/\text{L}$) pr. hydrologisk år for top- og bundprøver (hhv. dybde ≤ 5 meter og dybde ≥ 25 meter).



Figur 2.13 Sommergennemsnit (maj-sep) af klorofylkoncentrationen ($\mu\text{g}/\text{L}$) pr. år for topprøver (dybde ≤ 5 meter). Miljømålet for god/moderat økologisk tilstand er $6,0 \mu\text{g}/\text{L}$ for Mariager Inderfjord.



Figur 2.14 Vintergennemsnit (nov-jan) af klorofylkoncentrationen ($\mu\text{g}/\text{L}$) pr. hydrologisk år for topprøver (dybde ≤ 5 meter).

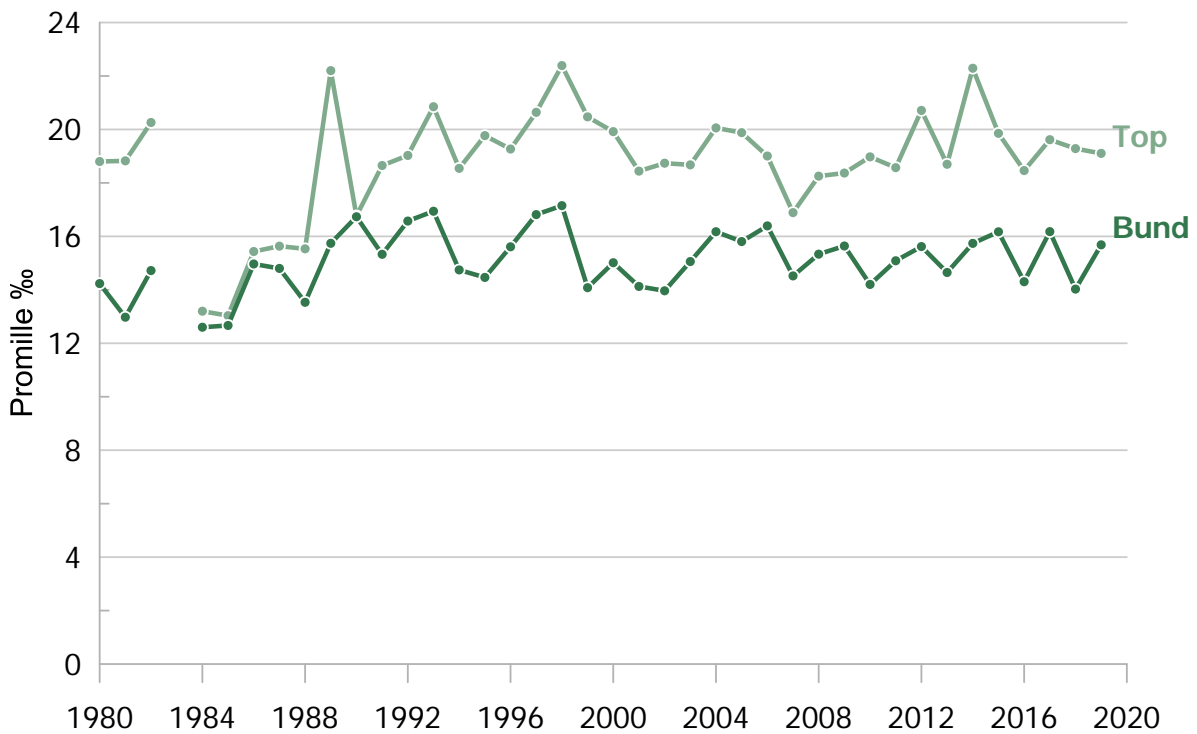


Figur 2.15 Sommergennemsnit (maj-sep) af iltkoncentrationen (mg/L) pr. år for top- og bundprøver (hhv. øverste og dybste måling) ved målestation 93610032.

2. Sommer- og vinterudvikling



Figur 2.16 Sommerringennemsnit (maj-sep) af iltkoncentrationen (mg/L) pr. år for top- og bundprøver (hhv. øverste og dybeste måling) ved målestation 93610034.

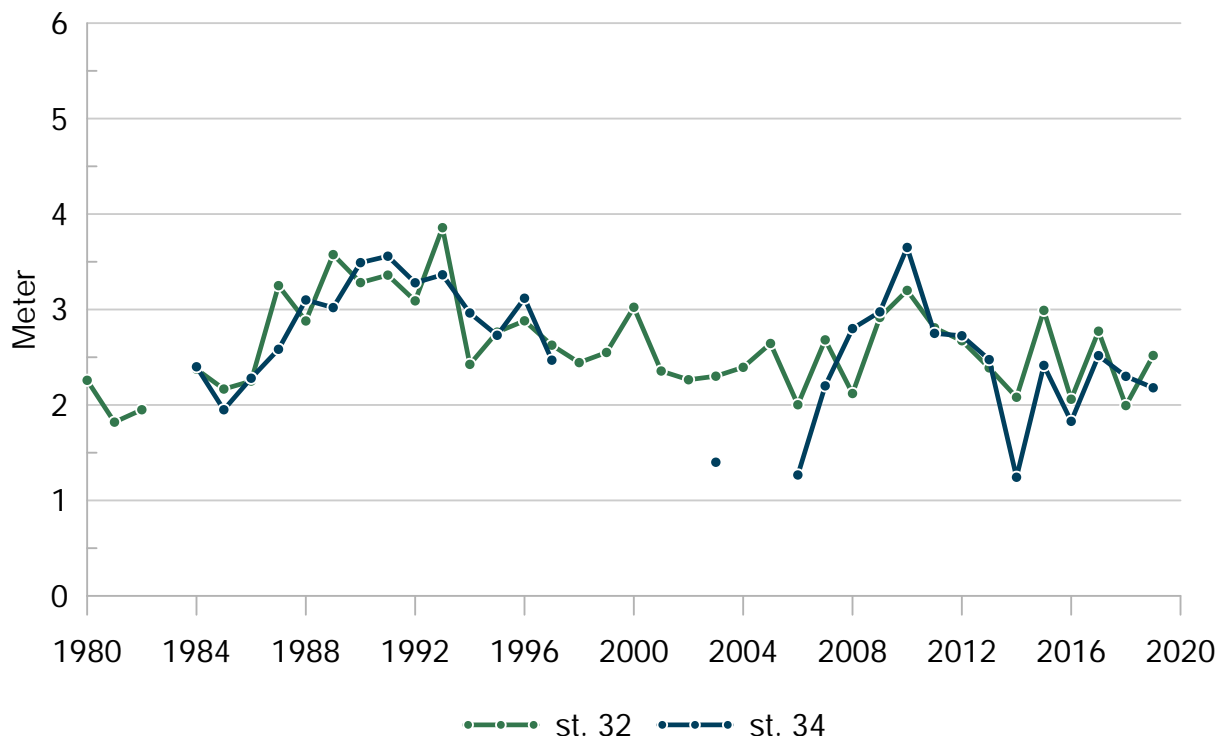


Figur 2.17 Sommerringennemsnit (maj-sep) af saltindholdet (promille) pr. år for top- og bundprøver (hhv. øverste og dybeste måling) ved målestation 93610032.

2. Sommer- og vinterudvikling

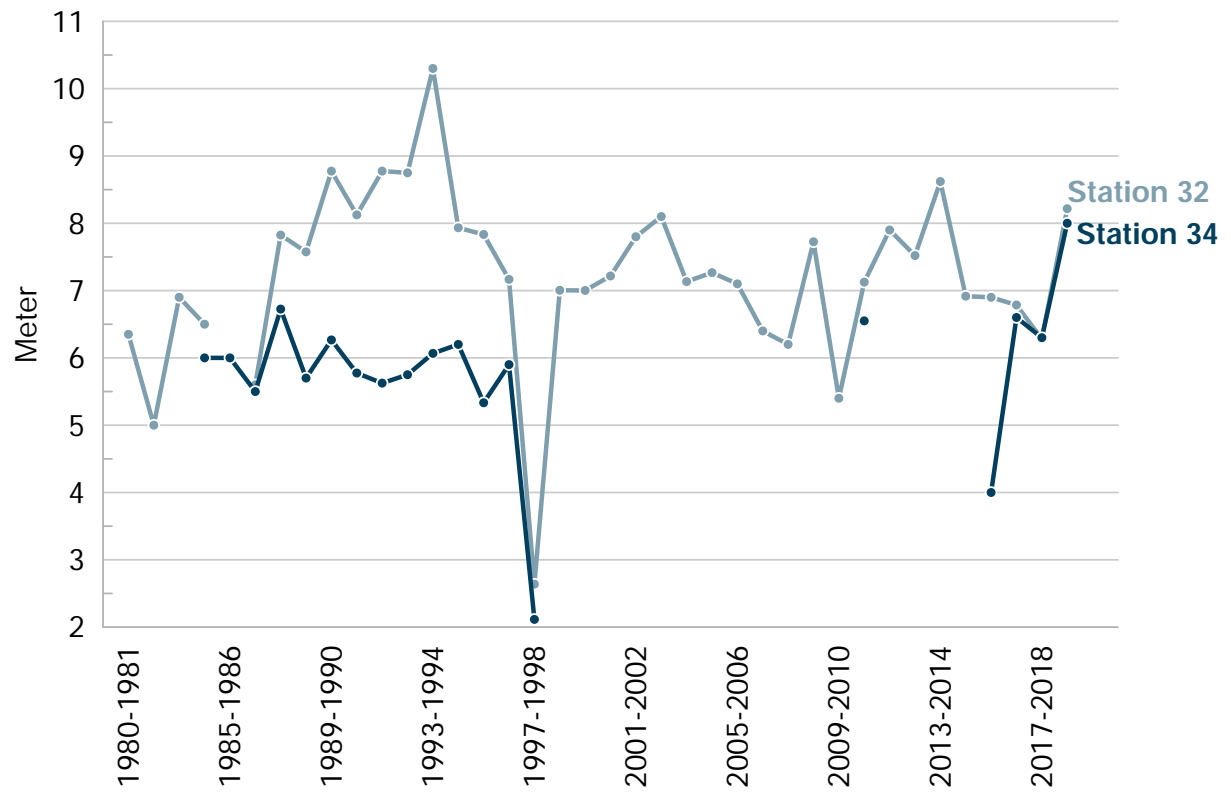


Figur 2.18 Sommergennemsnit (maj-sep) af saltindholdet (promille) pr. år for top- og bundprøver (hhv. øverste og dybeste måling) ved målestation 93610034.



Figur 2.19 Sommergennemsnit (maj-sep) af sigtdybden (meter) pr. år ved hhv. målestation 93610032 og 93610034.

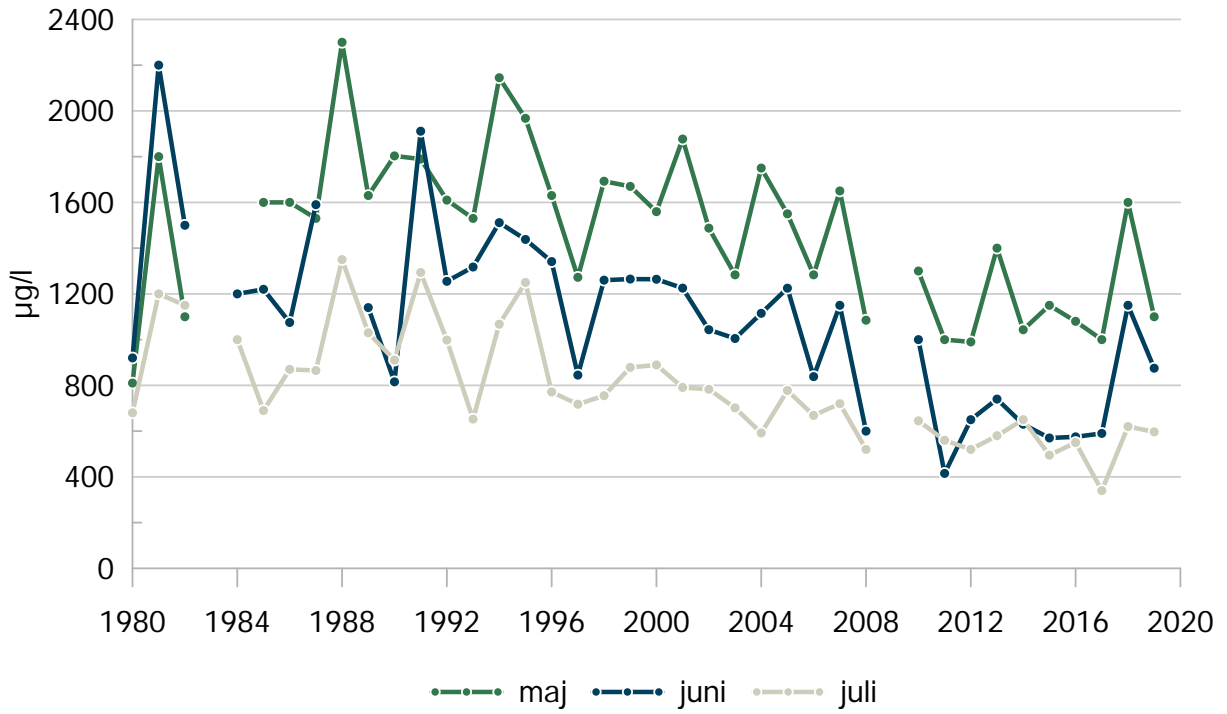
2. Sommer- og vinterudvikling



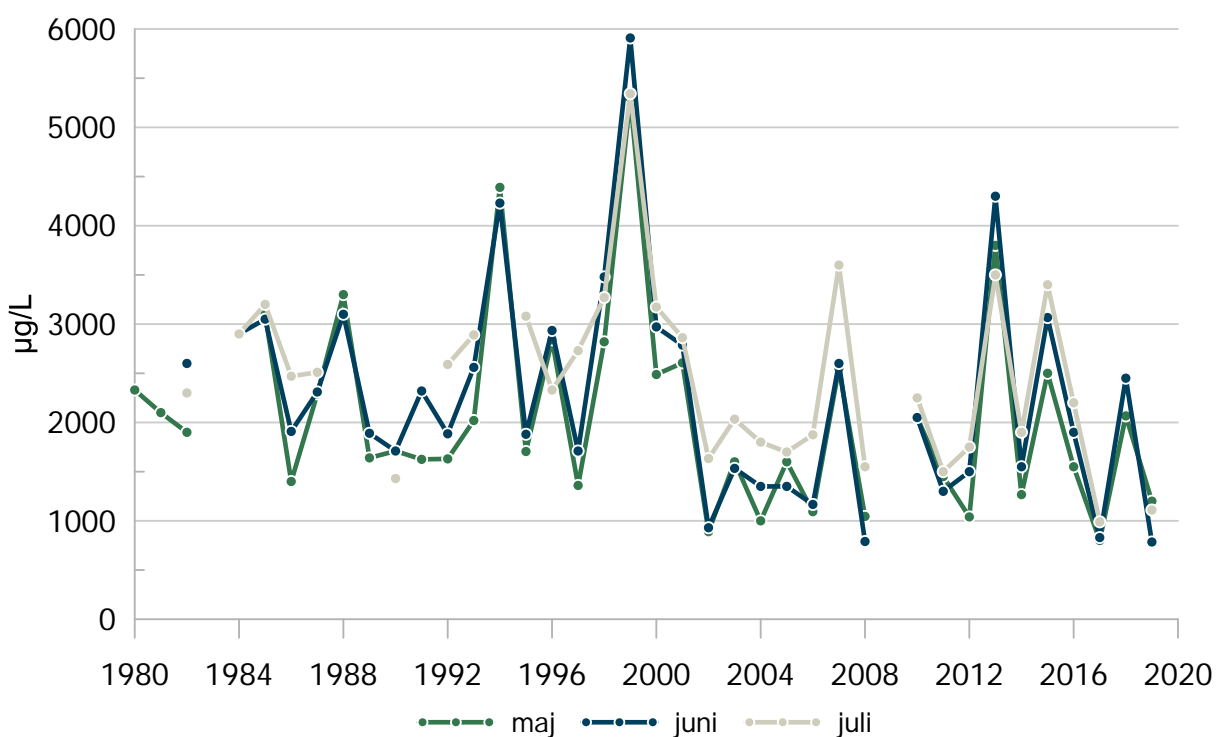
Figur 2.20 Vintergennemsnit af sigtdybden (meter) pr. hydrologisk år ved hhv. målestation 93610032 og 93610034.

Udvikling i sommermånederne

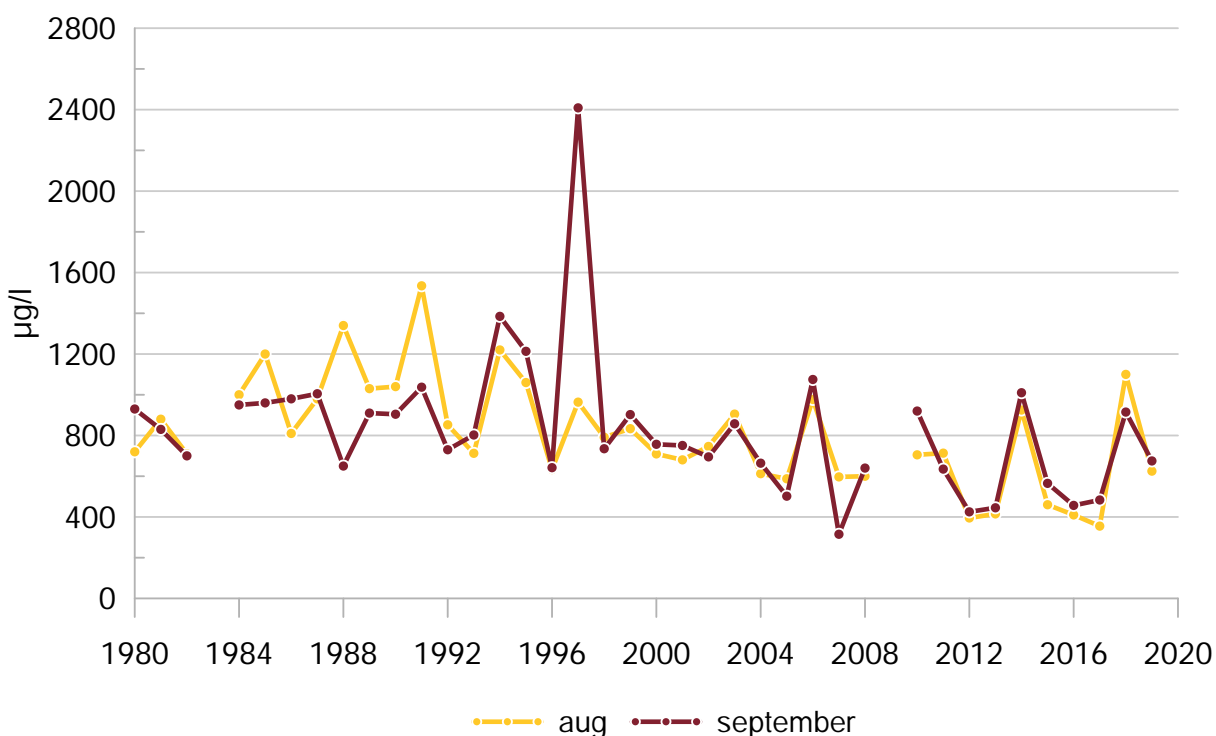
3



Figur 3.1 Månedsvækst pr. år for den totale kvælstofkoncentration ($\mu\text{g}/\text{L}$) i månederne maj, juni og juli, topoprøver (dybde ≤ 5 meter).

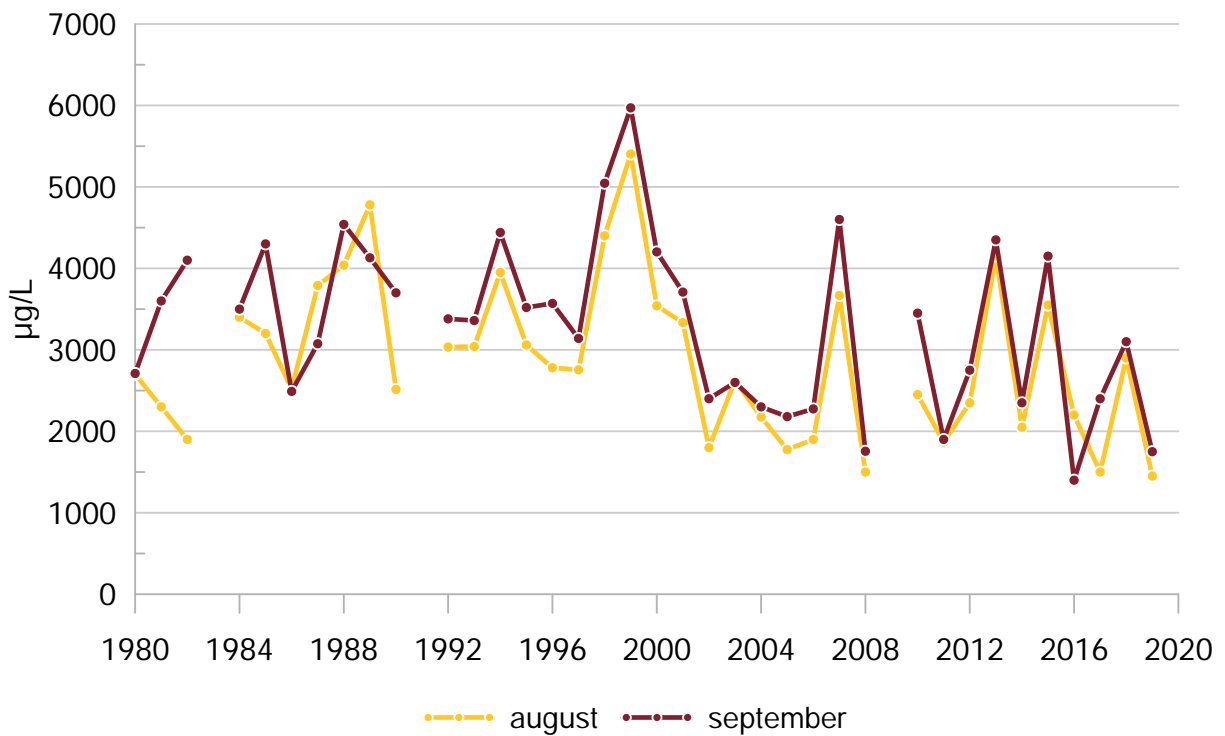


Figur 3.2 Månedsvækst pr. år for den totale kvælstofkoncentration ($\mu\text{g}/\text{L}$) i månederne maj, juni og juli, bundprøver (dybde ≥ 25 meter).

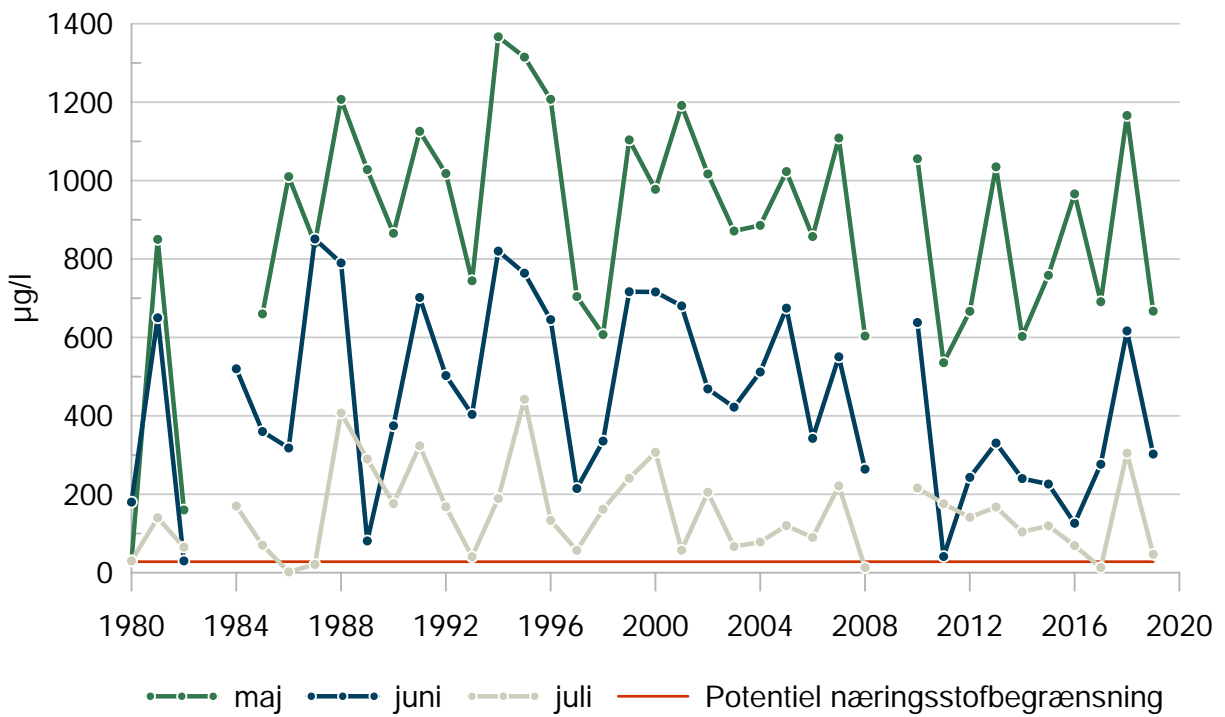


Figur 3.3 Månedsvækst pr. år for den totale kvælstofkoncentration ($\mu\text{g}/\text{L}$) i månederne august og september, topoprøver (dybde ≤ 5 meter).

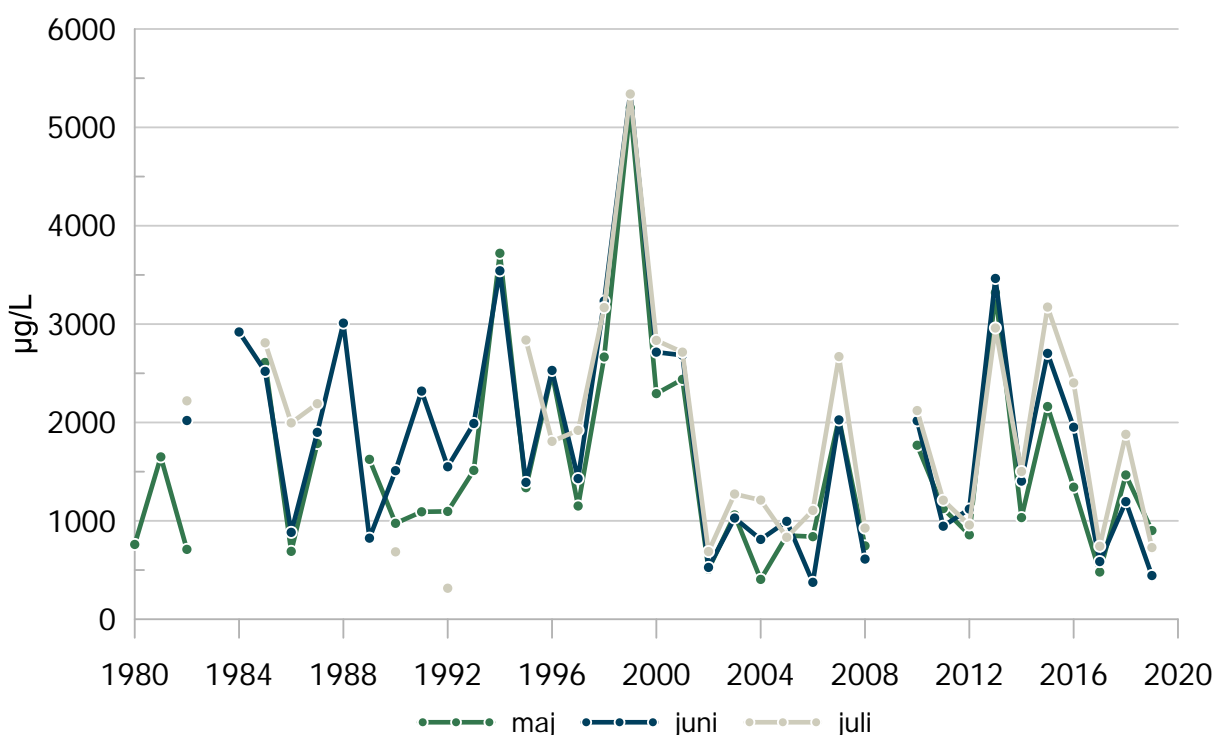
3. Udvikling i sommermånederne



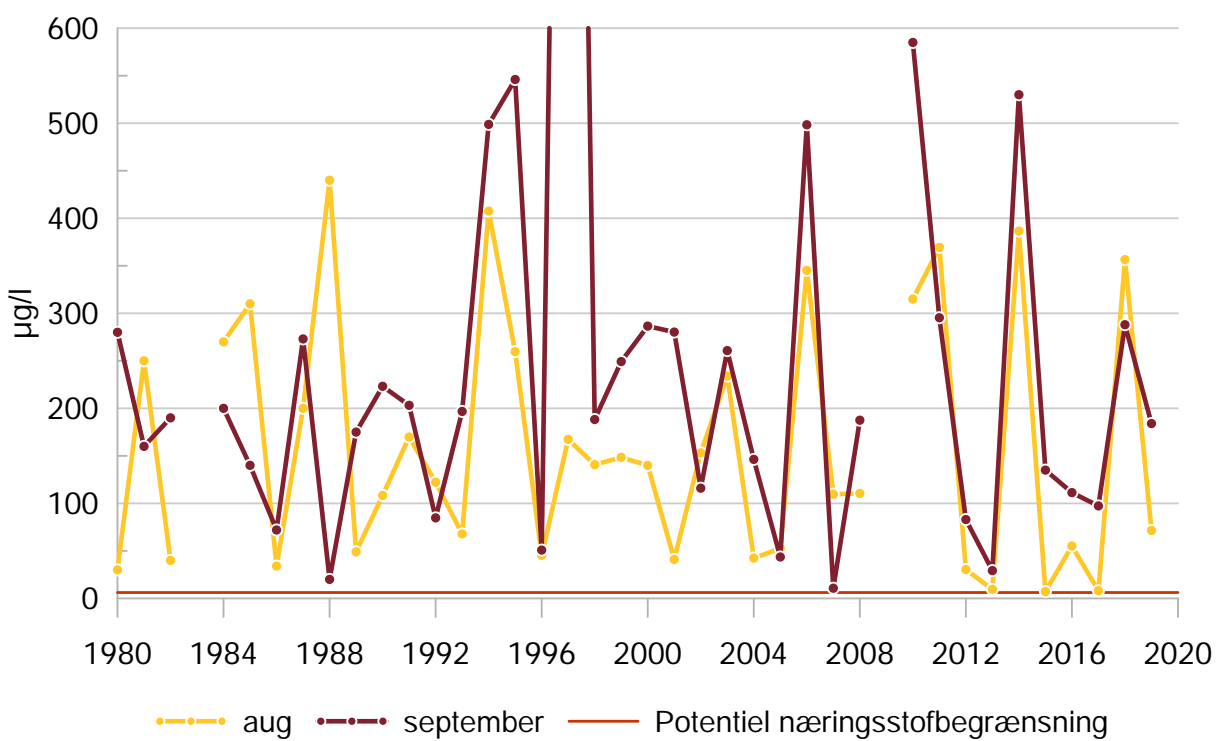
Figur 3.4 Månedsdudvikling pr. år for den totale kvælstofkoncentration ($\mu\text{g}/\text{L}$) i månederne august og september, bundprøver (dybde ≥ 25 meter).



Figur 3.5 Månedsdudvikling pr. år for DIN-koncentrationen ($\mu\text{g}/\text{L}$) i månederne maj, juni og juli, topoprøver (dybde ≤ 5 meter). Den potentielle næringsstofbegrænsning for DIN er $28 \mu\text{g}/\text{L}$.

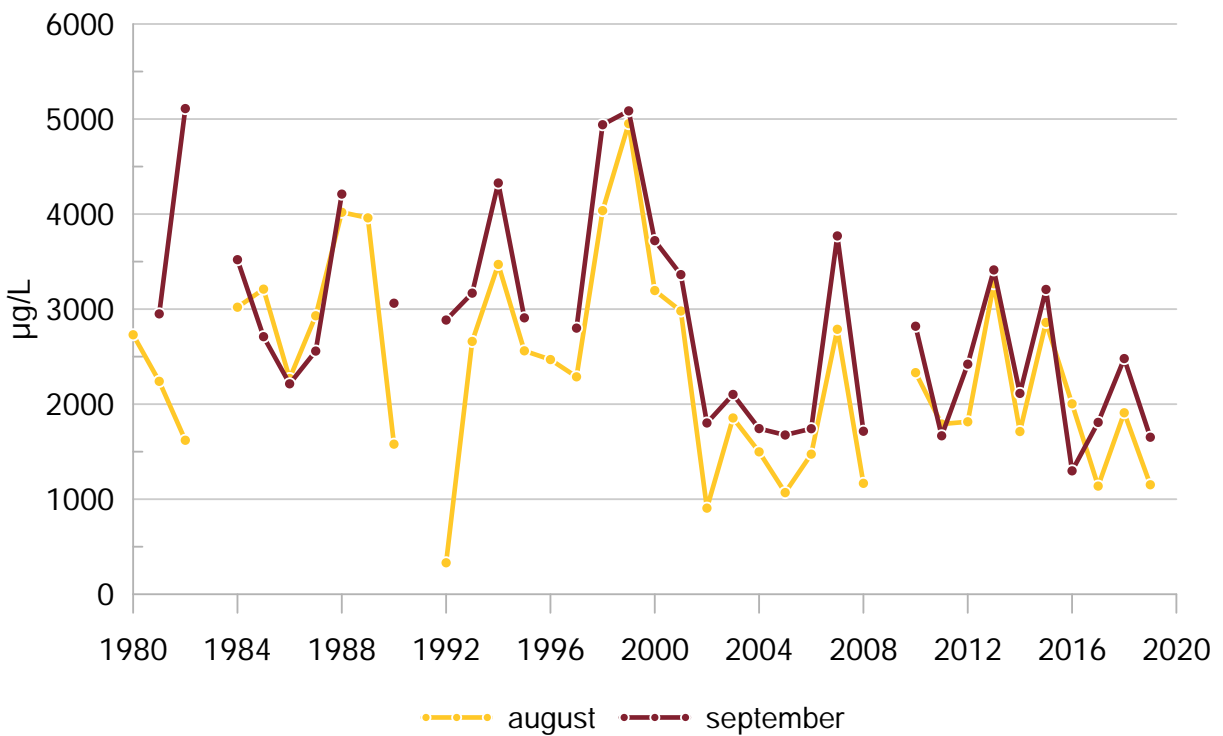


Figur 3.6 Månedsdudvikling pr. år for den DIN-koncentrationen ($\mu\text{g}/\text{L}$) i månederne august og september, bundprøver (dybde ≥ 25 meter).

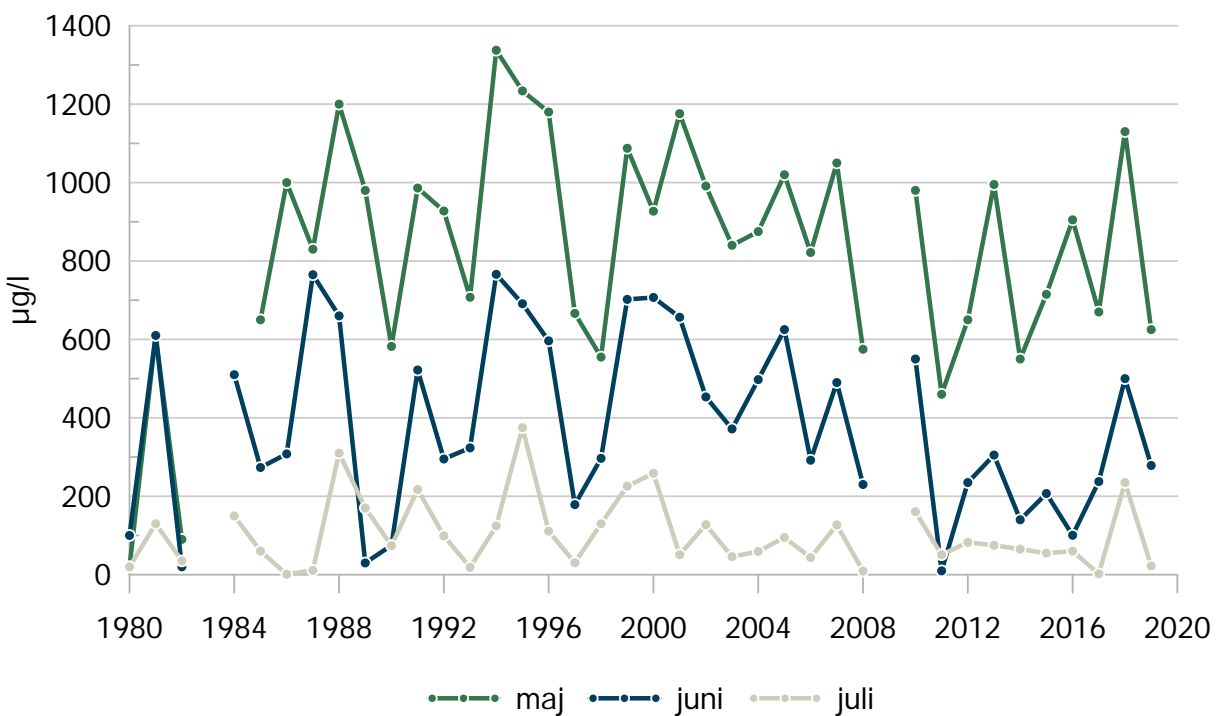


Figur 3.7 Månedsdudvikling pr. år for DIN-koncentrationen ($\mu\text{g}/\text{L}$) i månederne august og september, topoprøver (dybde ≤ 5 meter). Den potentielle næringsstofbegrænsning for DIN er 28 $\mu\text{g}/\text{L}$.

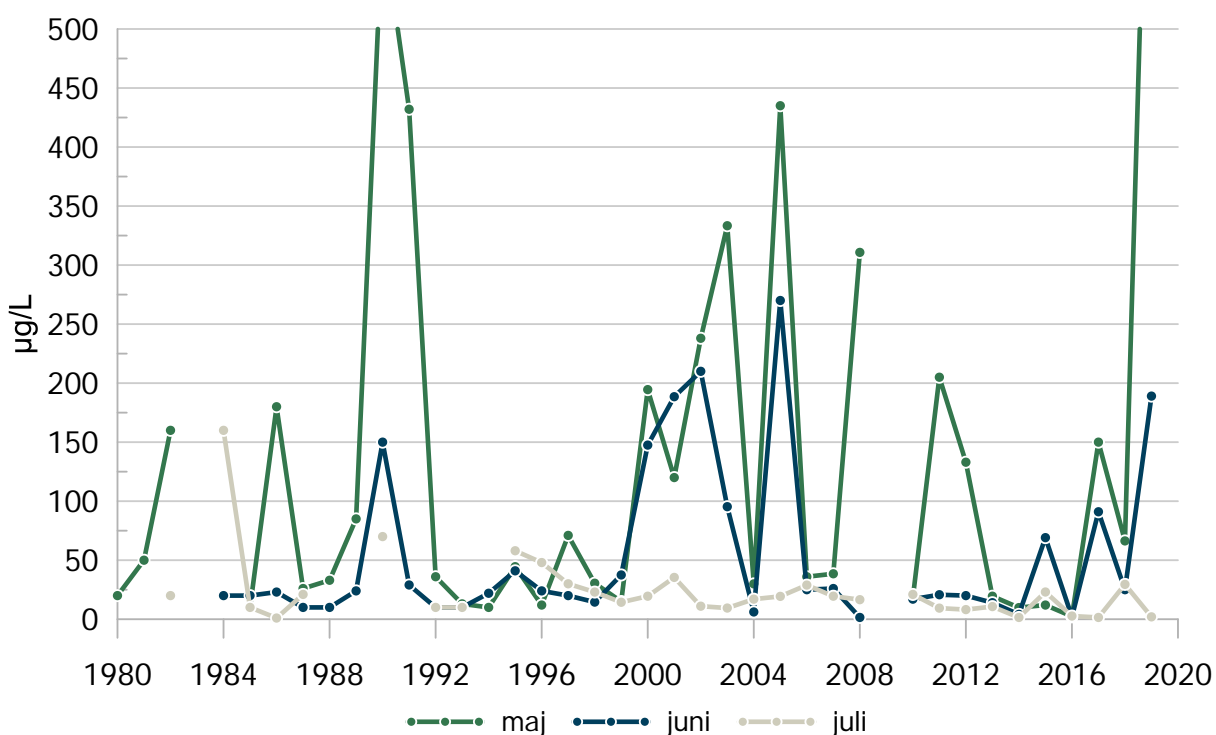
3. Udvikling i sommermånederne



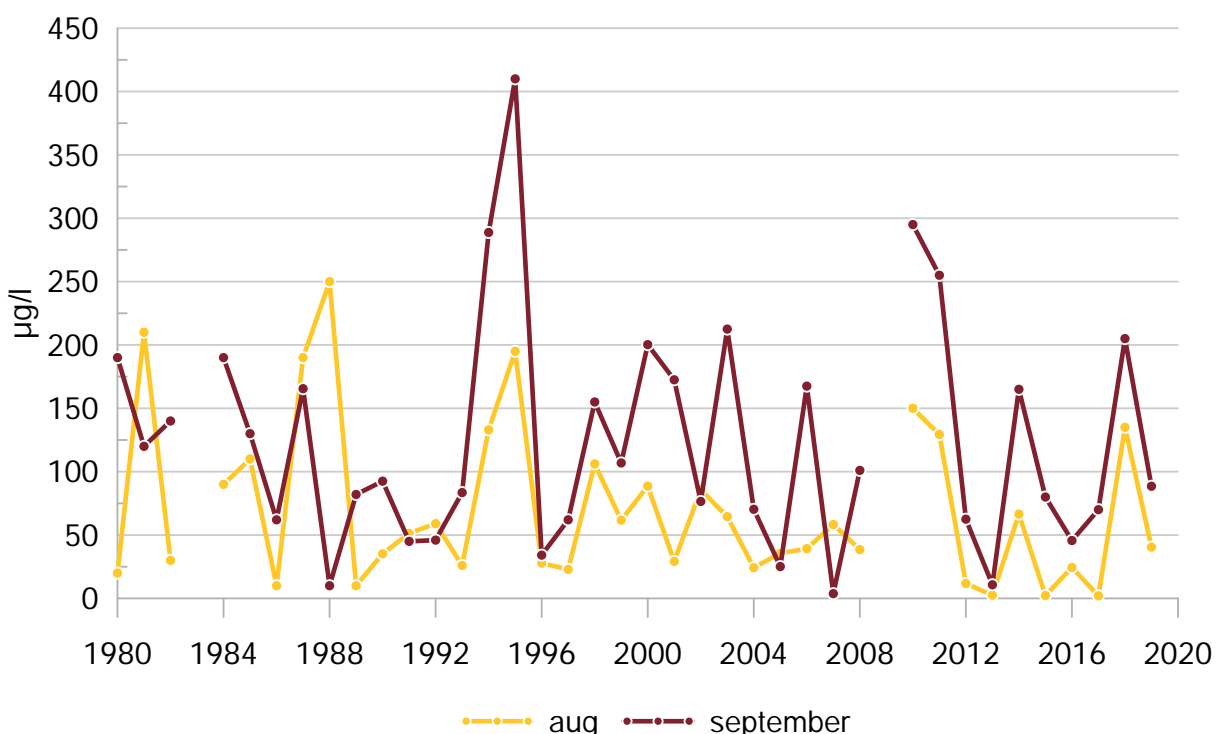
Figur 3.8 Månedsdudvikling pr. år for DIN-koncentrationen ($\mu\text{g}/\text{L}$) i månederne august og september, bundprøver (dybde ≥ 25 meter).



Figur 3.9 Månedsdudvikling pr. år for nitrit+nitrat-N-koncentrationen ($\mu\text{g}/\text{L}$) i månederne maj, juni og juli, topprøver (dybde ≤ 5 meter).

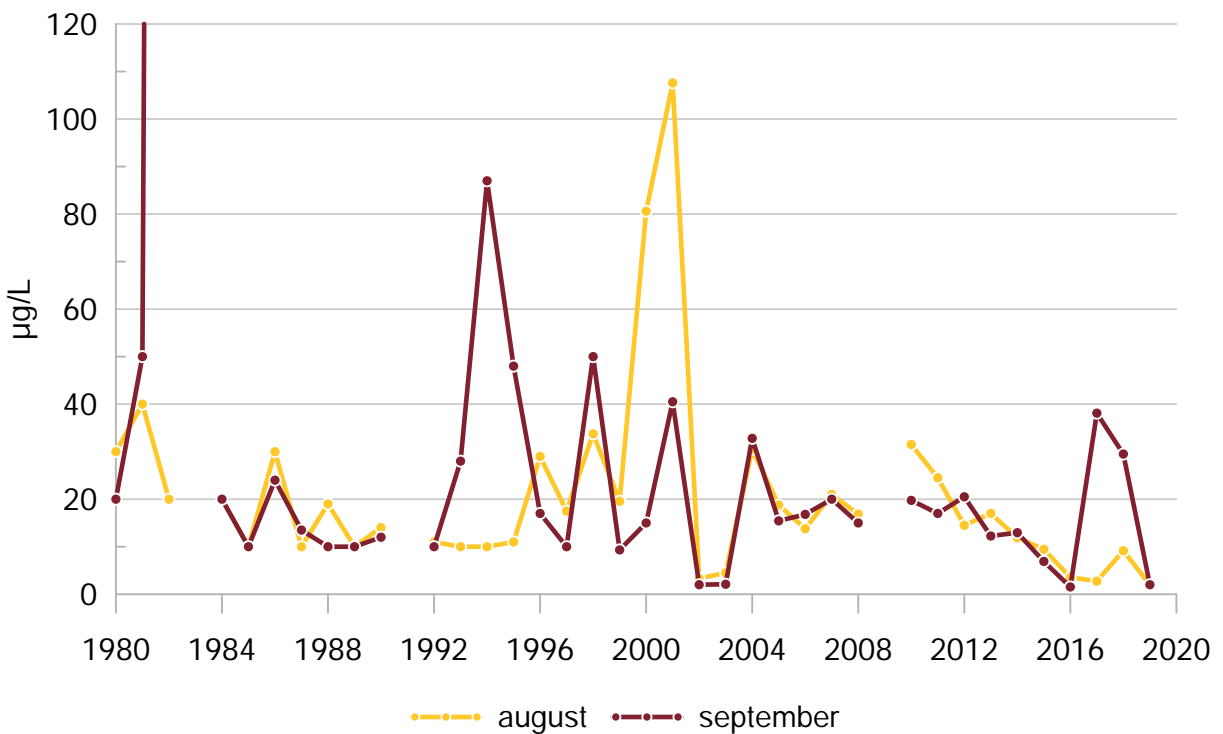


Figur 3.10 Månedsvækst pr. år for nitrit+nitrat-N-koncentrationen ($\mu\text{g}/\text{L}$) i månederne maj, juni og juli, bundprøver (dybde ≥ 25 meter).

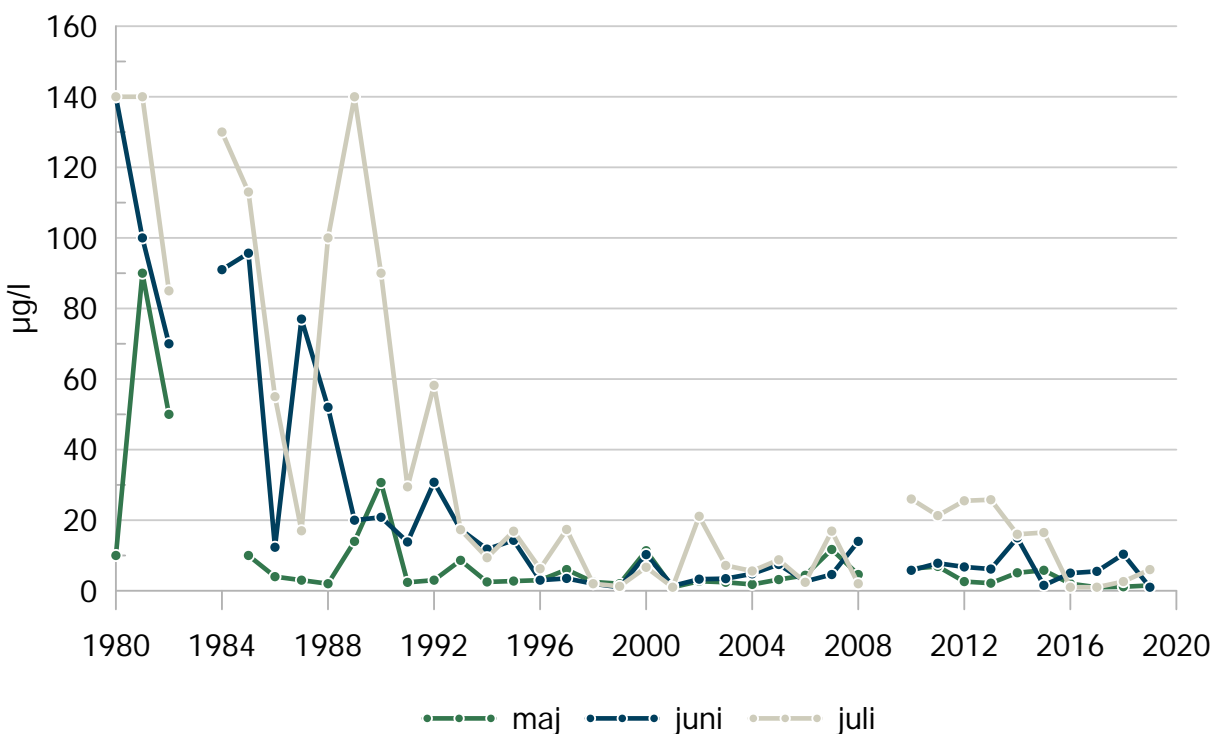


Figur 3.11 Månedsvækst pr. år for nitrit+nitrat-N-koncentrationen ($\mu\text{g}/\text{L}$) i månederne august og september, topprøver (dybde ≤ 5 meter).

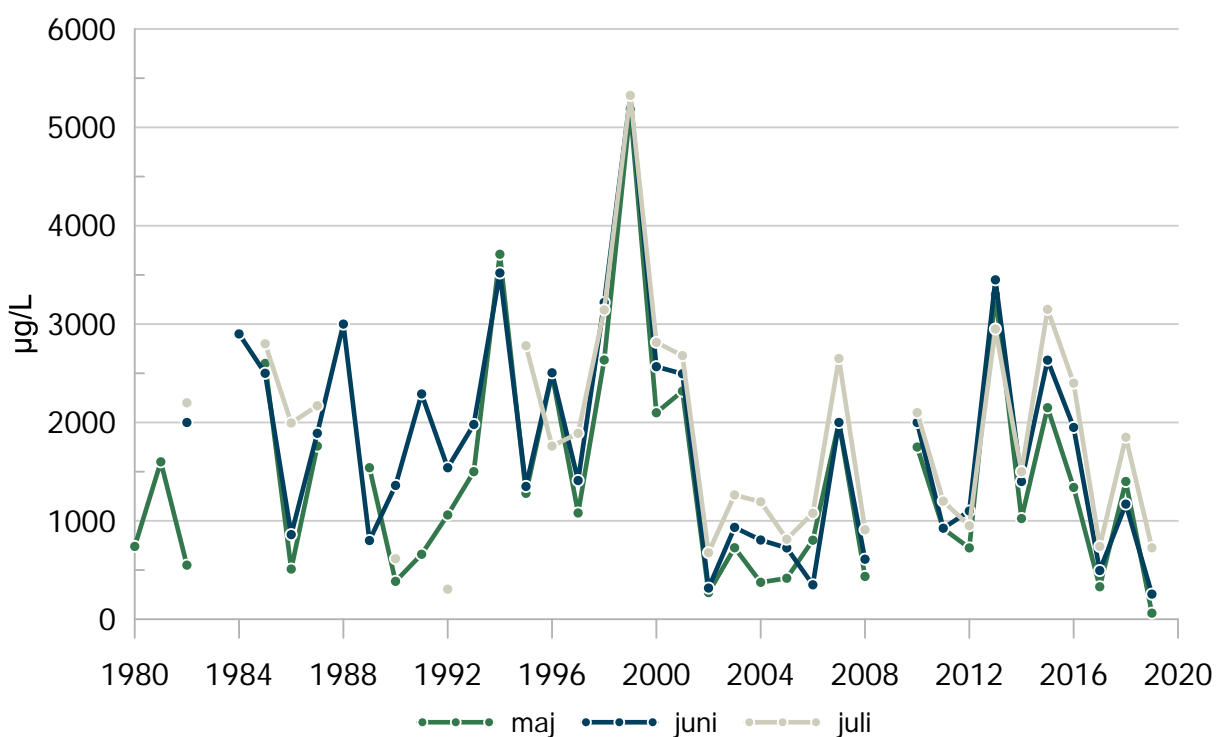
3. Udvikling i sommermånederne



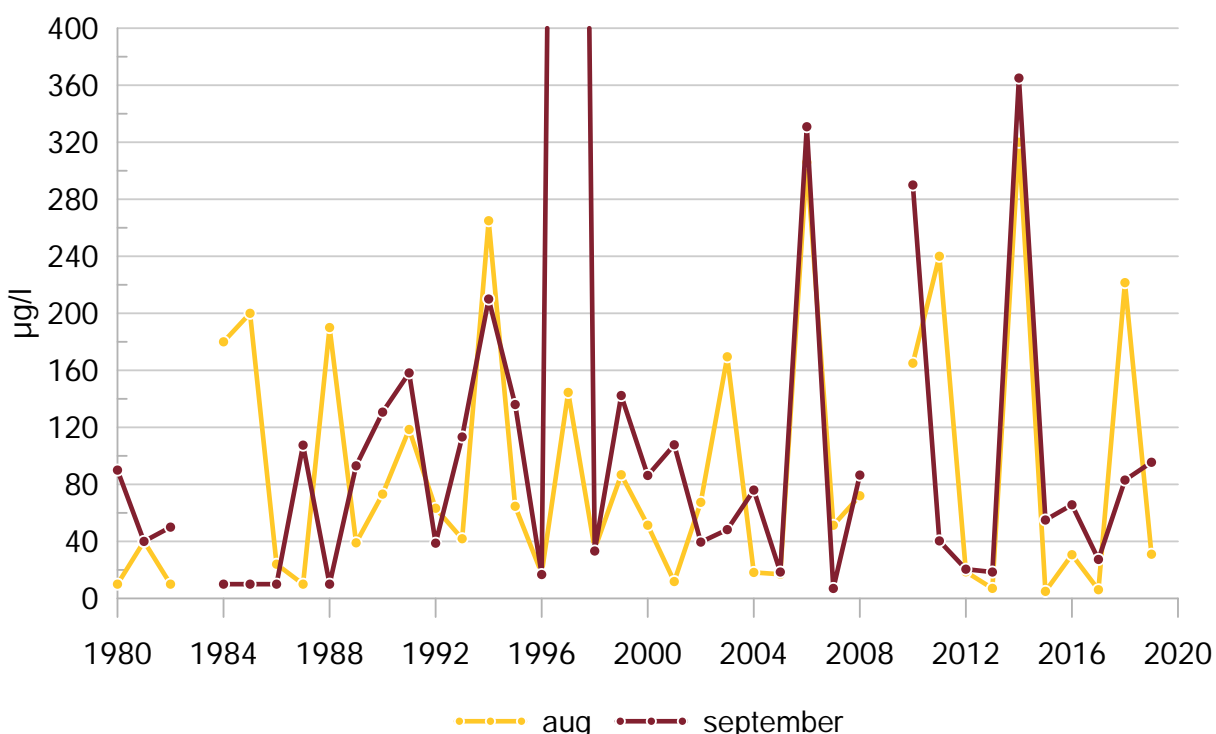
Figur 3.12 Månedsvudvikling pr. år for nitrit+nitrat-N-koncentrationen ($\mu\text{g}/\text{L}$) i månederne august og september, bundprøver (dybde ≥ 25 meter).



Figur 3.13 Månedsvudvikling pr. år for ammoniak+ammonium-N-koncentrationen ($\mu\text{g}/\text{L}$) i månederne maj, juni og juli, topoprøver (dybde ≤ 5 meter).

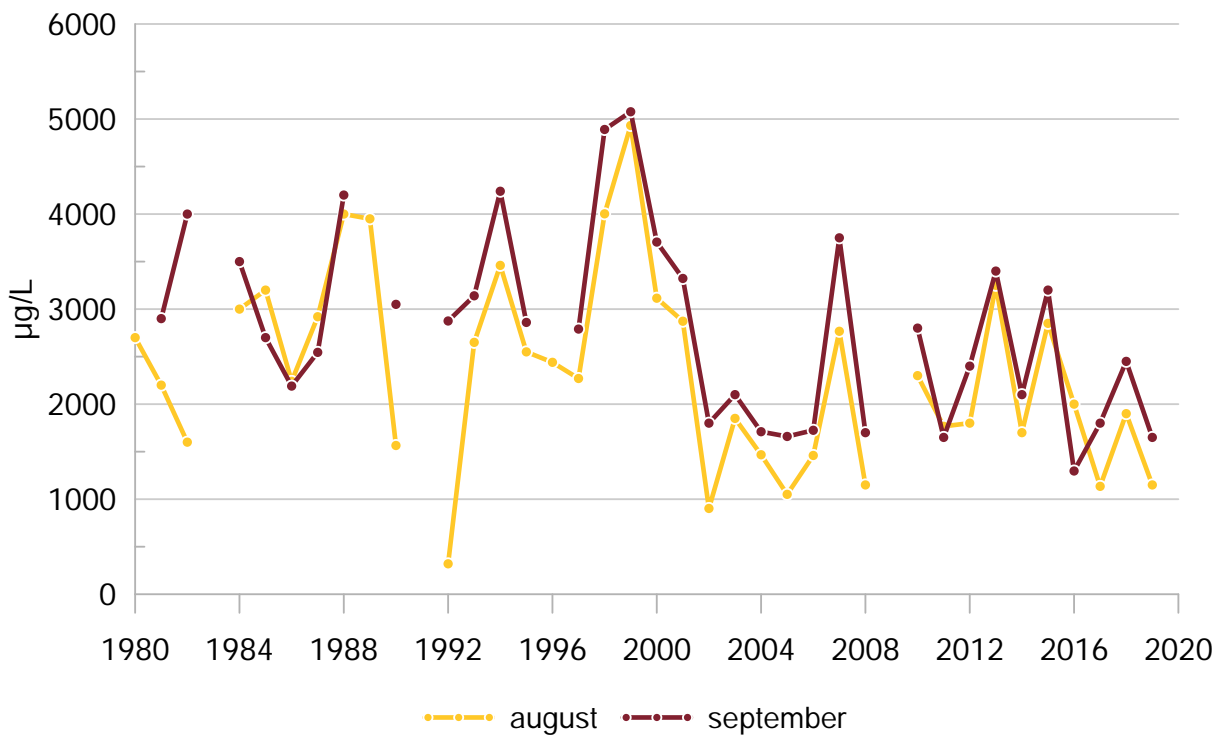


Figur 3.14 Månedsvækst pr. år for ammoniak+ammonium-N-koncentrationen ($\mu\text{g}/\text{L}$) i månederne maj, juni og juli, bundprøver (dybde ≥ 25 meter).

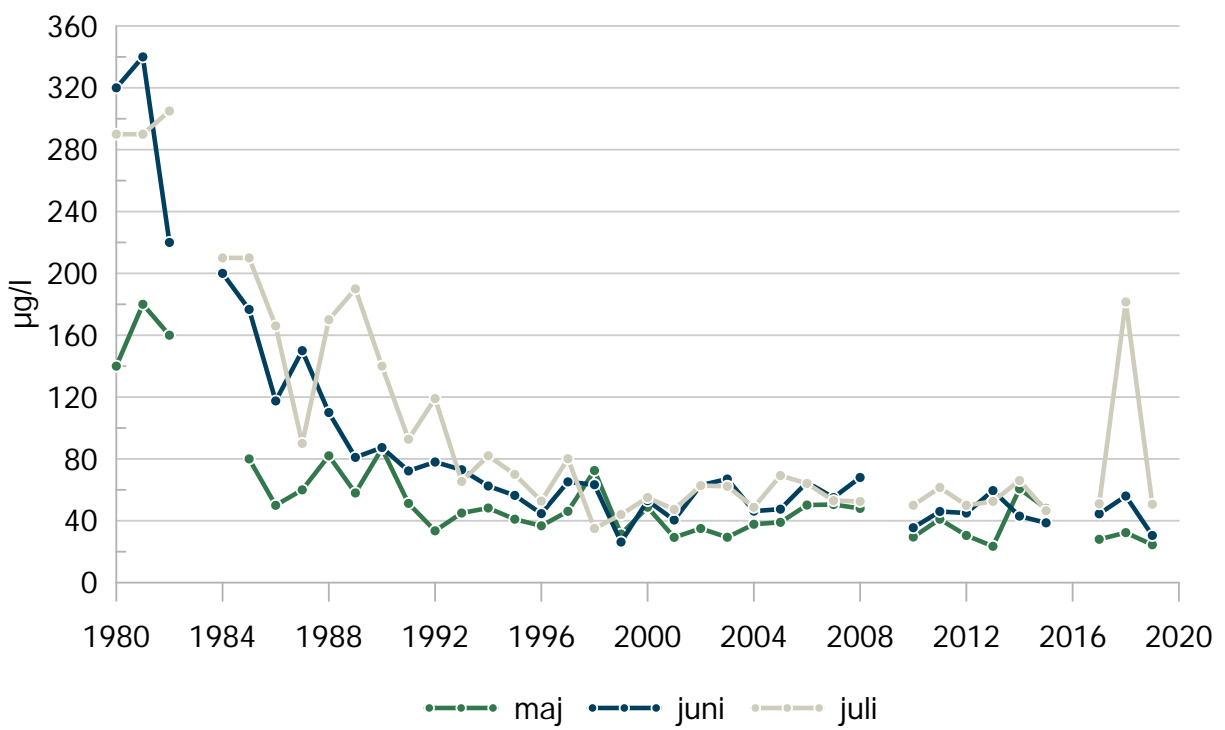


Figur 3.15 Månedsvækst pr. år for ammoniak+ammonium-N-koncentrationen ($\mu\text{g}/\text{L}$) i månederne august og september, topprøver (dybde ≤ 5 meter).

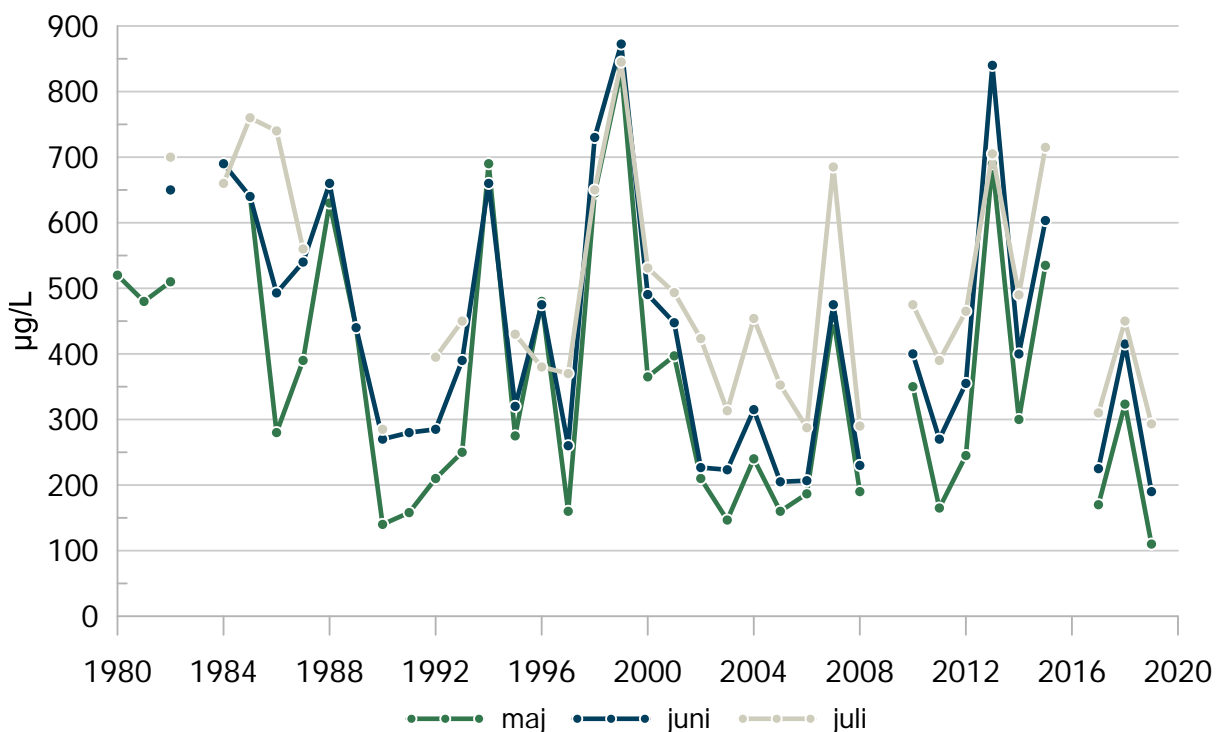
3. Udvikling i sommermånederne



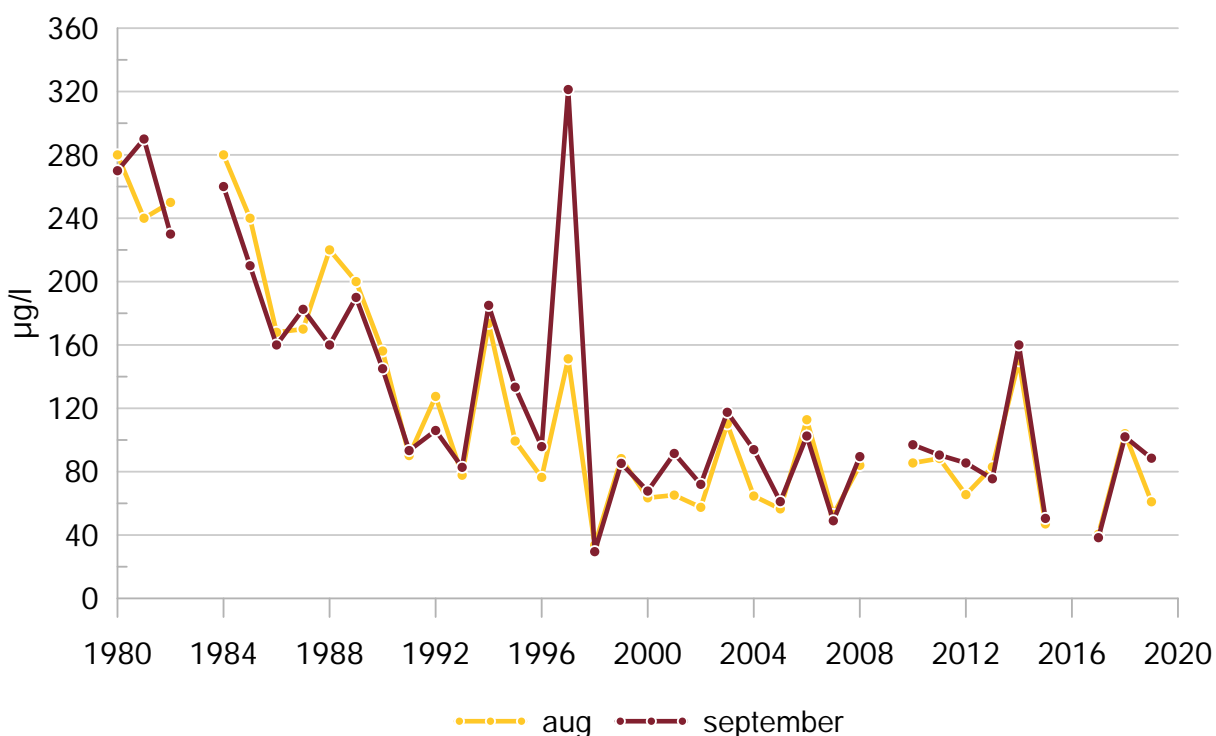
Figur 3.16 Månedsudvikling pr. år for ammoniak+ammonium-N-koncentrationen ($\mu\text{g}/\text{L}$) i månederne august og september, bundprøver (dybde ≥ 25 meter).



Figur 3.17 Månedsudvikling pr. år for den totale fosforkoncentration ($\mu\text{g}/\text{L}$) i månederne maj, juni og juli, topoprøver (dybde ≤ 5 meter).

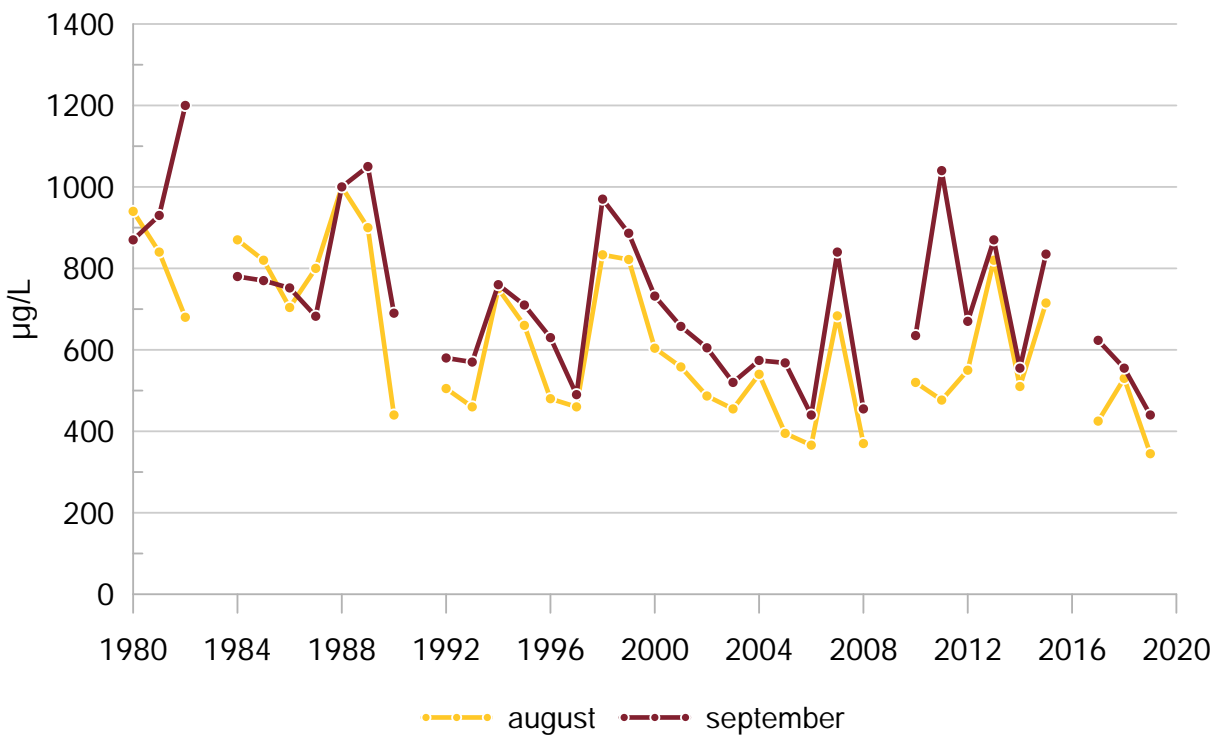


Figur 3.18 Månedsdudvikling pr. år for den totale fosforkoncentration ($\mu\text{g}/\text{L}$) i månederne maj, juni og juli, bundprøver (dybde ≥ 25 meter).

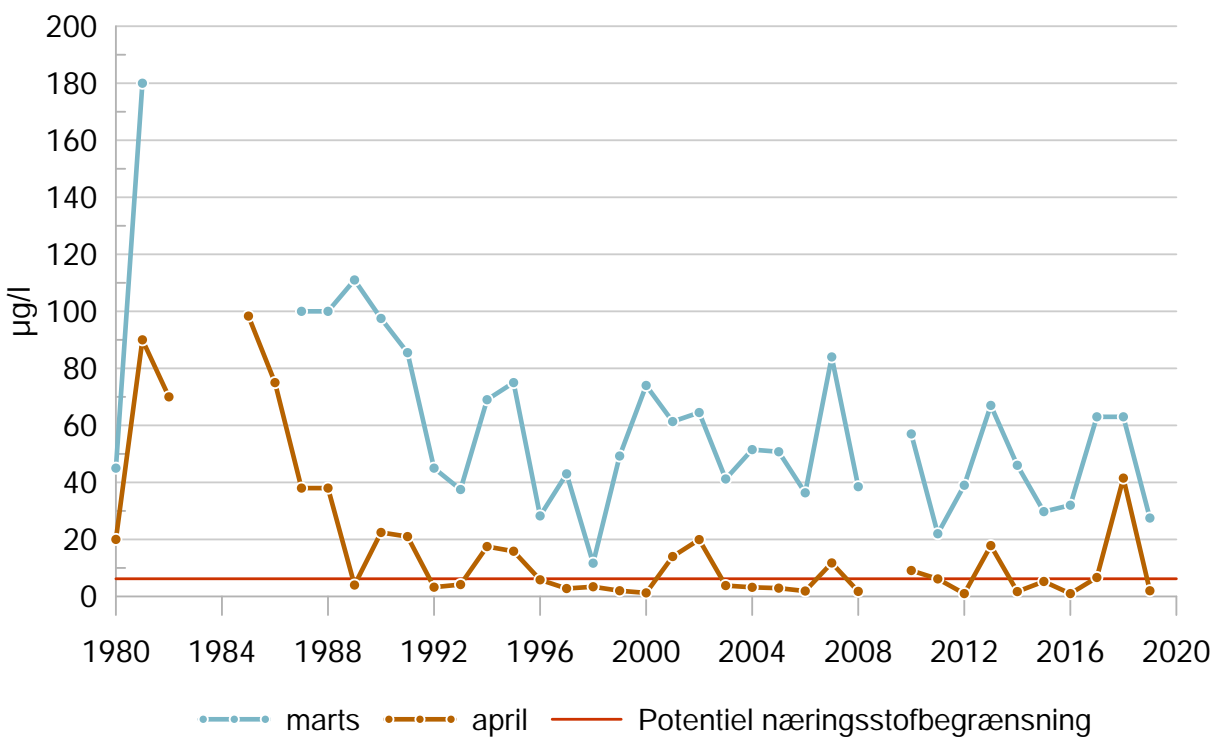


Figur 3.19 Månedsdudvikling pr. år for den totale fosforkoncentration ($\mu\text{g}/\text{L}$) i månederne august og september, topprøver (dybde ≤ 5 meter).

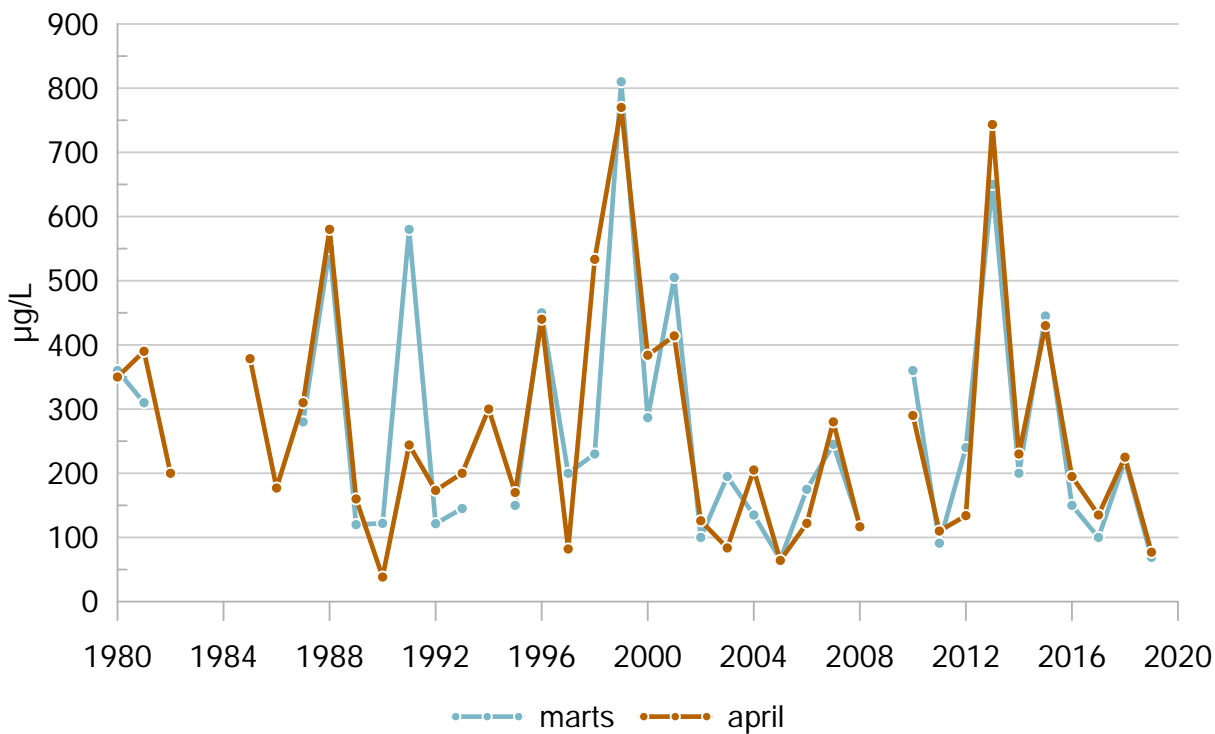
3. Udvikling i sommermånederne



Figur 3.20 Månedsvudvikling pr. år for den totale fosforkoncentration ($\mu\text{g}/\text{L}$) i månederne august og september, bundprøver (dybde ≥ 25 meter).

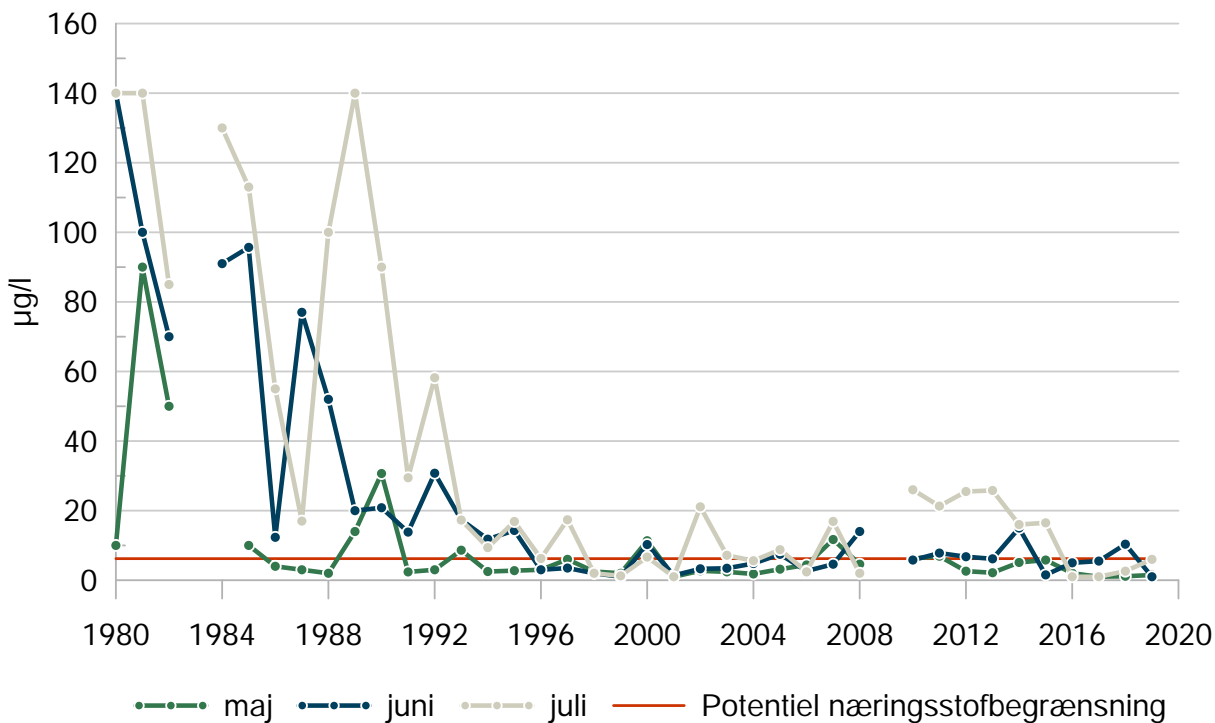


Figur 3.21 Månedsvudvikling pr. år for orthofosfat-P-koncentrationen ($\mu\text{g}/\text{L}$) i månederne marts og april, topoprøver (dybde ≤ 5 meter). Den potentielle næringsstofbegrænsning for orthofosfat-P er $6,2 \mu\text{g}/\text{L}$.



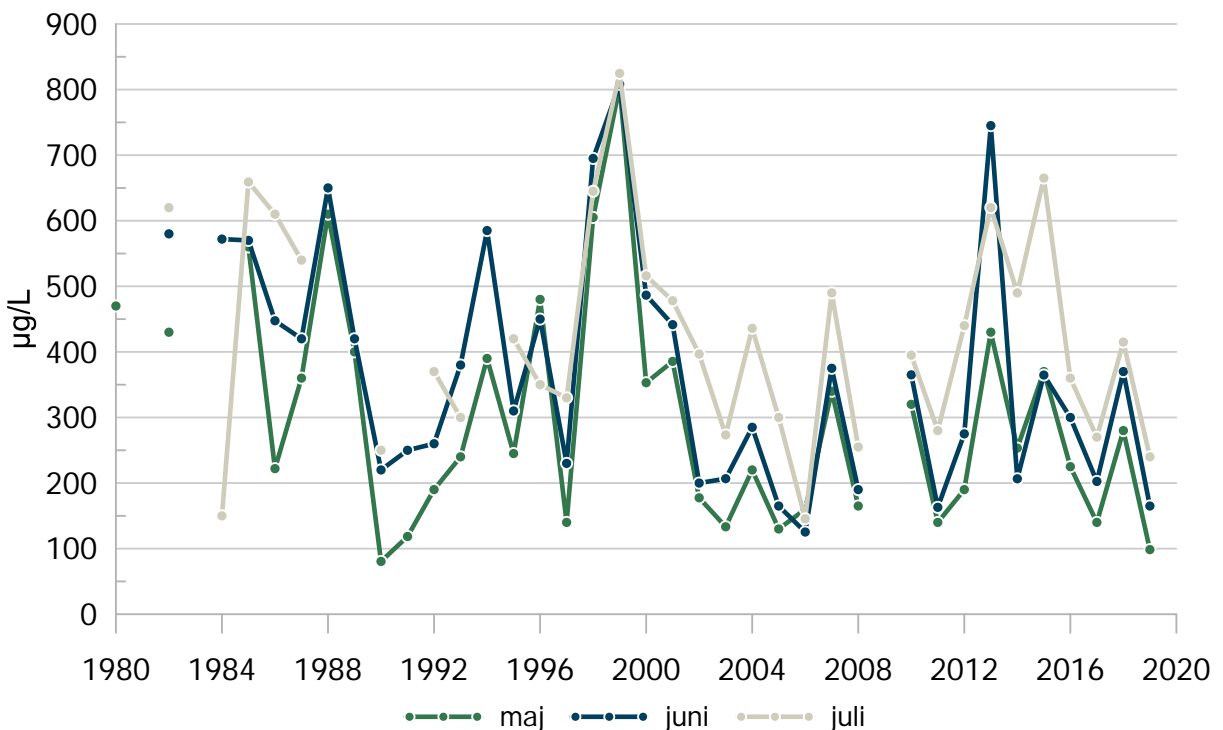
Figur 3.22 Månedsdvikling pr. år for orthofosfat-P-koncentrationen ($\mu\text{g}/\text{L}$) i månederne marts og april, bundprøver (dybde ≥ 25 meter).

5

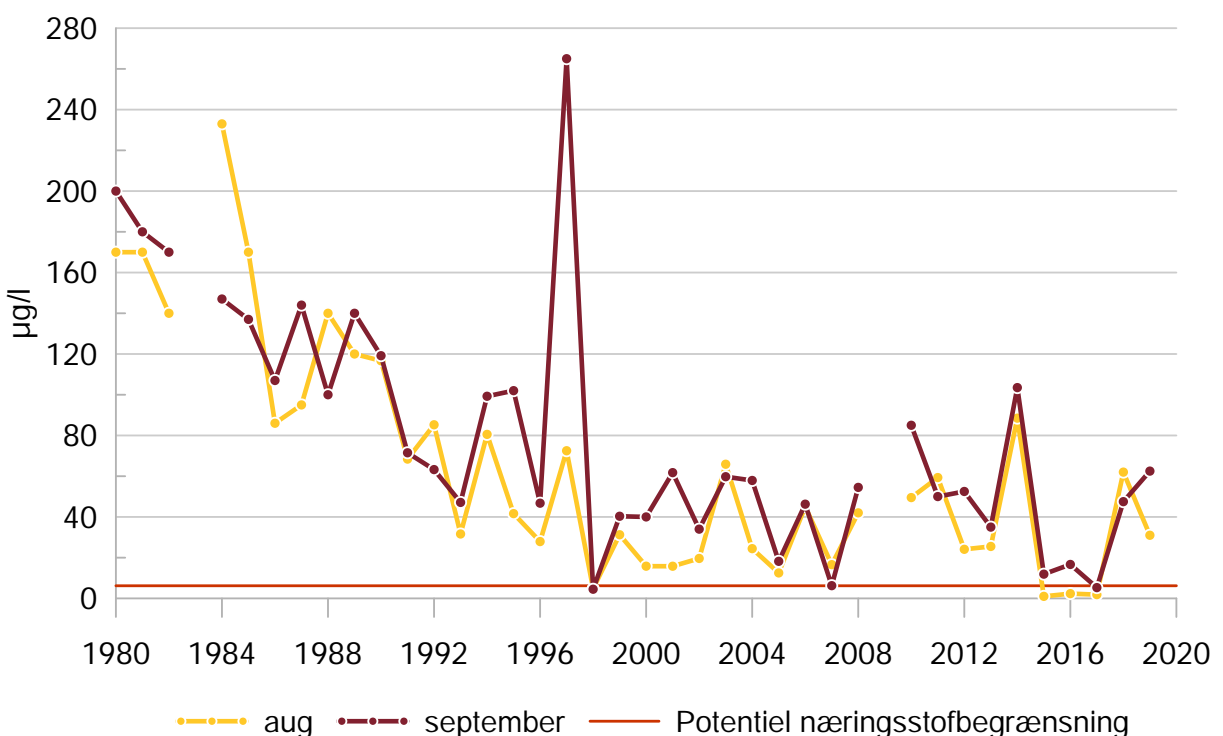


Figur 3.23 Månedsdvikling pr. år for orthofosfat-P-koncentrationen ($\mu\text{g}/\text{L}$) i månederne maj, juni og juli, topoprøver (dybde ≤ 5 meter). Den potentielle næringsstofbegrænsning for orthofosfat-P er 6,2 $\mu\text{g}/\text{L}$.

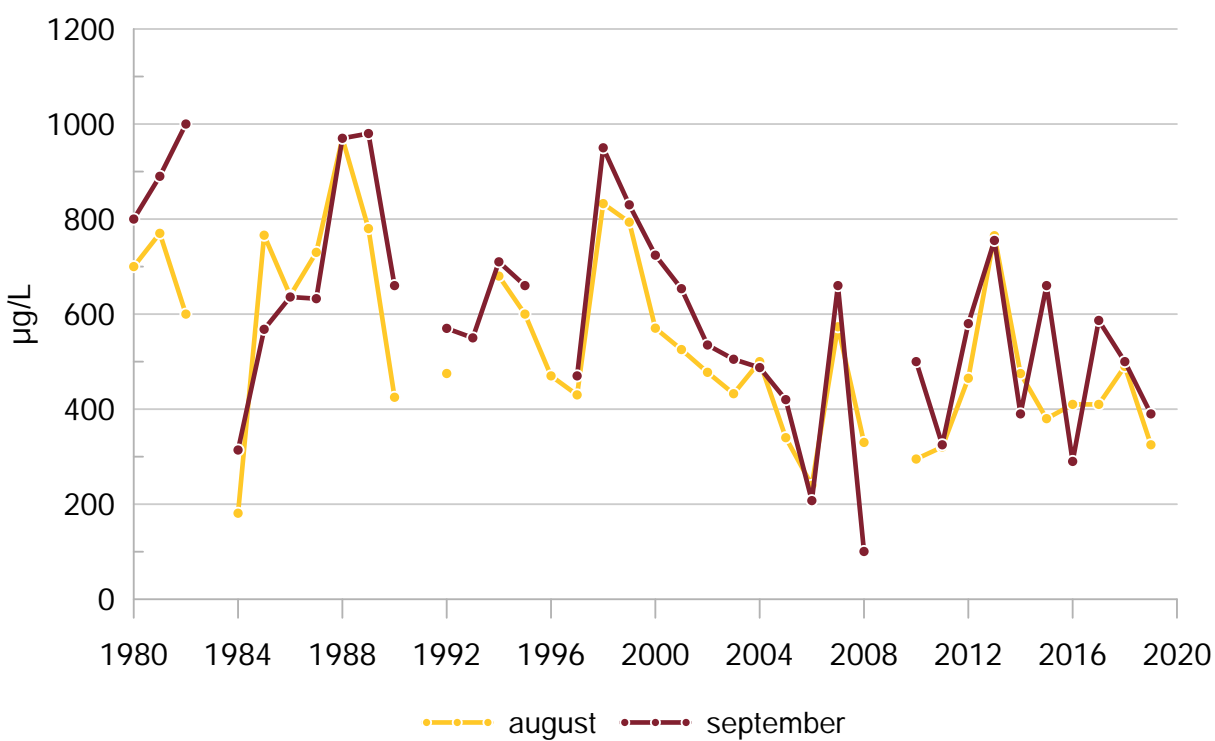
3. Udvikling i sommermånederne



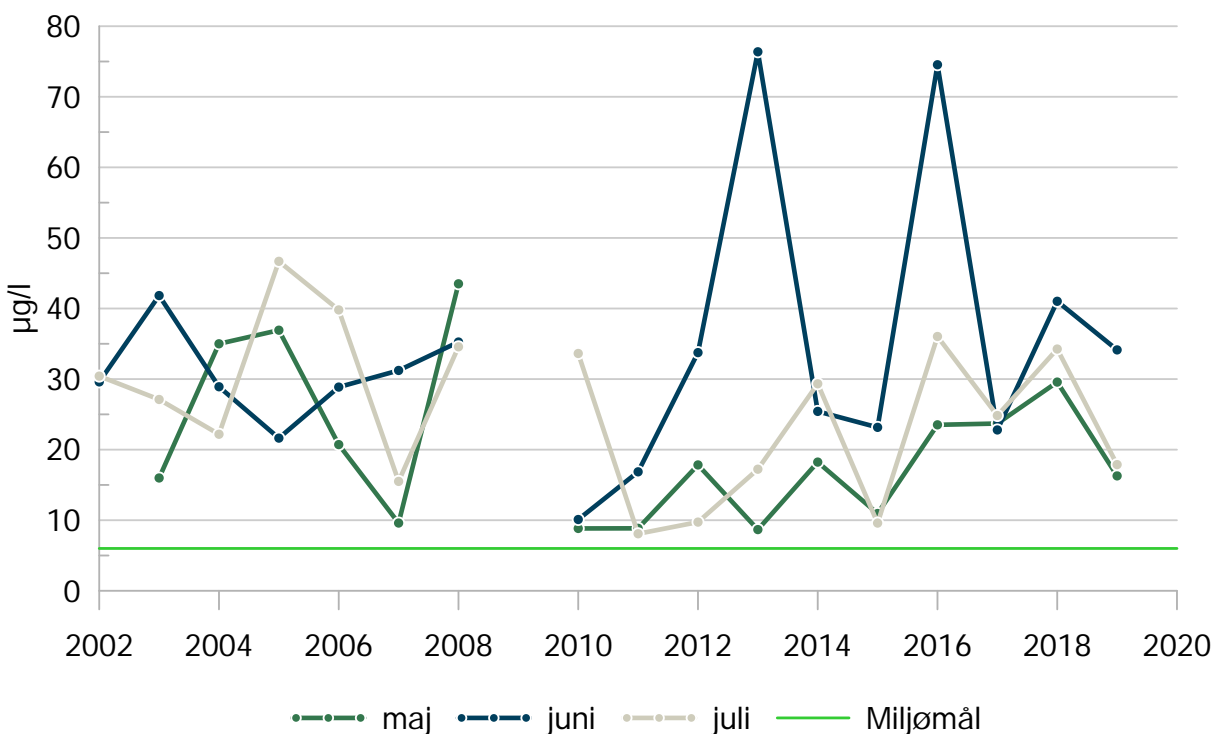
Figur 3.24 Månedsudvikling pr. år for orthofosfat-P-koncentrationen ($\mu\text{g}/\text{L}$) i månederne maj, juni og juli, bundprøver (dybde ≥ 25 meter).



Figur 3.25 Månedsudvikling pr. år for orthofosfat-P-koncentrationen ($\mu\text{g}/\text{L}$) i månederne august og september, topprøver (dybde ≤ 5 meter). Den potentielle næringsstofbegrænsning for orthofosfat-P er $6,2 \mu\text{g}/\text{L}$.

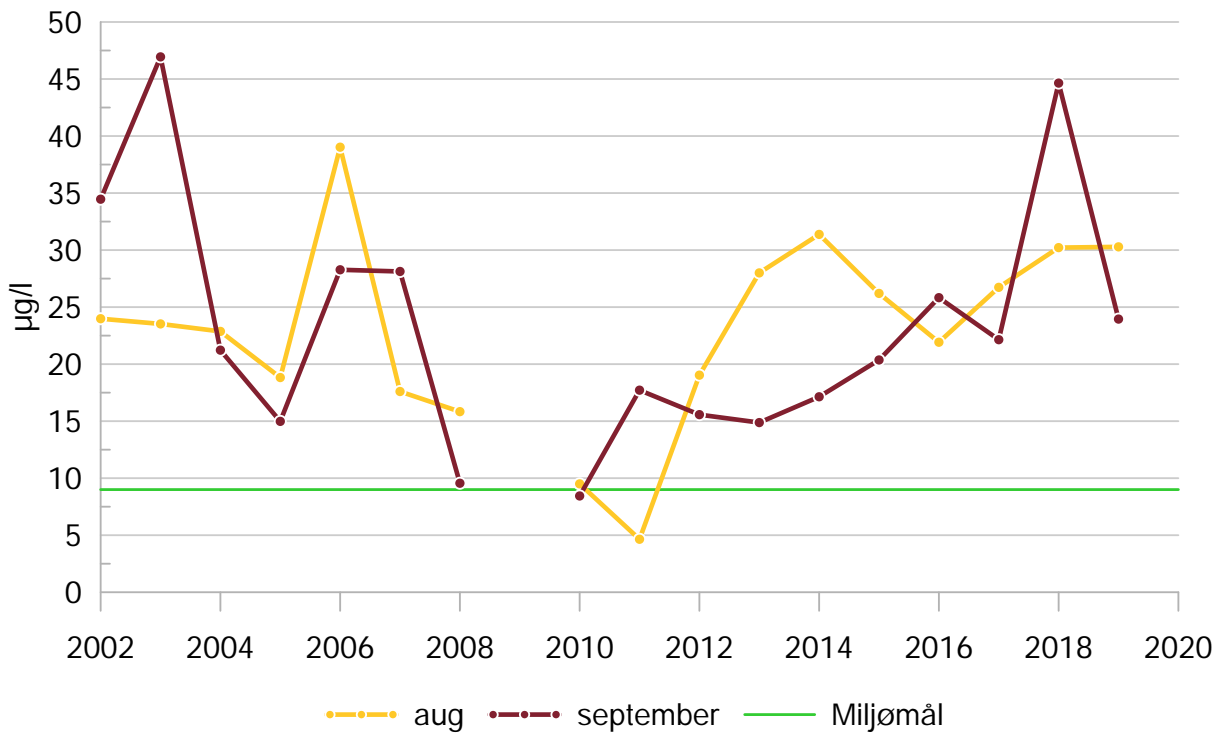


Figur 3.26 Månedsvækst pr. år for orthofosfat-P-koncentrationen ($\mu\text{g}/\text{L}$) i månederne august og september, bundprøver (dybde ≥ 25 meter).



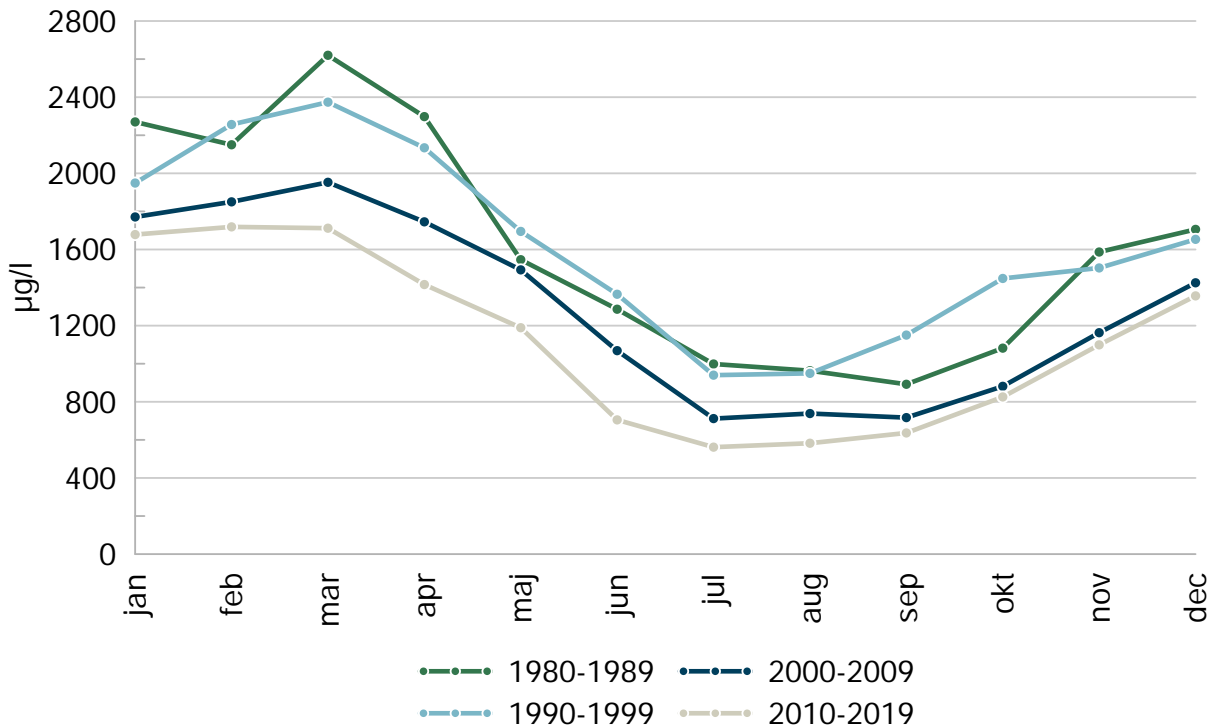
Figur 3.27 Månedsvækst pr. år for klorofylkoncentrationen ($\mu\text{g}/\text{L}$) i månederne maj, juni og juli, topoprøver (dybde ≤ 5 meter). Miljømålet for god/moderat økologisk tilstand er $6,0 \mu\text{g}/\text{L}$ for Mariager Inderfjord.

3. Udvikling i sommermånederne



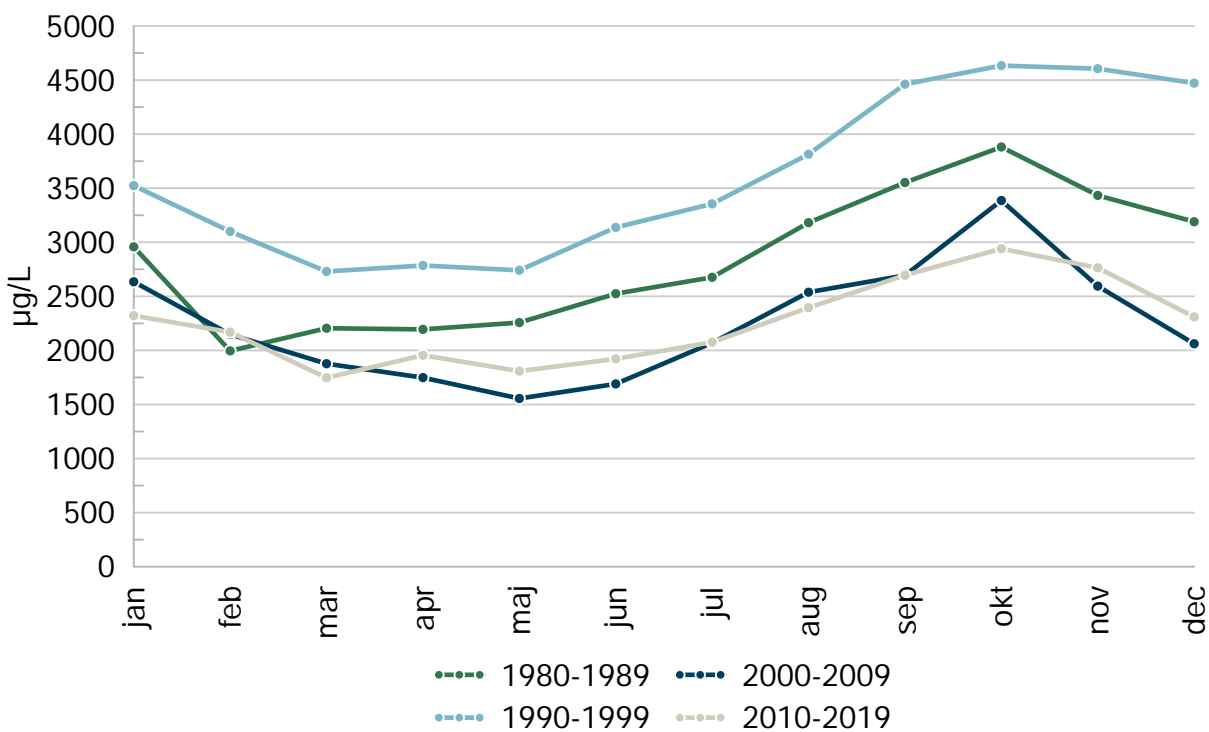
Figur 3.28 Månedsudvikling pr. år for klorofylkoncentrationen ($\mu\text{g}/\text{L}$) i månederne august og september, topprøver (dybde ≤ 5 meter). Miljømålet for god/moderat økologisk tilstand er $6,0 \mu\text{g}/\text{L}$ for Mariager Inderfjord.

Funktion af måned

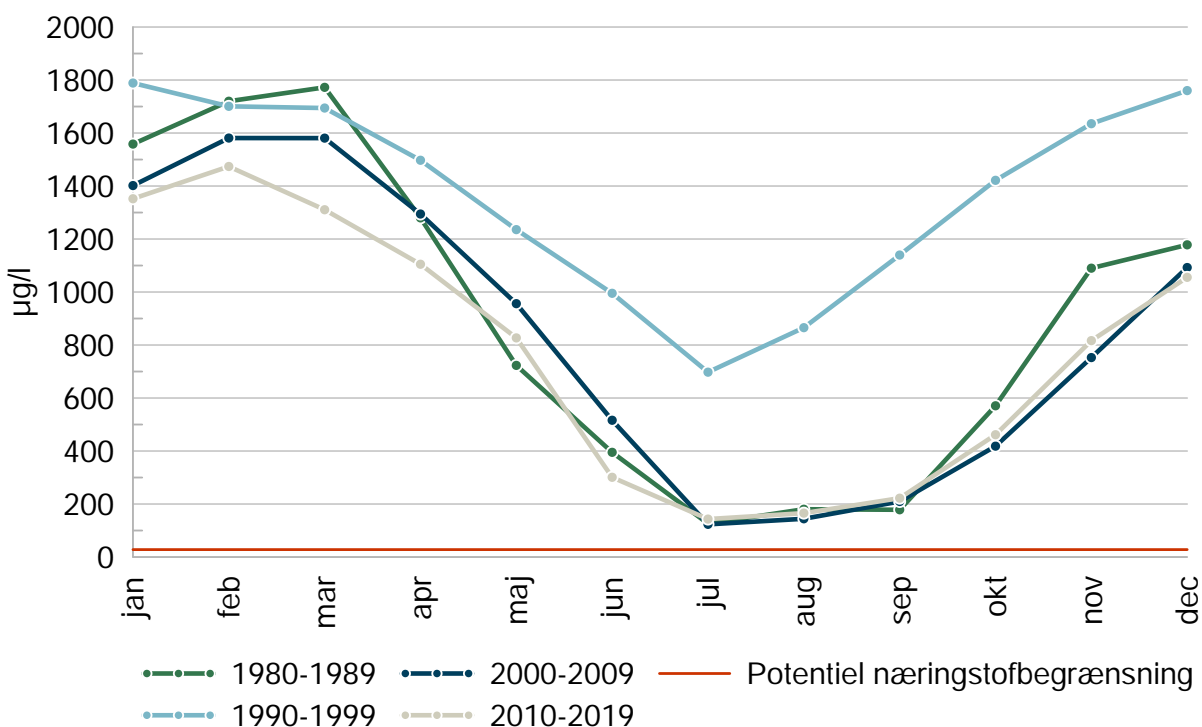


Figur 4.1 Gennemsnit af den totale kvælstofkoncentration ($\mu\text{g}/\text{L}$) på månedsbasis for perioderne 1980-1989, 1990-1999, 2000-2009 og 2010-2019, topprøver (dybde ≤ 5 meter).

4. Funktion af måned

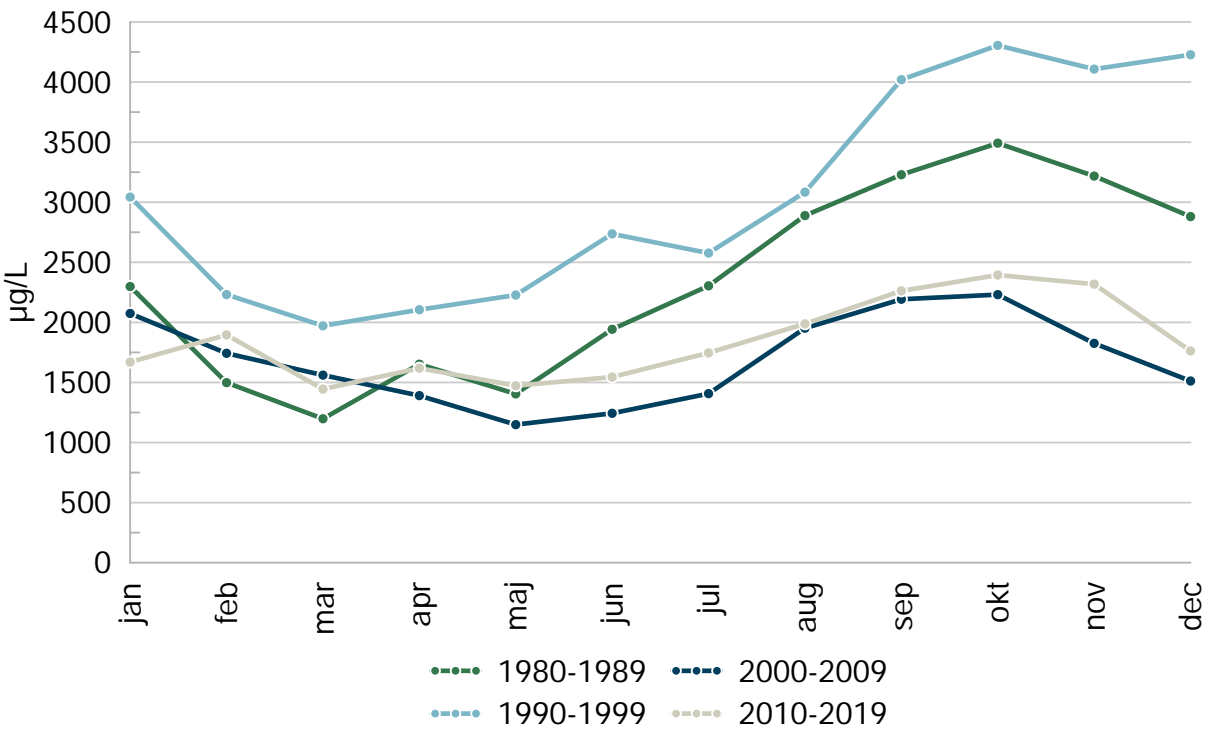


Figur 4.2 Gennemsnit af den totale kvælstofkoncentration ($\mu\text{g}/\text{L}$) på månedsbasis for perioderne 1980-1989, 1990-1999, 2000-2009 og 2010-2019, bundprøver (dybde ≥ 25 meter).

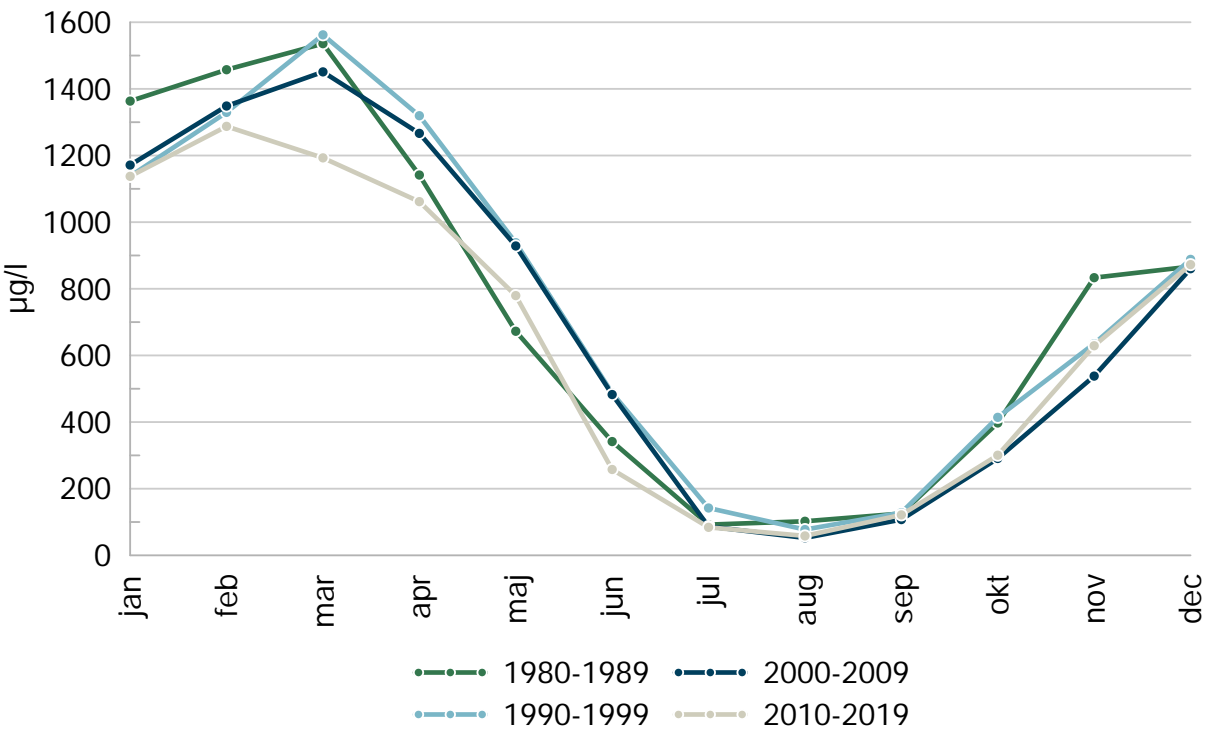


Figur 4.3 Gennemsnit af DIN-koncentrationen ($\mu\text{g}/\text{L}$) på månedsbasis for perioderne 1980-1989, 1990-1999, 2000-2009 og 2010-2019, topprøver (dybde ≤ 5 meter). Den potentielle næringsstofbegrænsning for DIN er 28 $\mu\text{g}/\text{L}$.

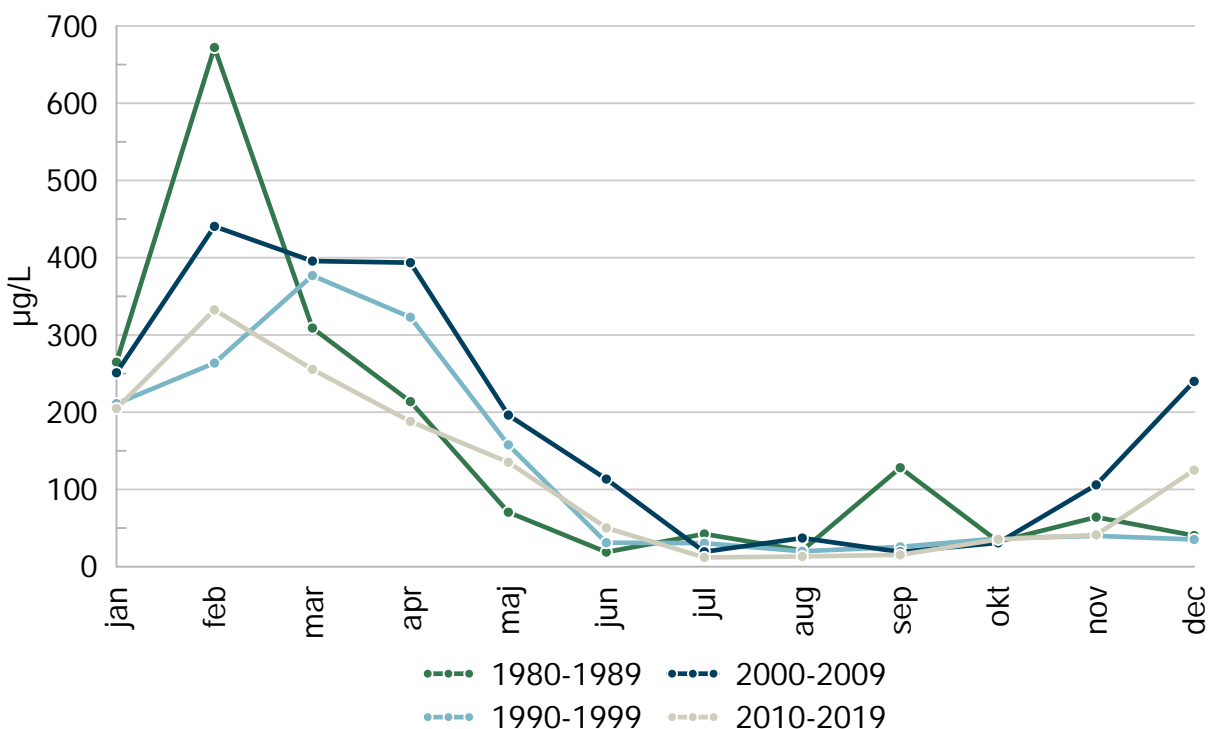
4. Funktion af måned



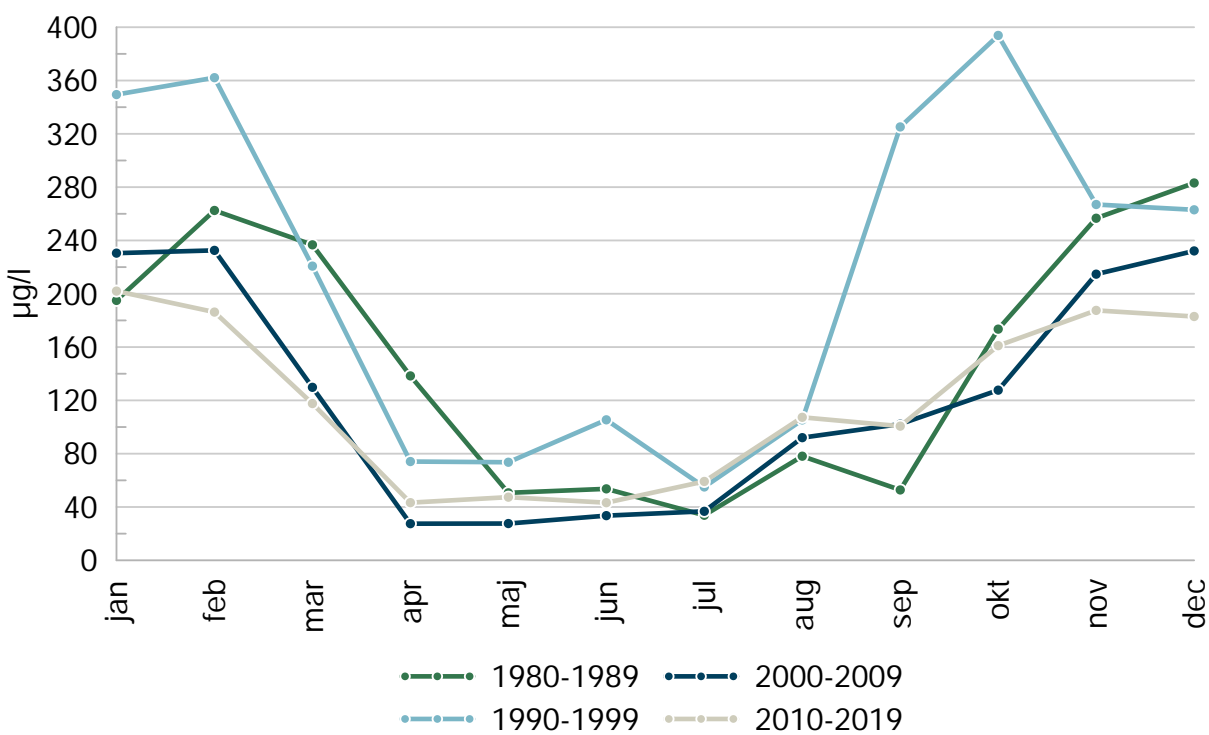
Figur 4.4 Gennemsnit af DIN-koncentrationen ($\mu\text{g/L}$) på månedsbasis for perioderne 1980-1989, 1990-1999, 2000-2009 og 2010-2019, bundprøver (dybde ≥ 25 meter).



Figur 4.5 Gennemsnit af nitrit+nitrat-N-koncentrationen ($\mu\text{g/L}$) på månedsbasis for perioderne 1980-1989, 1990-1999, 2000-2009 og 2010-2019, topoprøver (dybde ≤ 5 meter).

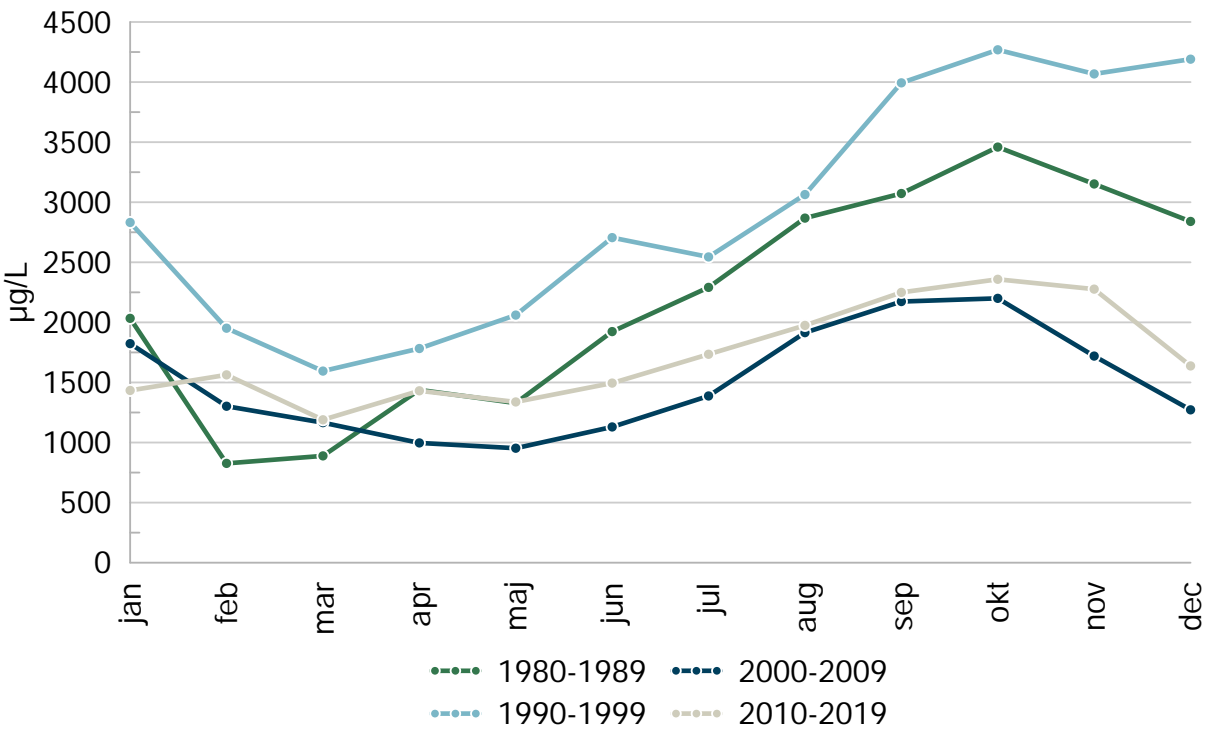


Figur 4.6 Gennemsnit af nitrit+nitrat-N-koncentrationen ($\mu\text{g}/\text{L}$) på månedsbasis for perioderne 1980-1989, 1990-1999, 2000-2009 og 2010-2019, bundprøver (dybde ≥ 25 meter).

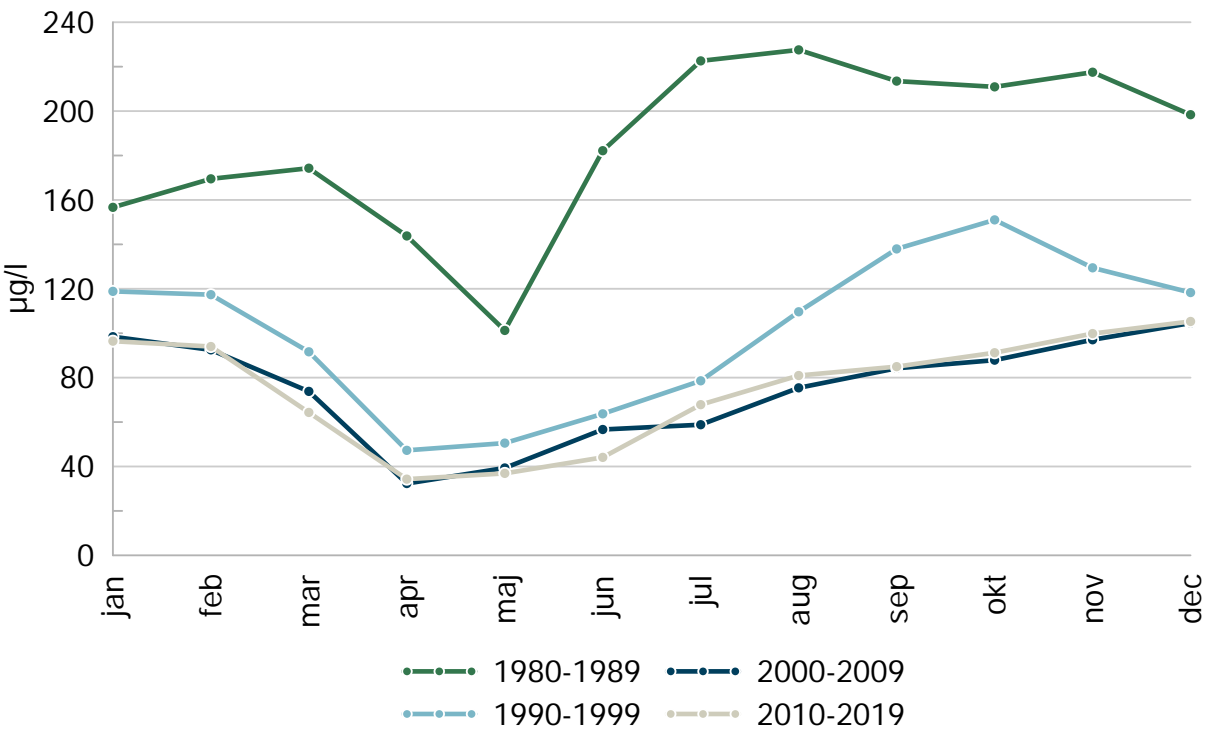


Figur 4.7 Gennemsnit af ammoniak+ammonium-N-koncentrationen ($\mu\text{g}/\text{L}$) på månedsbasis for perioderne 1980-1989, 1990-1999, 2000-2009 og 2010-2019, topprøver (dybde ≤ 5 meter).

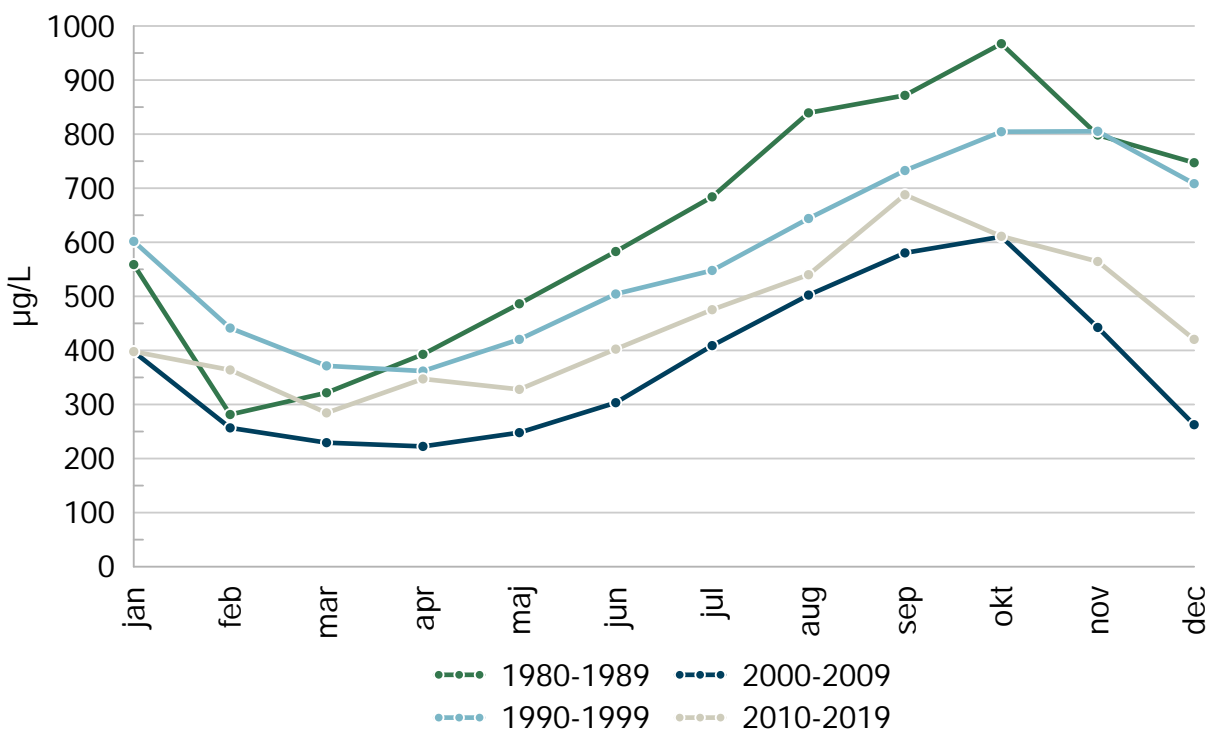
4. Funktion af måned



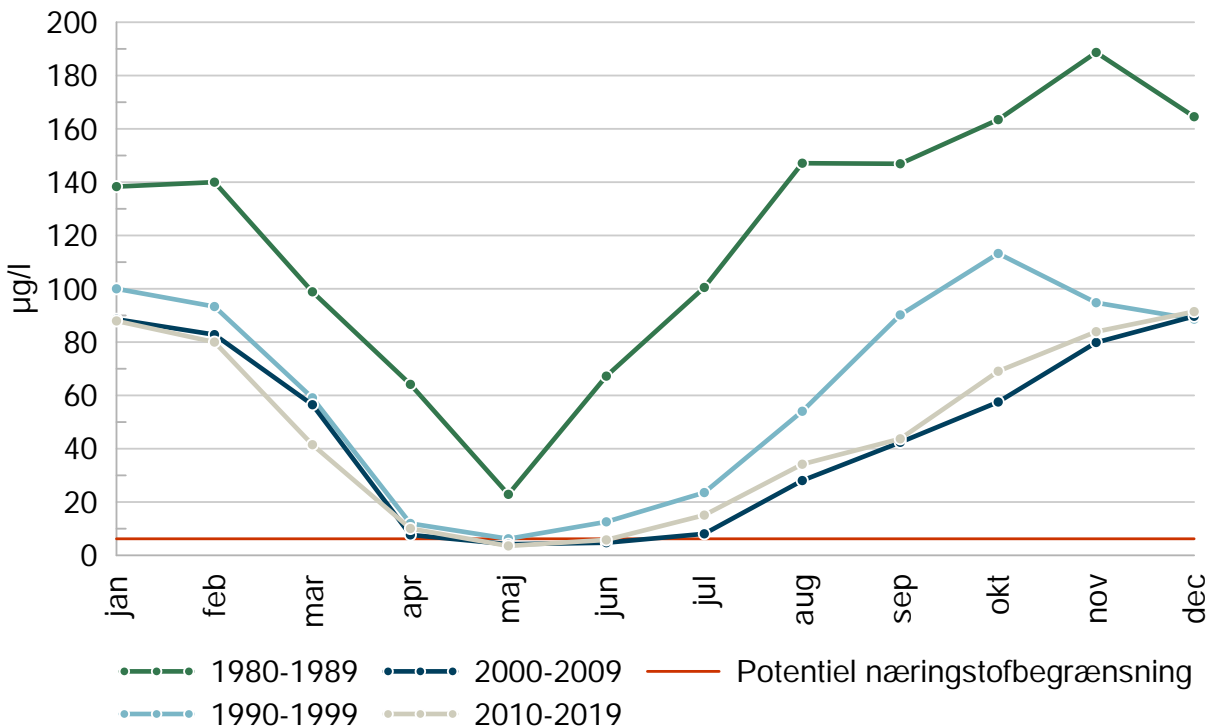
Figur 4.8 Gennemsnit af ammoniak+ammonium-N-koncentrationen ($\mu\text{g}/\text{L}$) på månedsbasis for perioderne 1980-1989, 1990-1999, 2000-2009 og 2010-2019, bundprøver (dybde ≥ 25 meter).



Figur 4.9 Gennemsnit af den totale fosforkoncentration ($\mu\text{g}/\text{L}$) på månedsbasis for perioderne 1980-1989, 1990-1999, 2000-2009 og 2010-2019, topprøver (dybde ≤ 5 meter).

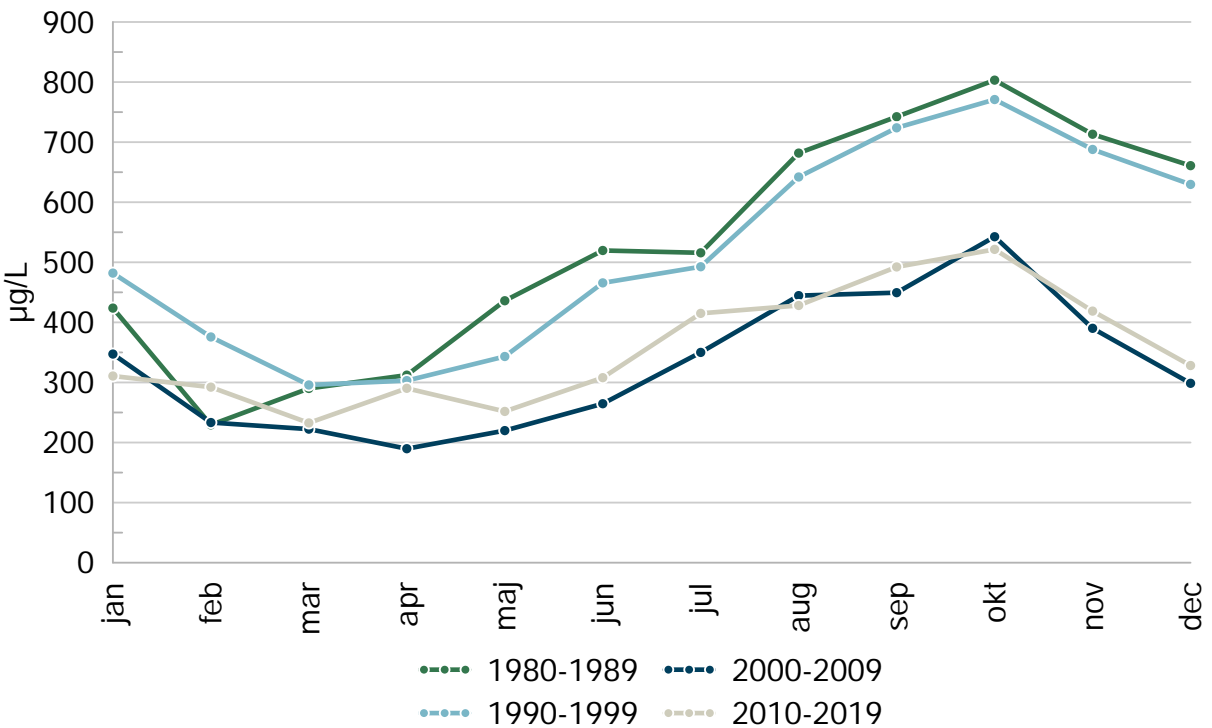


Figur 4.10 Gennemsnit af den totale fosforkoncentration ($\mu\text{g}/\text{L}$) på månedsbasis for perioderne 1980-1989, 1990-1999, 2000-2009 og 2010-2019, bundprøver (dybde ≥ 25 meter).

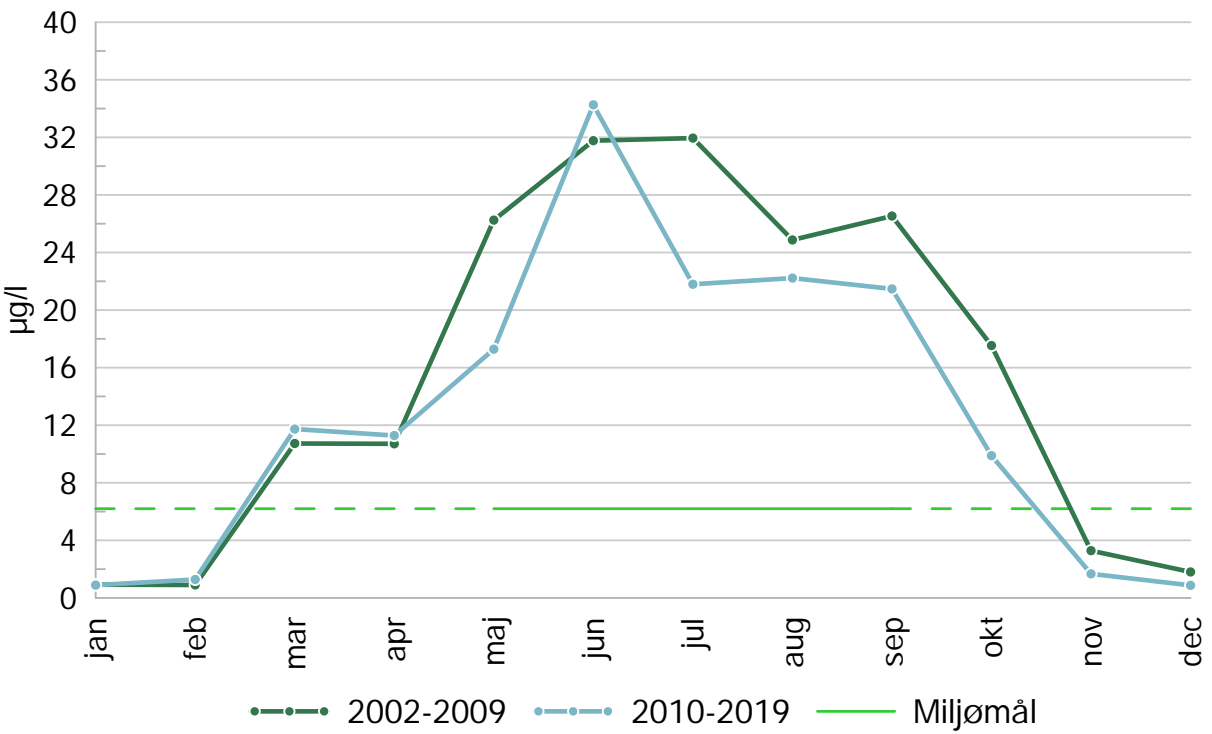


Figur 4.11 Gennemsnit af orthofosfat-P-koncentrationen ($\mu\text{g}/\text{L}$) på månedsbasis for perioderne 1980-1989, 1990-1999, 2000-2009 og 2010-2019, topoprøver (dybde ≤ 5 meter). Den potentielle næringsstofbegrensning for orthofosfat-P er 6,2 $\mu\text{g}/\text{L}$.

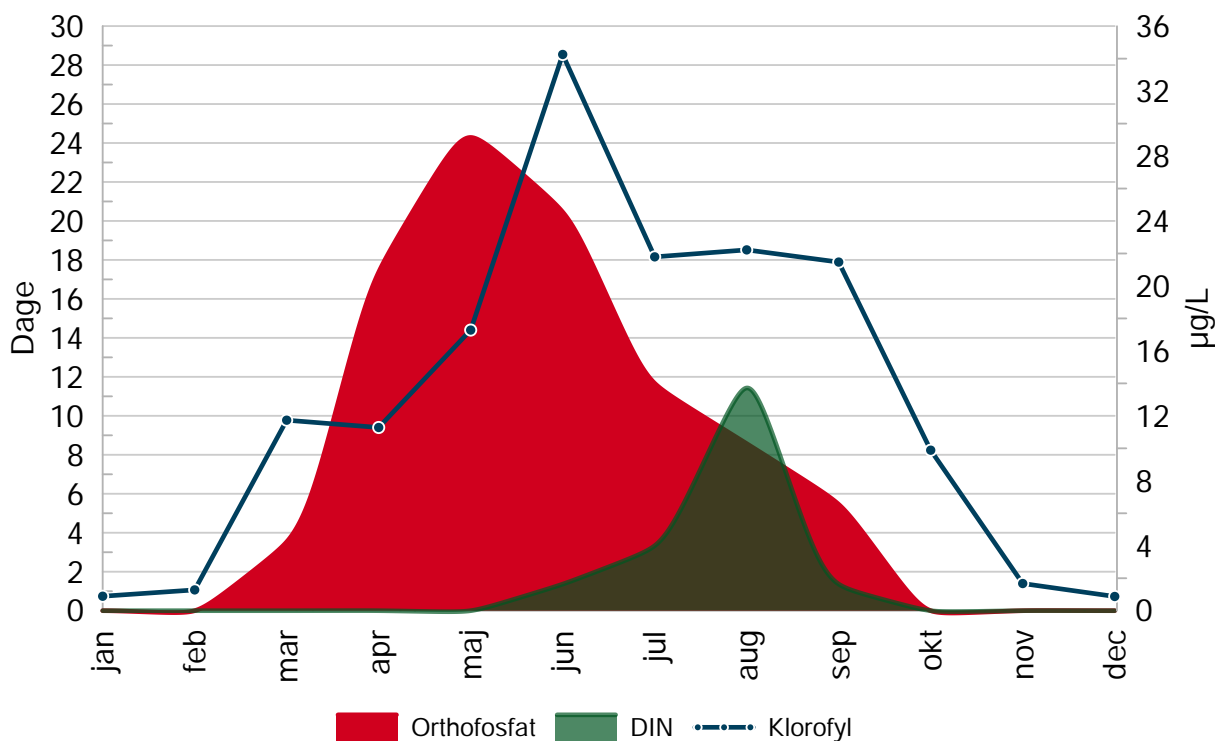
4. Funktion af måned



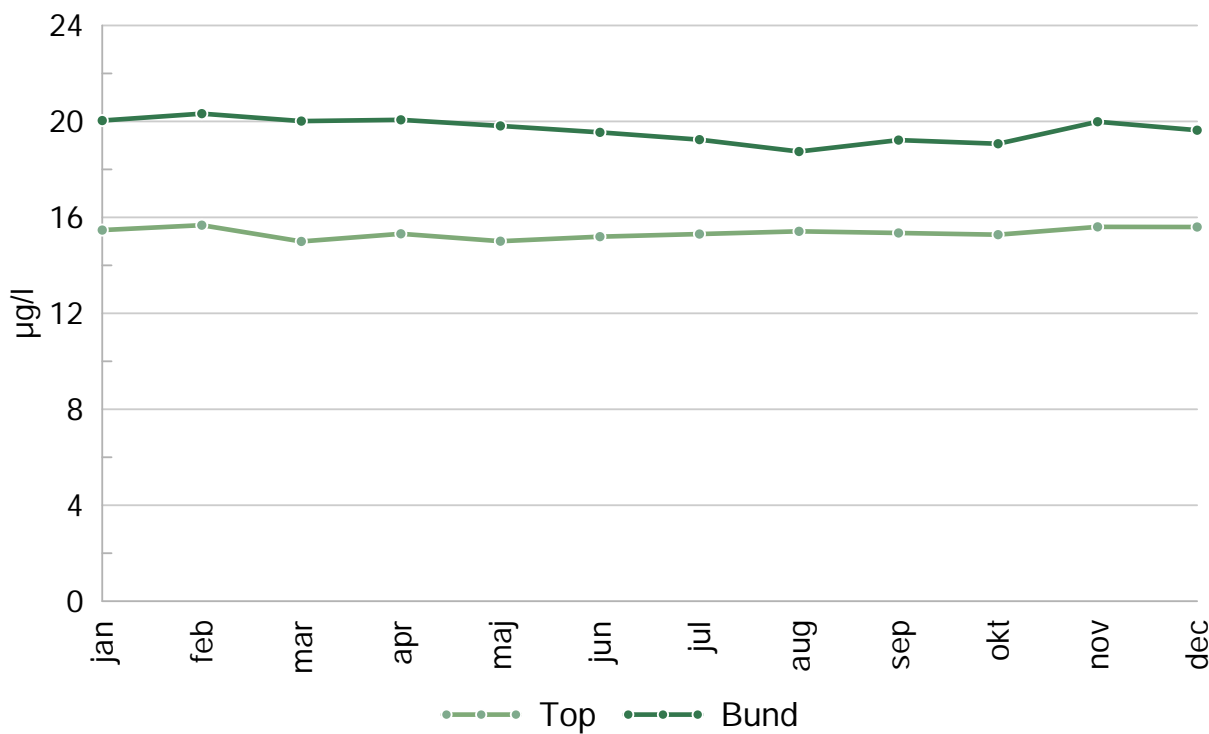
Figur 4.12 Gennemsnit af orthofosfat-P-koncentrationen ($\mu\text{g}/\text{L}$) på månedsbasis for perioderne 1980-1989, 1990-1999, 2000-2009 og 2010-2019, bundprøver (dybde ≥ 25 meter).



Figur 4.13 Gennemsnit af klorofylkoncentrationen ($\mu\text{g}/\text{L}$) på månedsbasis for perioderne 1980-1989, 1990-1999, 2000-2009 og 2010-2019, topprøver (dybde ≤ 5 meter). Miljømålet for god/moderat økologisk tilstand er 6,0 $\mu\text{g}/\text{L}$ for Mariager Inderfjord.

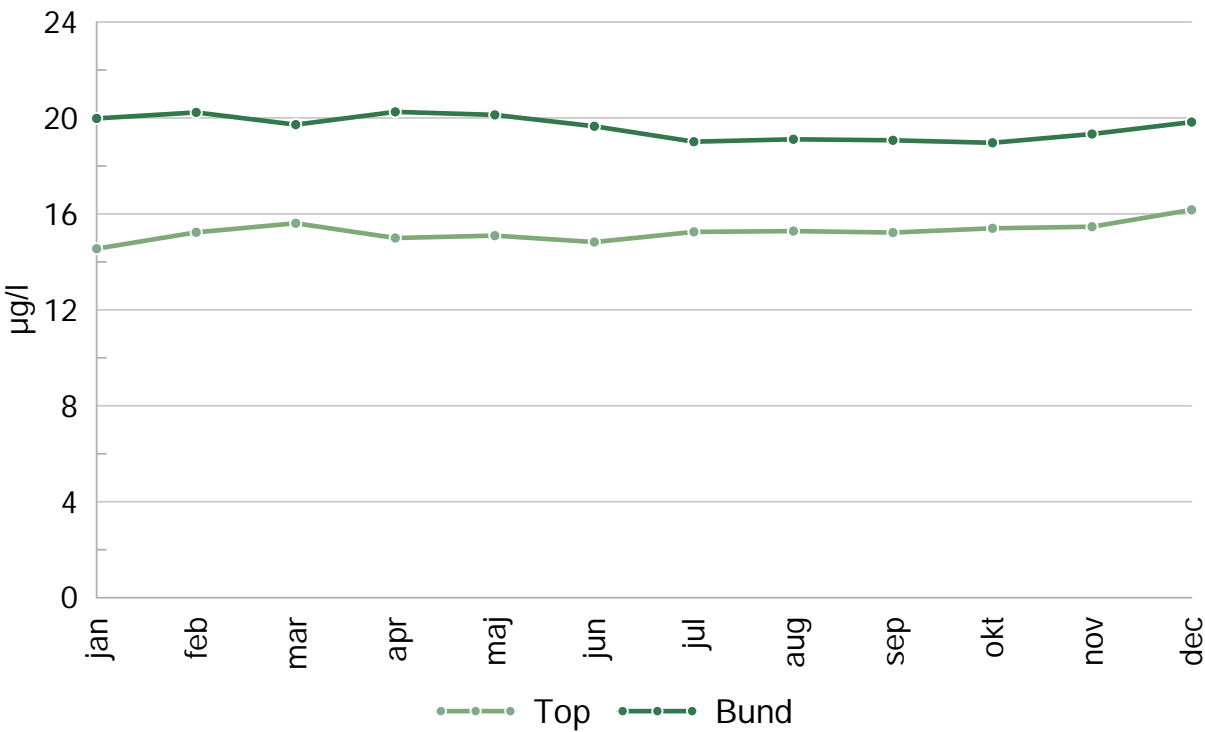


Figur 4.14 Antallet af dage med fosfor- og kvælstofbegrænsning på månedsbasis som et gennemsnit af perioden 2010-2019 (Y-akse) og den gennemsnitlige koncentration af klorofyl ($\mu\text{g}/\text{L}$) på månedsbasis for perioden 2010-2019 (Z-akse)

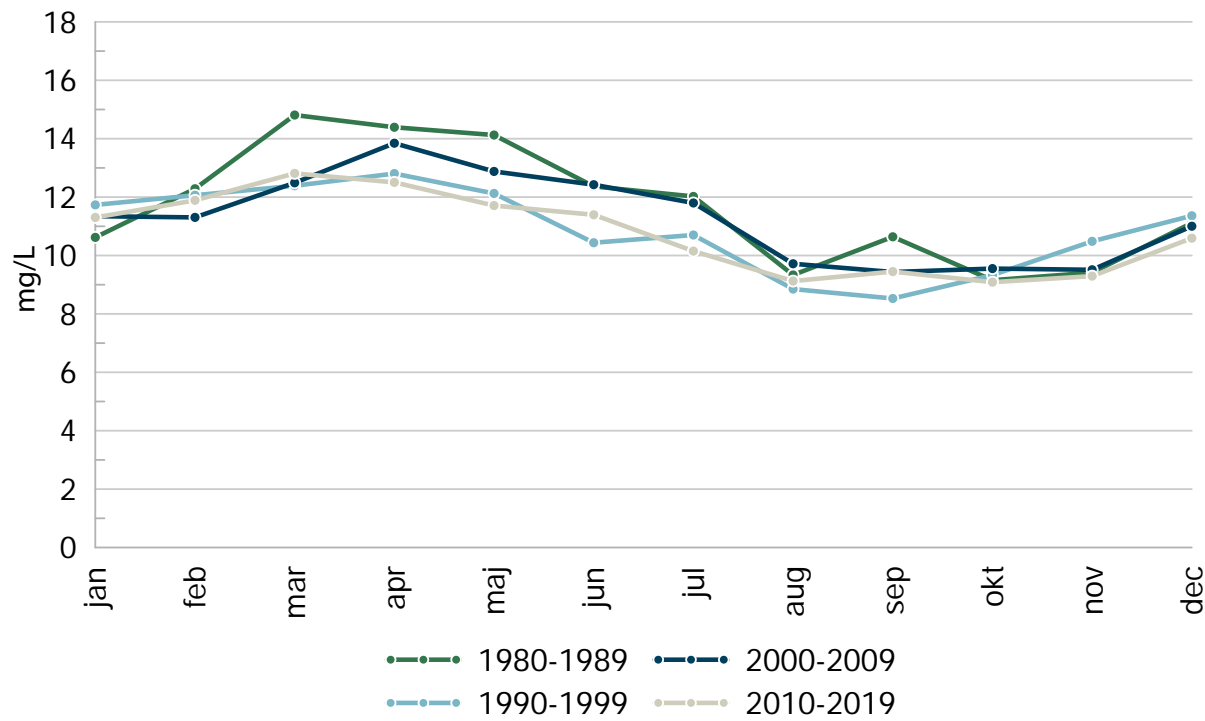


Figur 4.15 Gennemsnit af saltindholdet (promille) på månedsbasis for topprøver (øverste måling) og bundprøver (dybeste måling) på baggrund af målinger i 1980-2019 ved målestation 93610032.

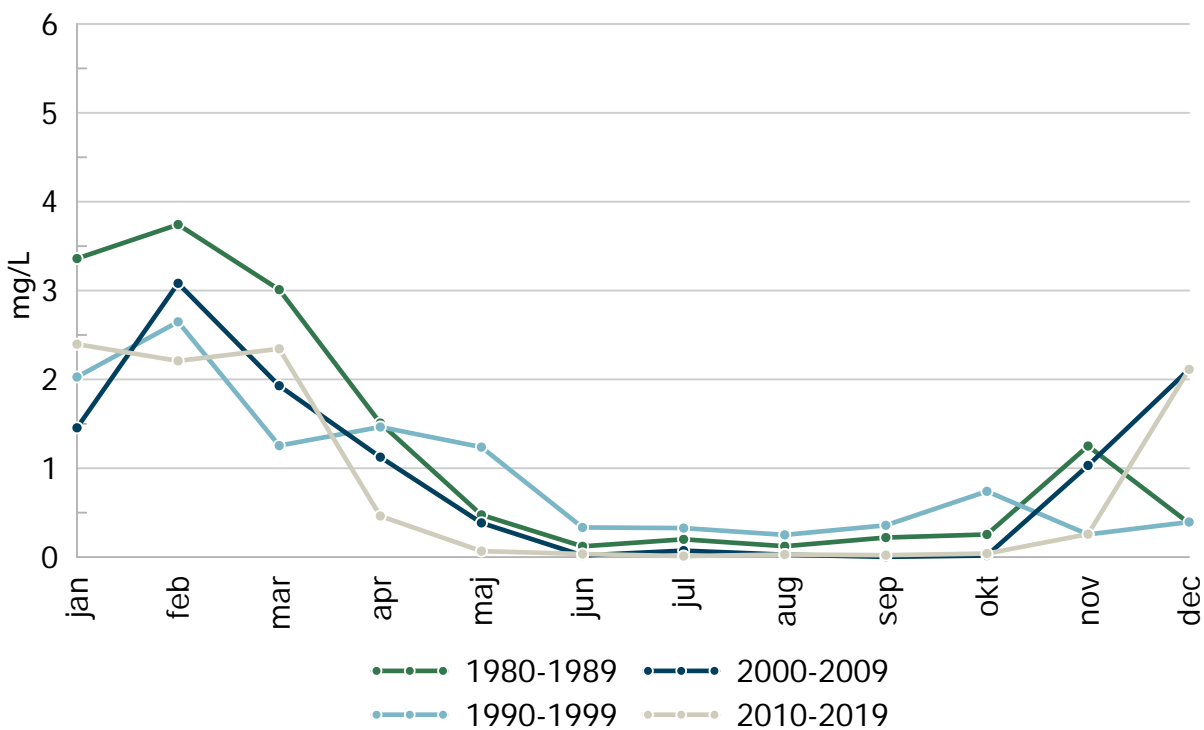
4. Funktion af måned



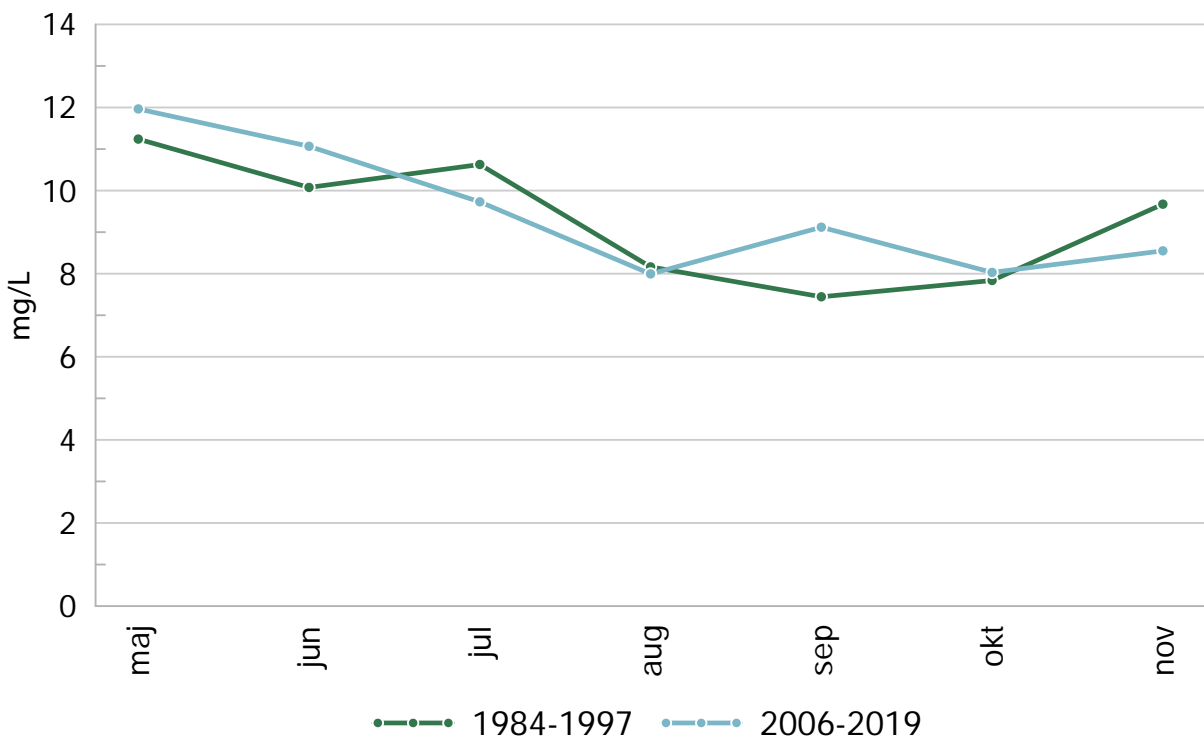
Figur 4.16 Gennemsnit af saltindholdet (promille) på månedsbasis for topprøver (øverste måling) og bundprøver (dybeste måling) på baggrund af målinger i 1984-2019 ved målestation 93610034.



Figur 4.17 Gennemsnit af iltkoncentrationen (mg/L) på månedsbasis for perioderne 1980-1989, 1990-1999, 2000-2009 og 2010-2019, topprøver (øverste måling) ved målestation 93610032.

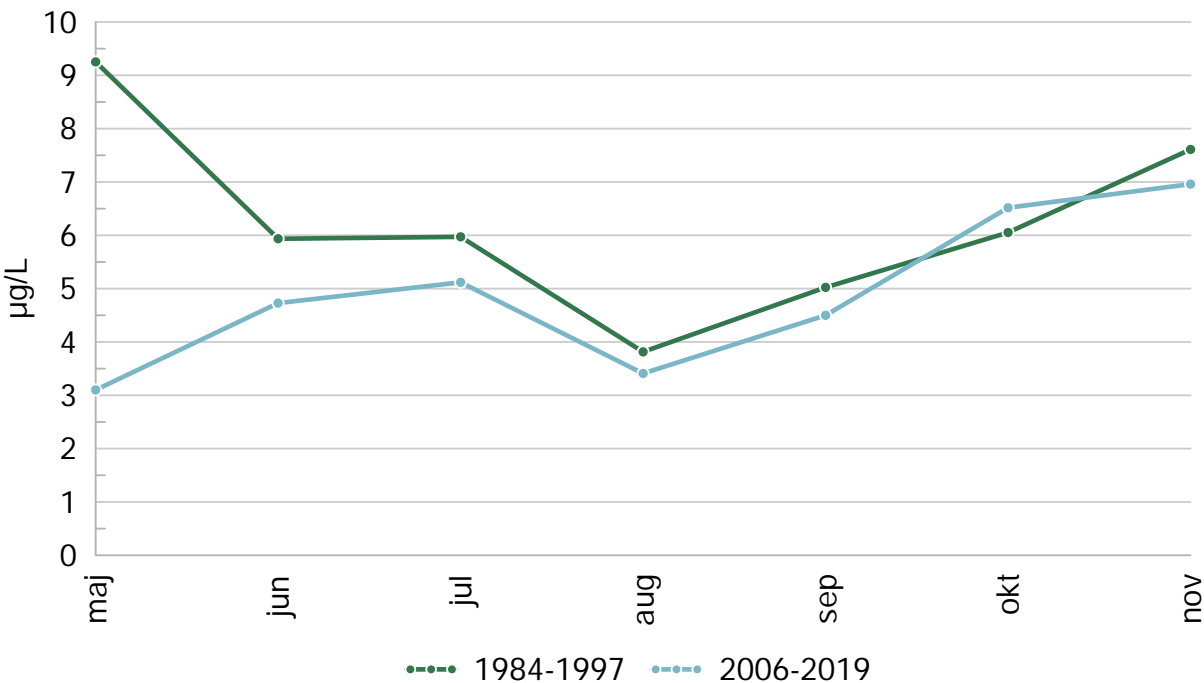


Figur 4.18 Gennemsnit af iltkoncentrationen (mg/L) på månedsbasis for perioderne 1980-1989, 1990-1999, 2000-2009 og 2010-2019, bundprøver (dybeste måling) ved målestation 93610032.

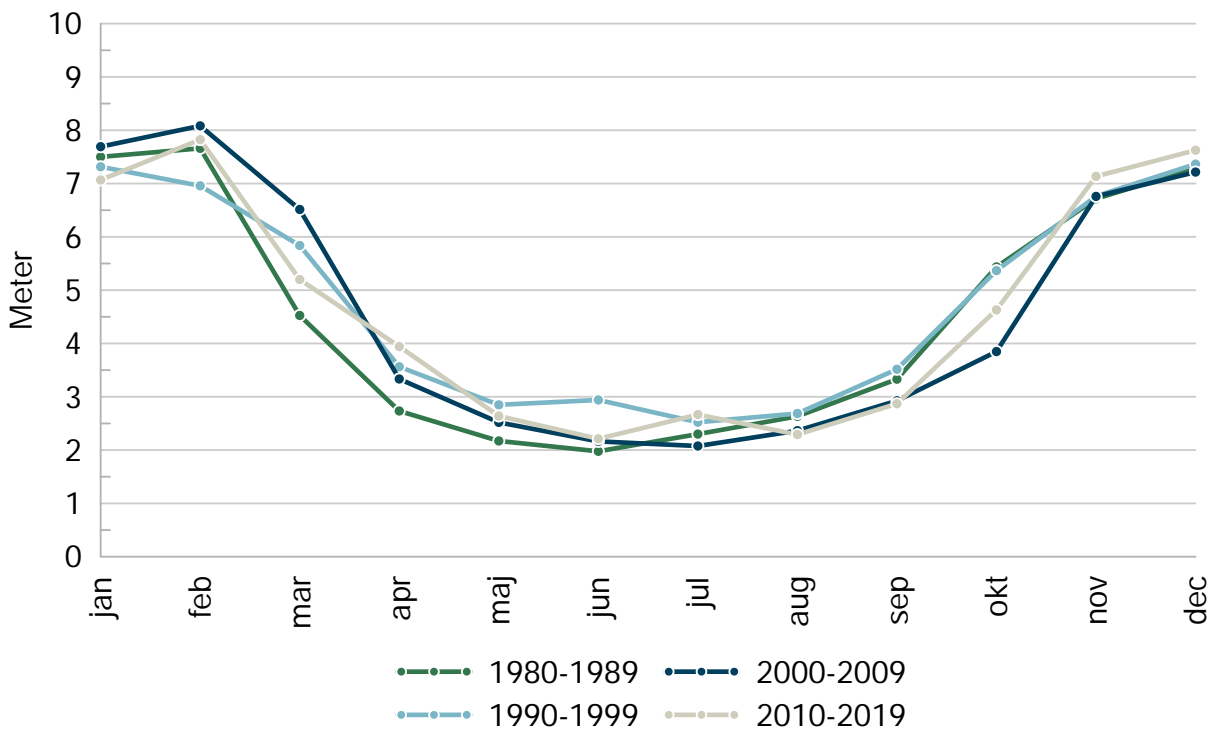


Figur 4.19 Gennemsnit af iltkoncentrationen (mg/L) på månedsbasis for perioderne 1980-1989, 1990-1999, 2000-2009 og 2010-2019, topprøver (øverste måling) ved målestation 93610034.

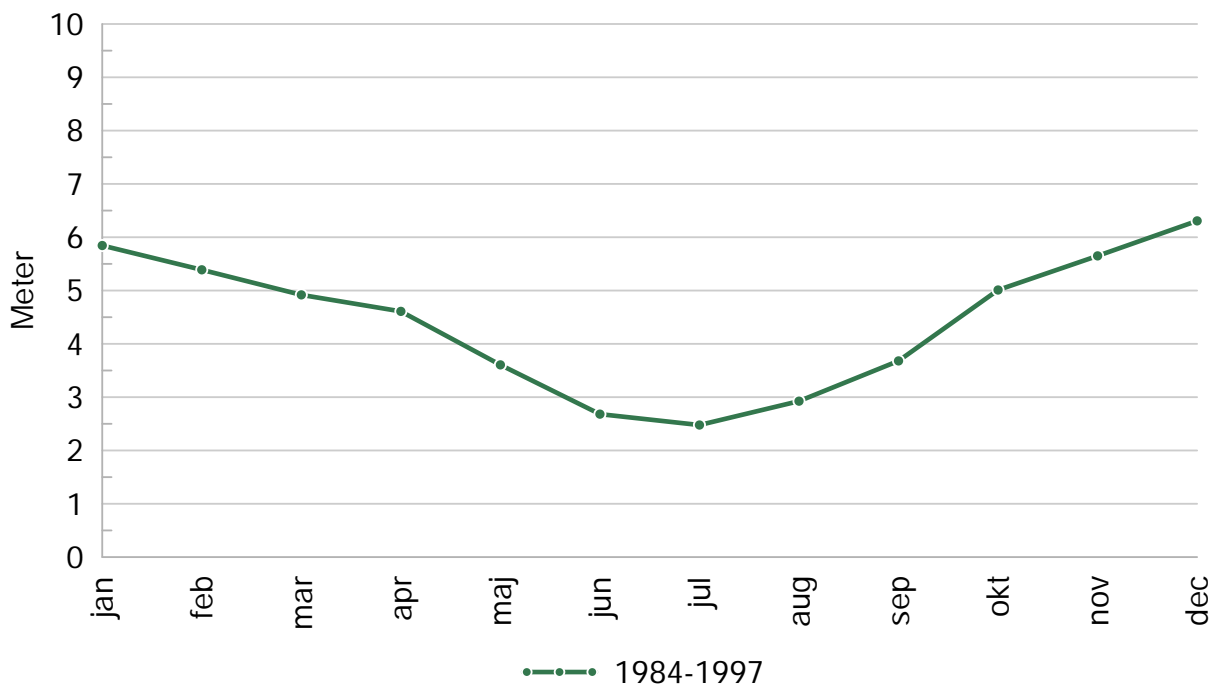
4. Funktion af måned



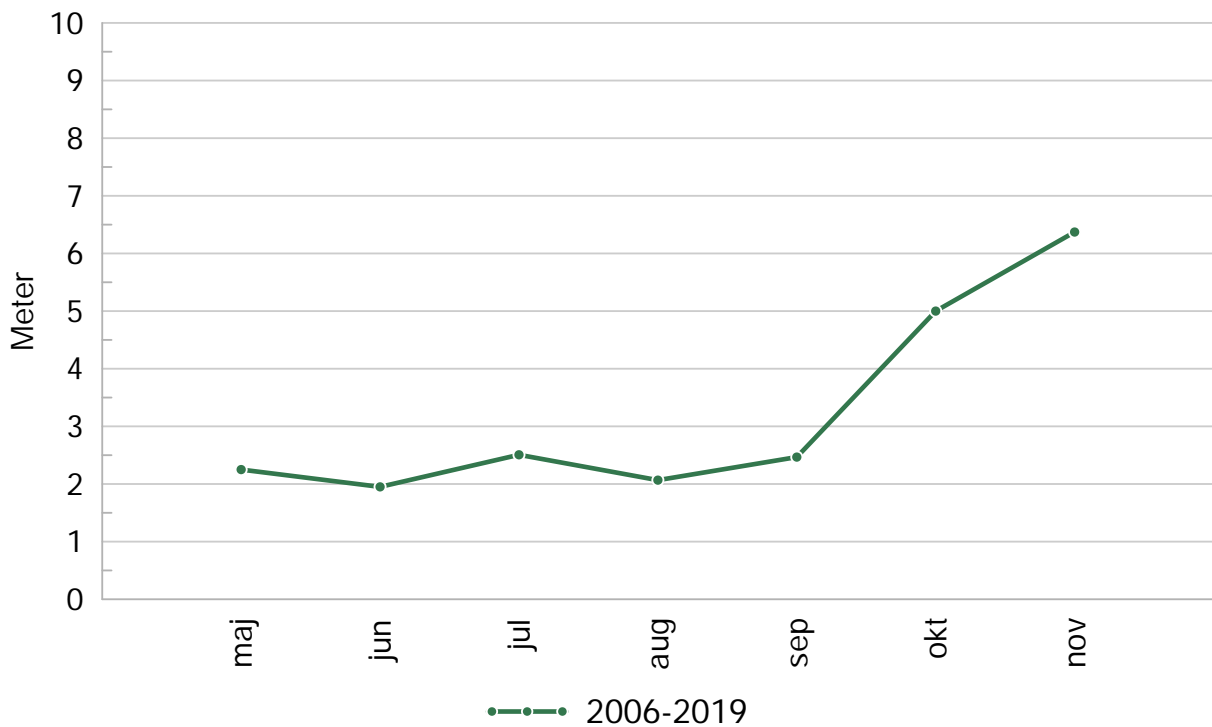
Figur 4.20 Gennemsnit af iltkoncentrationen (mg/L) på månedsbasis for perioderne 1980-1989, 1990-1999, 2000-2009 og 2010-2019, bundprøver (dybeste måling) ved målestation 93610034.



Figur 4.21 Gennemsnit af sigtdybden (meter) på månedsbasis for perioderne 1980-1989, 1990-1999, 2000-2009 og 2010-2019 ved målestation 93610032.



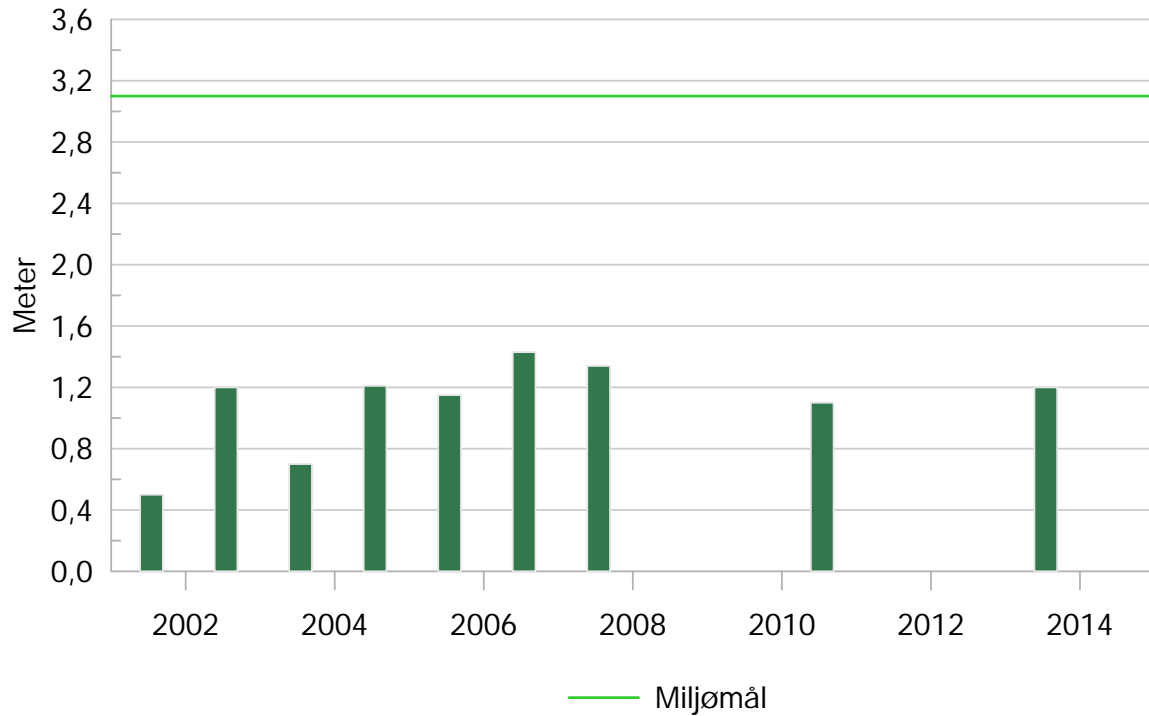
Figur 4.22 Gennemsnit af sigtdybden (meter) på månedsbasis for perioden 1984-1997 ved målestation 93610034.



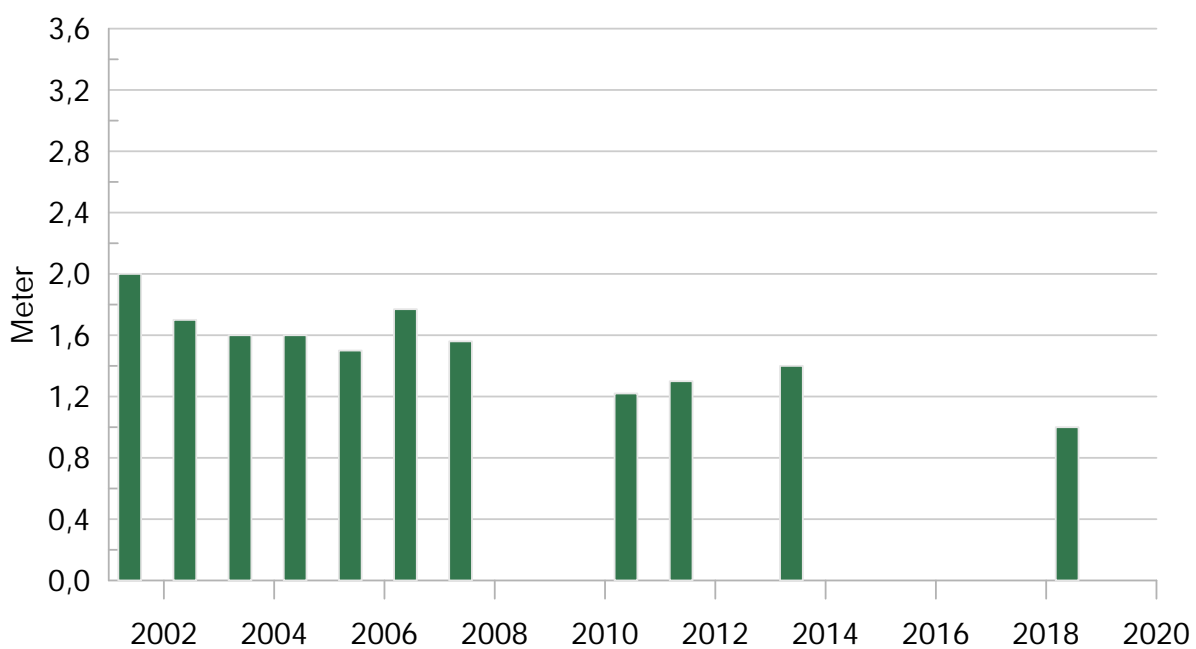
Figur 4.23 Gennemsnit af sigtdybden (meter) på månedsbasis for perioden 2006-2019 ved målestation 93610034.

Vegetation

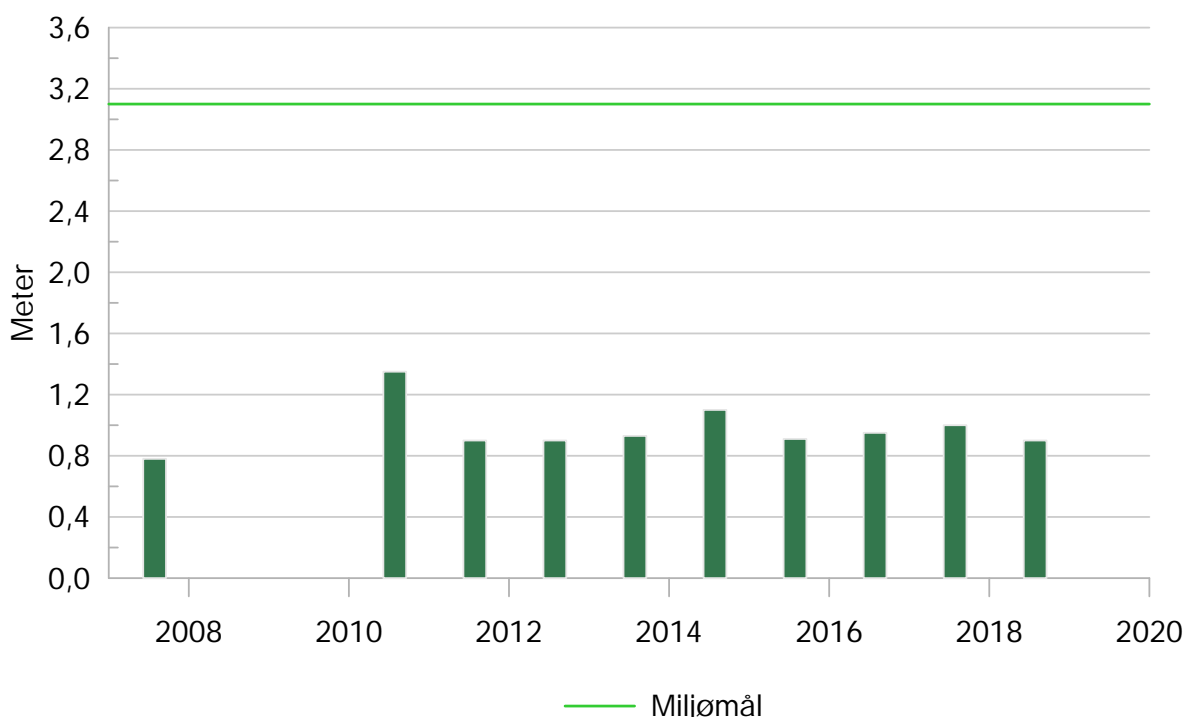
5



Figur 5.1 Årligt gennemsnit af ålegræssets hovedudbredelse ($\geq 10\%$ dækningsgrad) i den inderste del af Mariager Fjord samt miljømålsgrænsen.

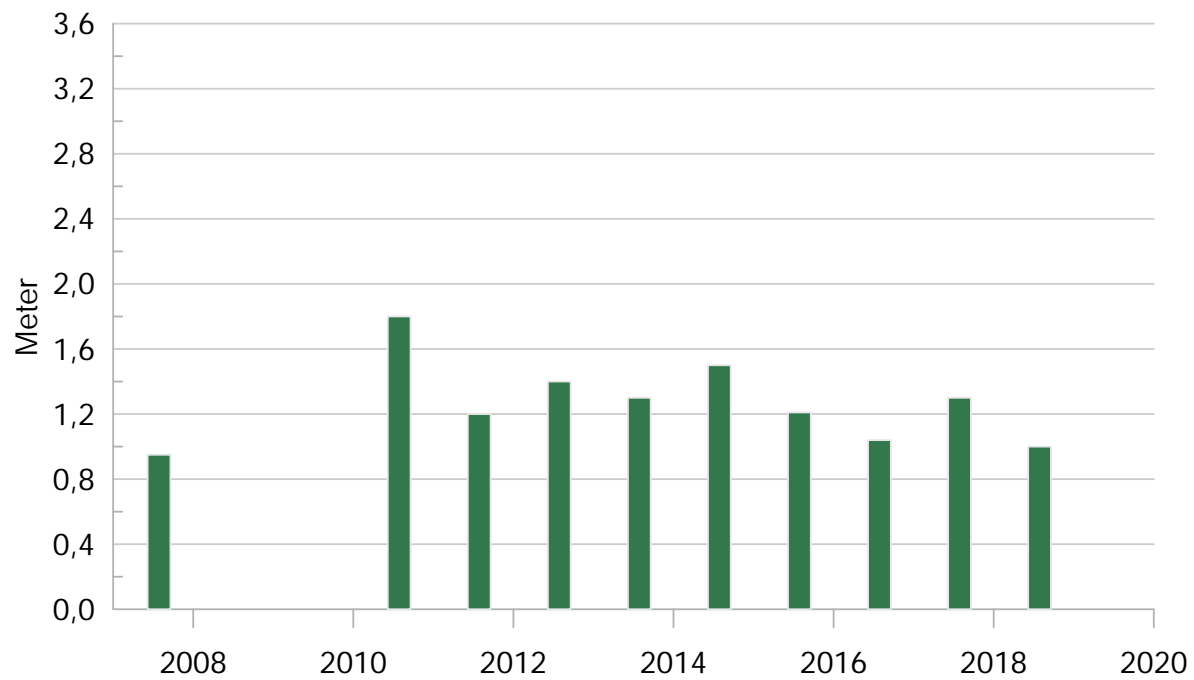


Figur 5.2 Årligt gennemsnit af ålegræssets maksimale dybdeudbredelse ($\geq 1\%$ dækningsgrad) i den inderste del af Mariager Fjord.

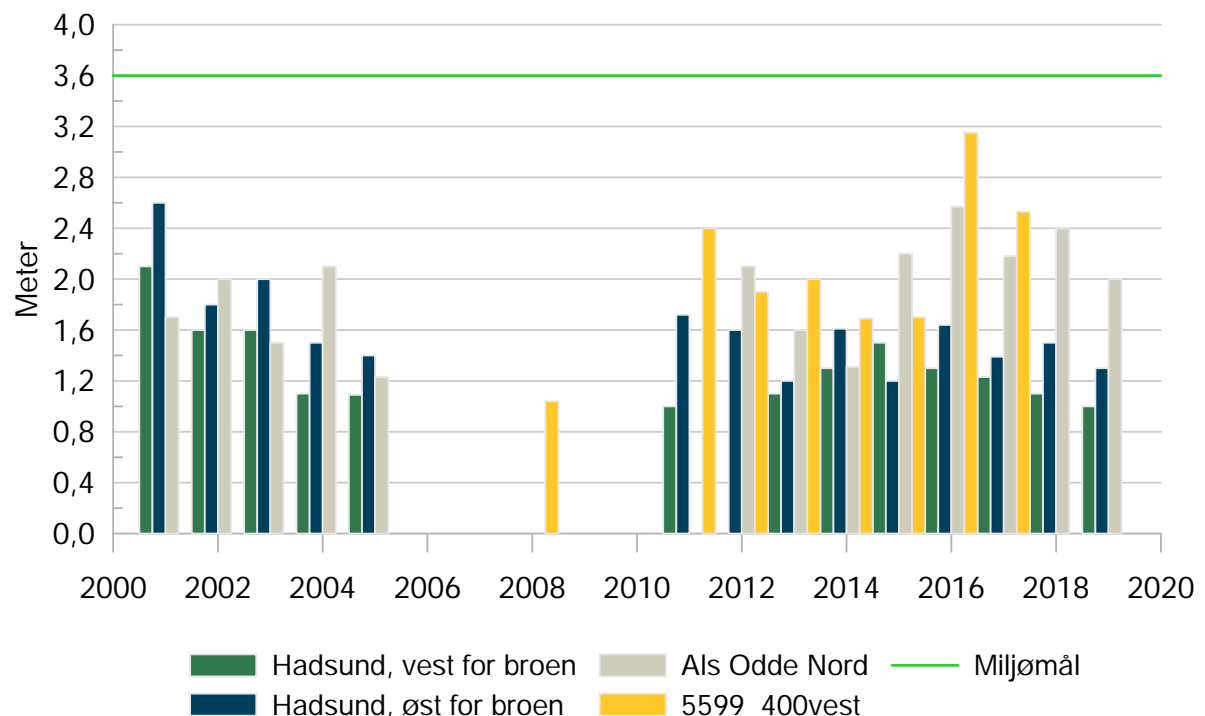


Figur 5.3 Årligt gennemsnit af ålegræssets hovedudbredelse ($\geq 10\%$ dækningsgrad) i den indre-midterdel af Mariager Fjord samt miljømålsgrænsen.

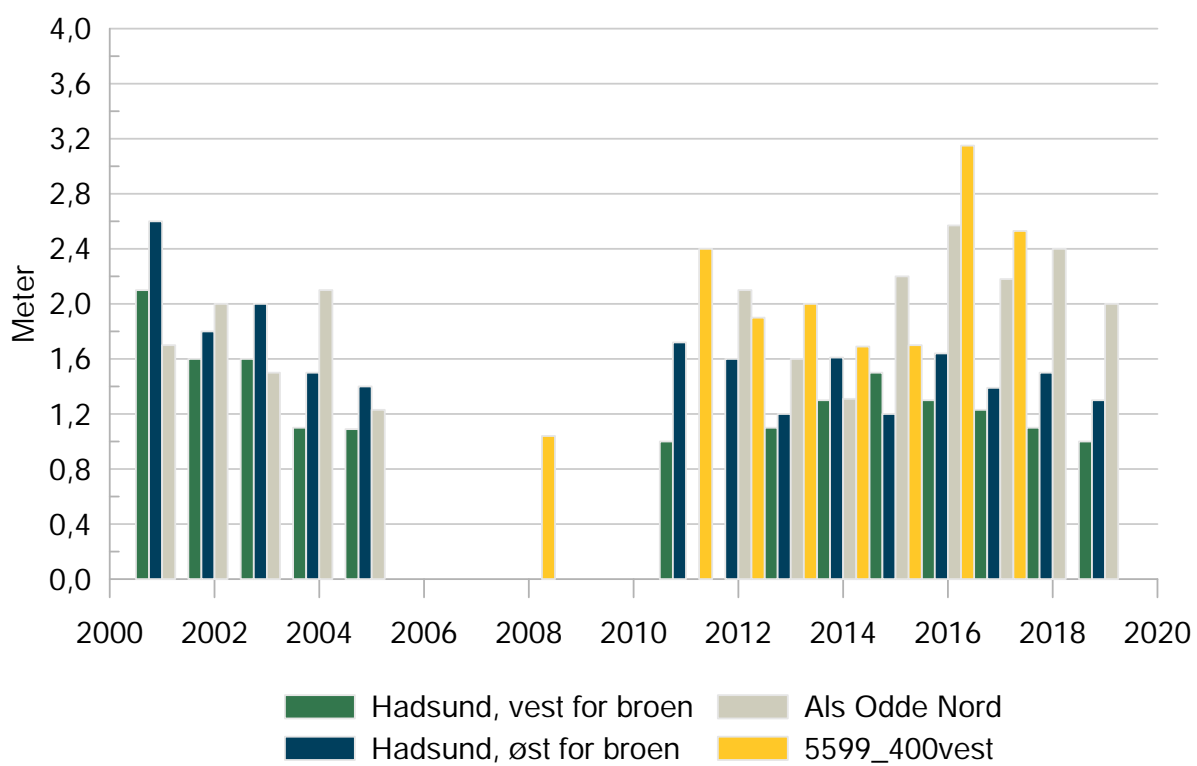
5. Vegetation



Figur 5.4 Årligt gennemsnit af ålegræssets maksimale dybdeudbredelse ($\geq 1\%$ dækningsgrad) i den indre-midterdel af Mariager Fjord.

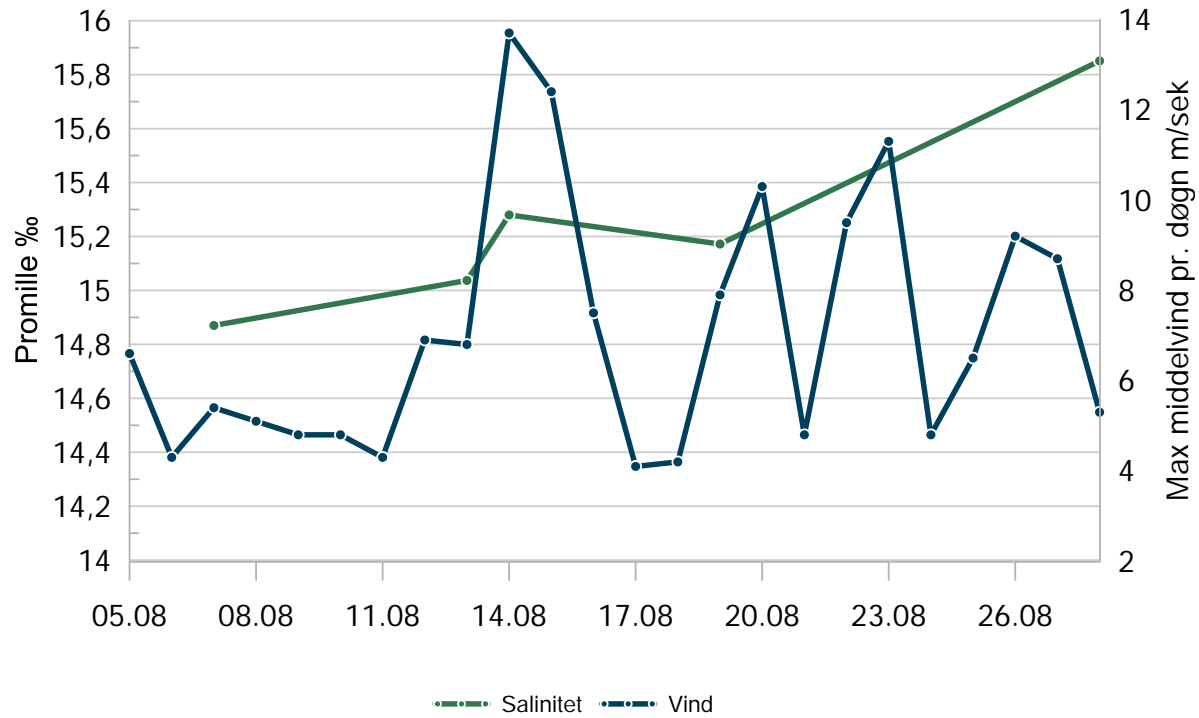


Figur 5.5 Årligt gennemsnit af ålegræssets hovedudbredelse ($\geq 10\%$ dækningsgrad) i den ydre del af Mariager Fjord samt miljømålsgrænsen.

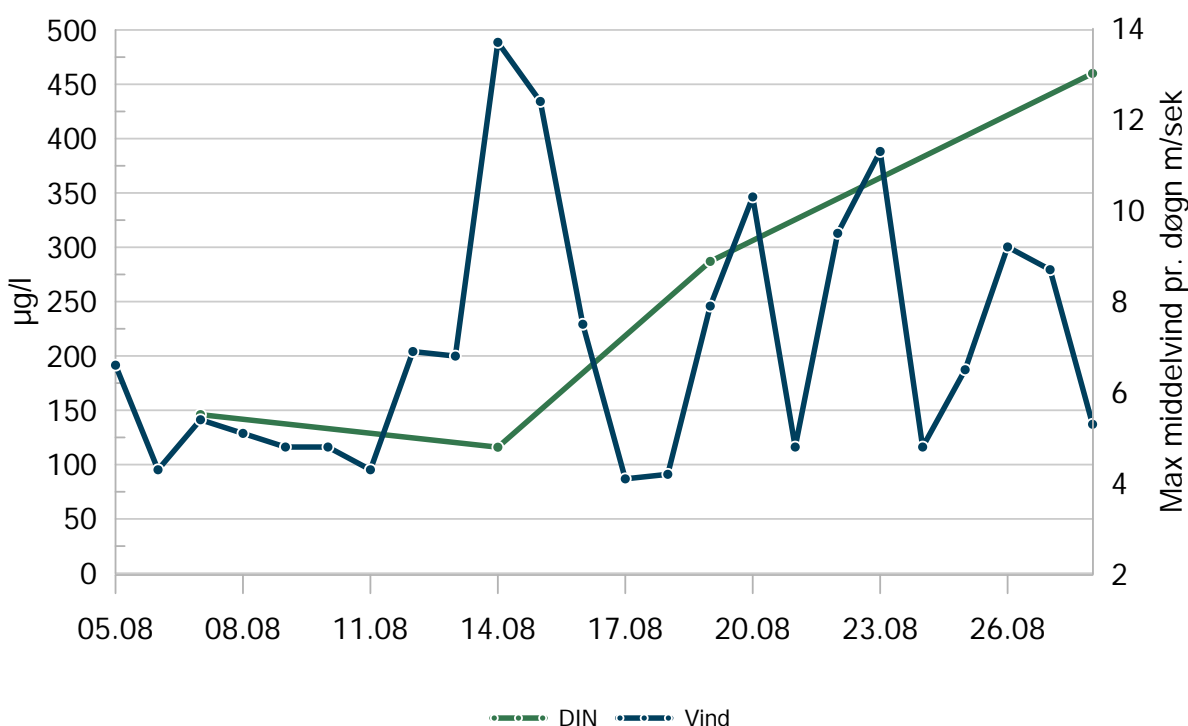


Figur 5.6 Årligt gennemsnit af ålegræssets maksimale dybdeudbredelse ($\geq 1\%$ dækningsgrad) i den ydre del af Mariager Fjord.

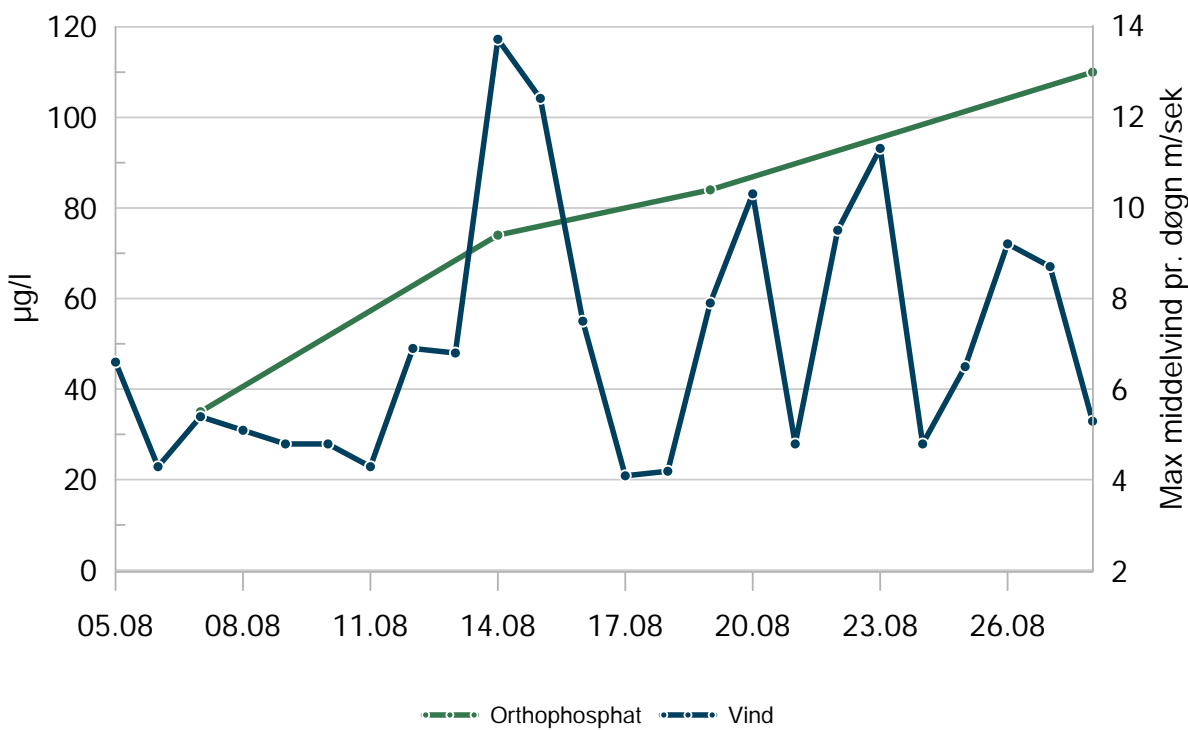
Vindhændelser



Figur 6.1 Saltkoncentration (promille) i topprøverne og daglig middelvindstyrke (m/s) i august 2003.

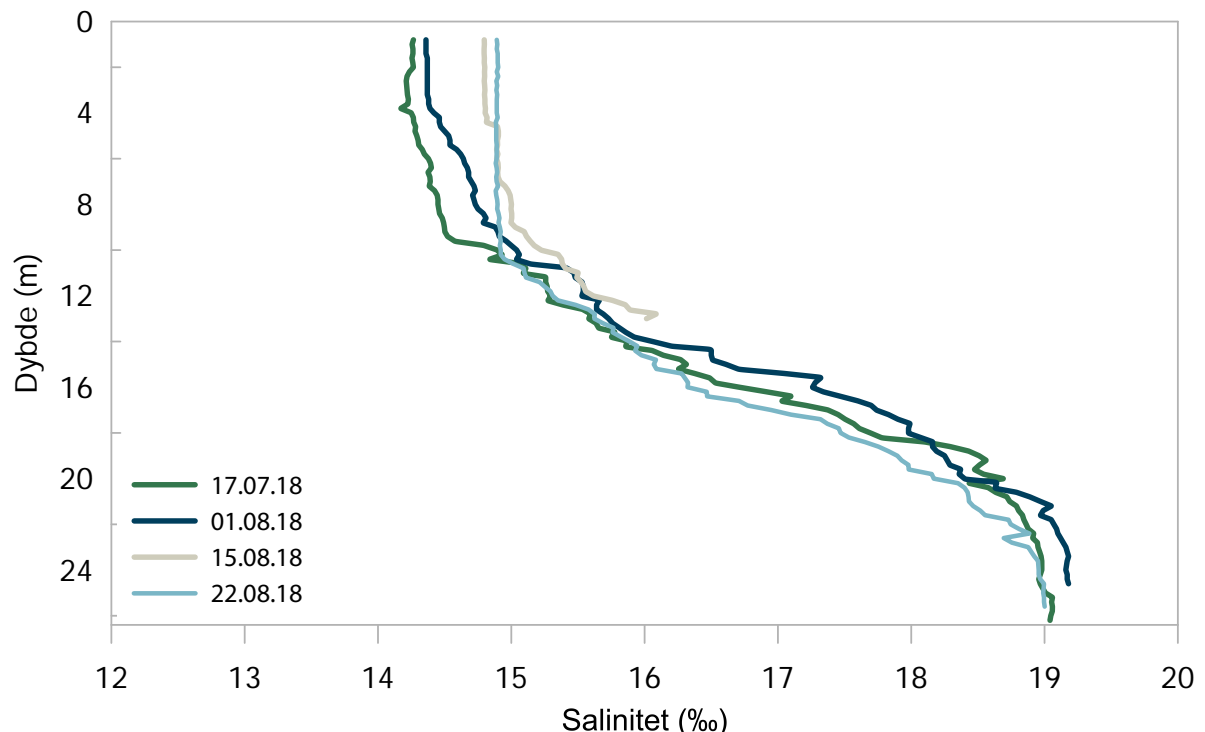


Figur 6.2 DIN-koncentration ($\mu\text{g}/\text{L}$) i topoprøverne og daglig middelvindstyrke (m/s) i august 2003.

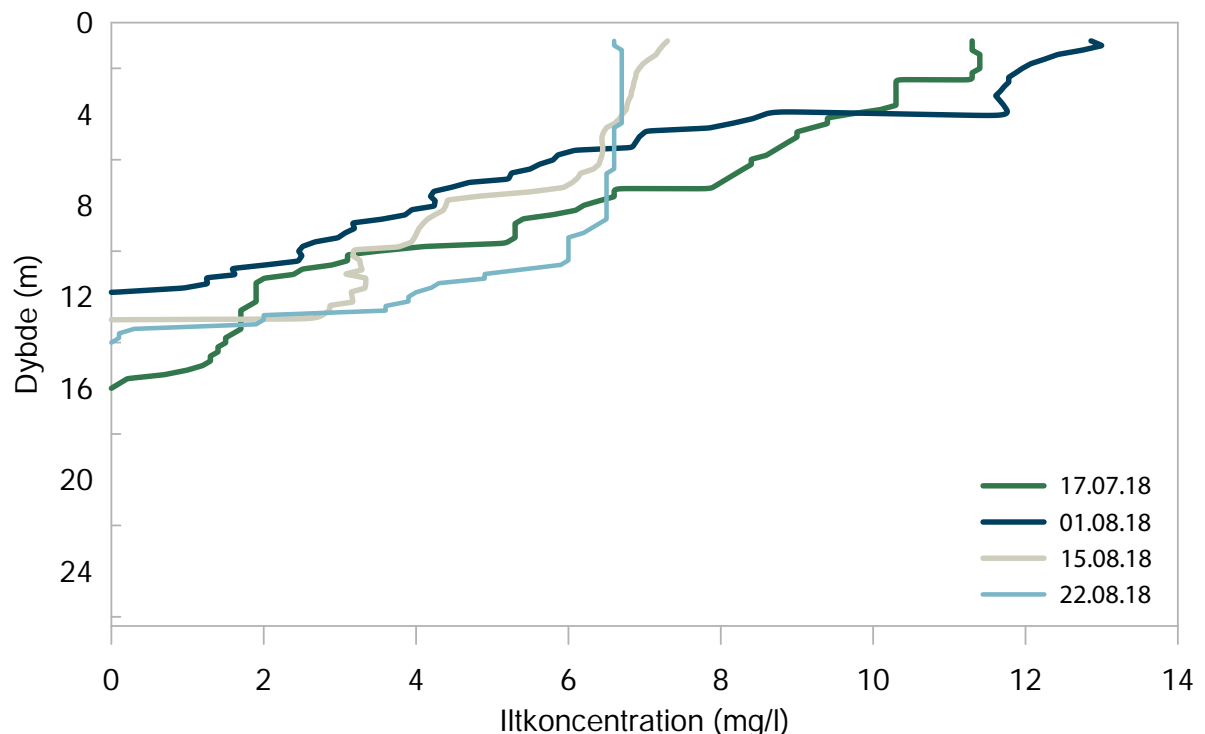


Figur 6.3 Orthofosfat-P-koncentration ($\mu\text{g}/\text{L}$) i topoprøverne og daglig middelvindstyrke (m/s) i august 2003.

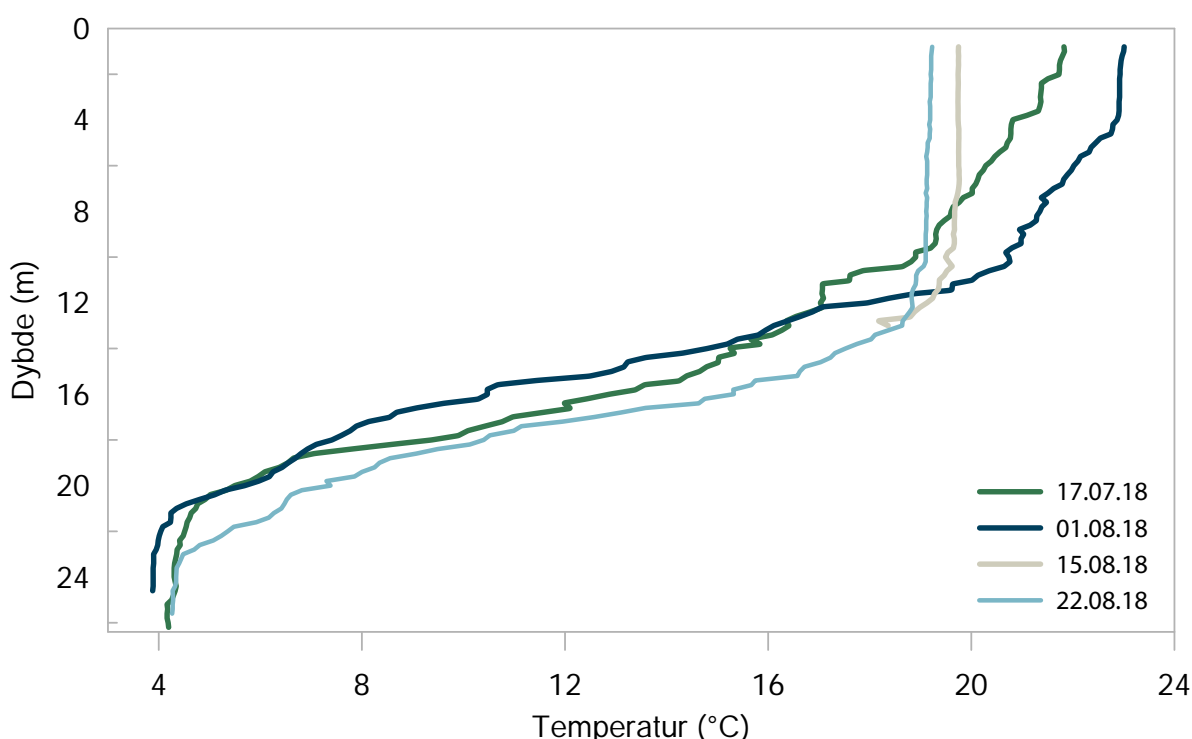
6. Vindhændelser



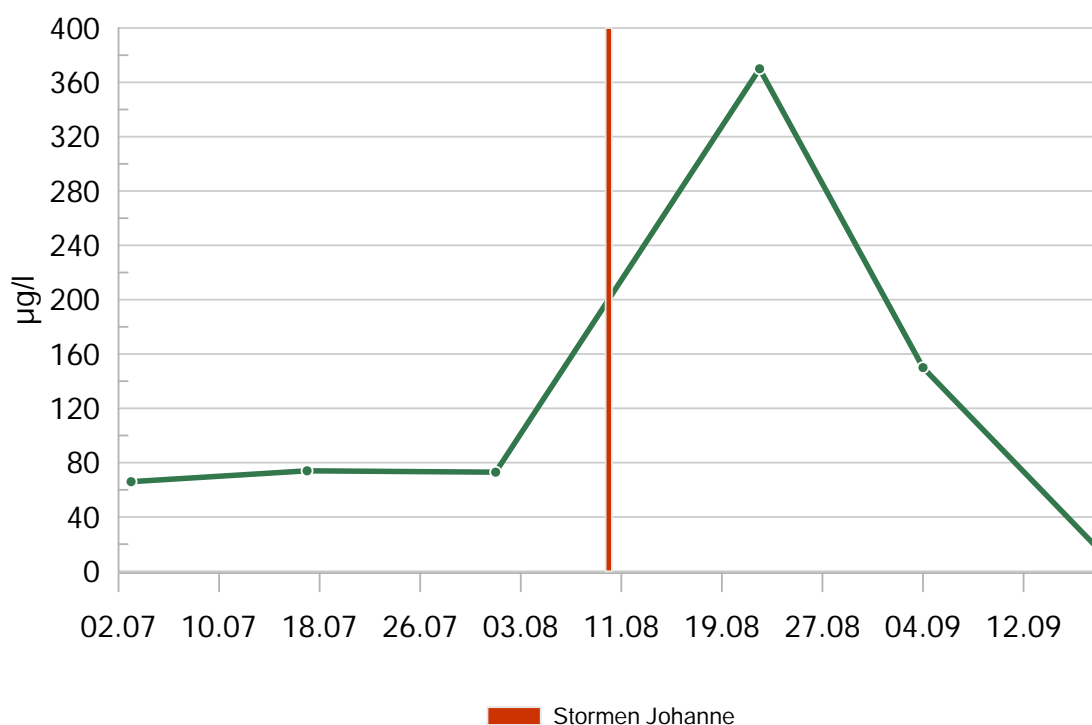
Figur 6.4 Saltkoncentration (promille) igennem vandsøjen ved prøvetagningerne før og efter stormen Johanne d. 10 august 2018.



Figur 6.5 Iltkoncentration (mg/L) igennem vandsøjen ved prøvetagningerne før og efter stormen Johanne d. 10 august 2018.

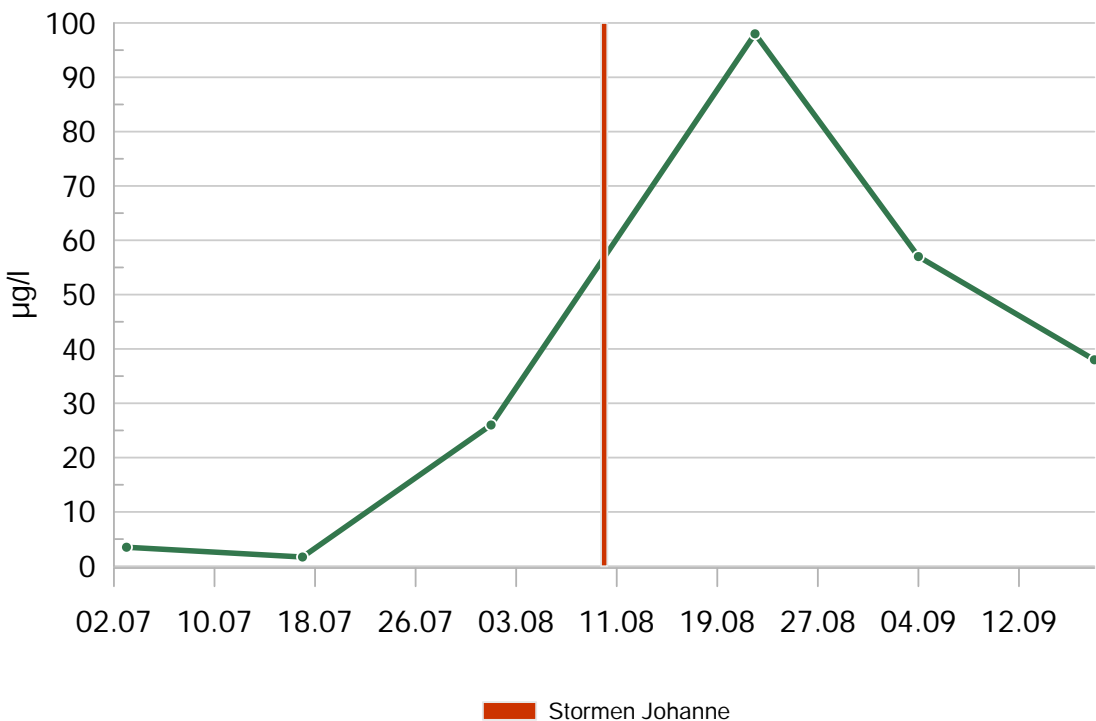


Figur 6.6 Temperatur ($^{\circ}\text{C}$) igennem vandsøjen ved prøvetagningerne før og efter stormen Johanne d. 10 august 2018.

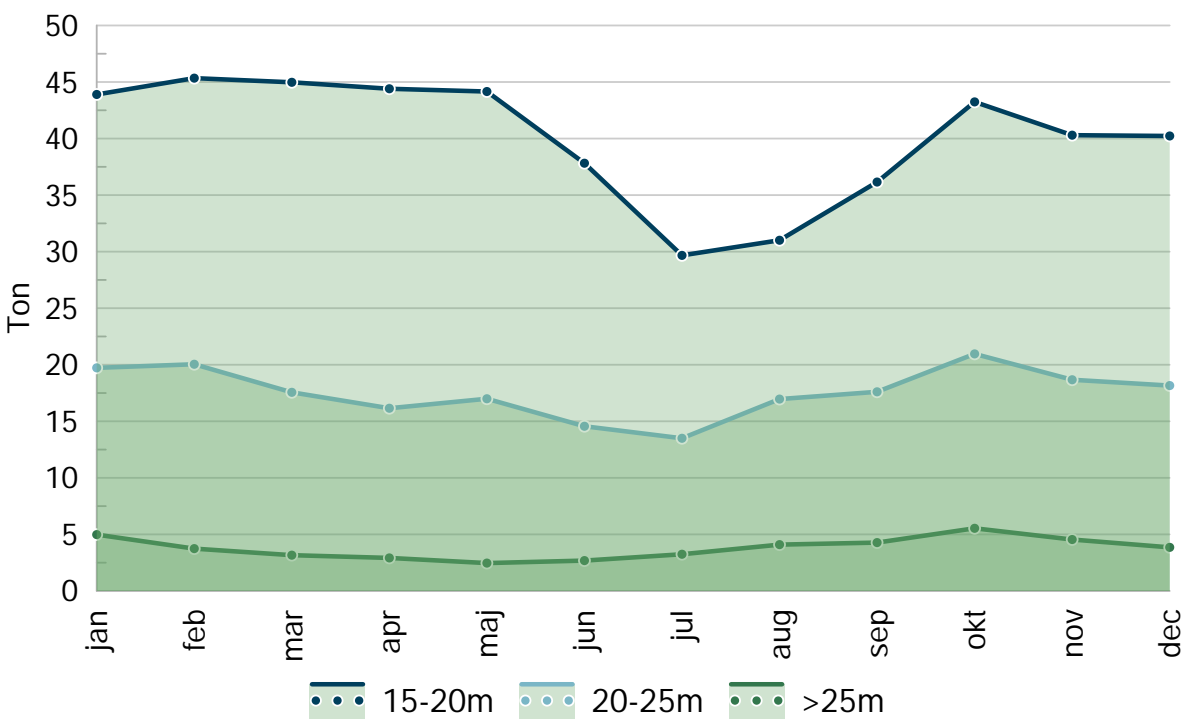


Figur 6.7 Ammonium+ammoniak-N-koncentration ($\mu\text{g}/\text{L}$) i topoprøverne og datomarkering for stormen Johanne i august 2018.

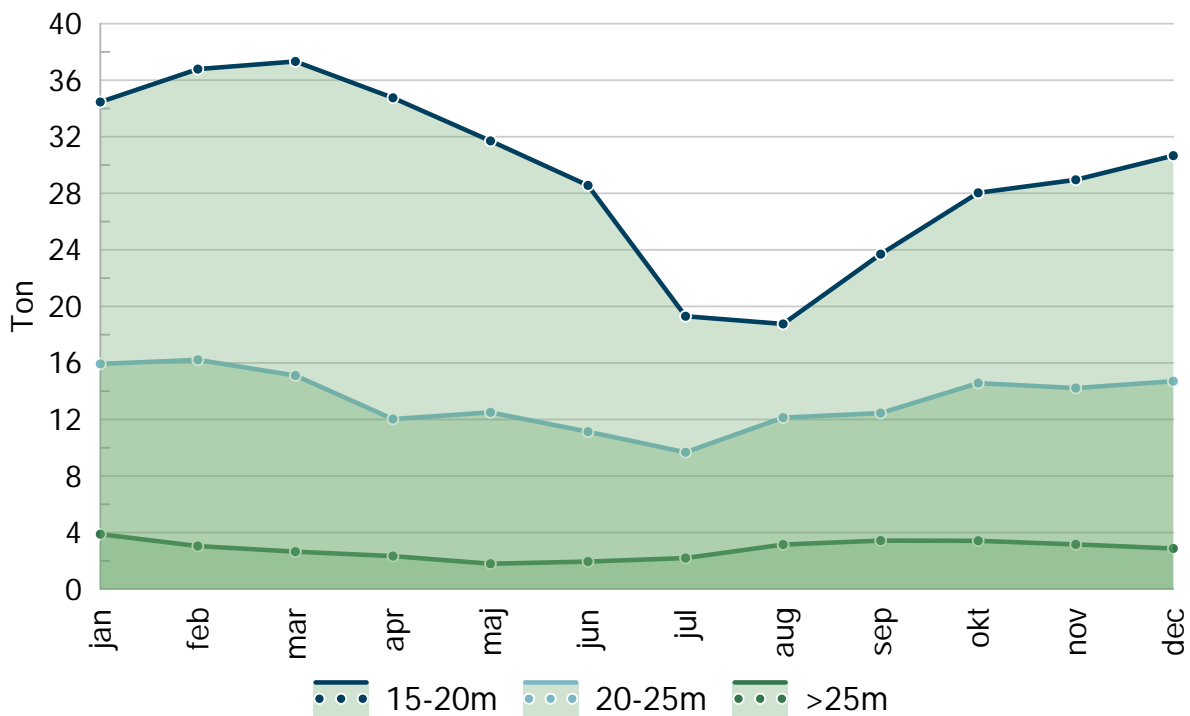
6. Vindhændelser



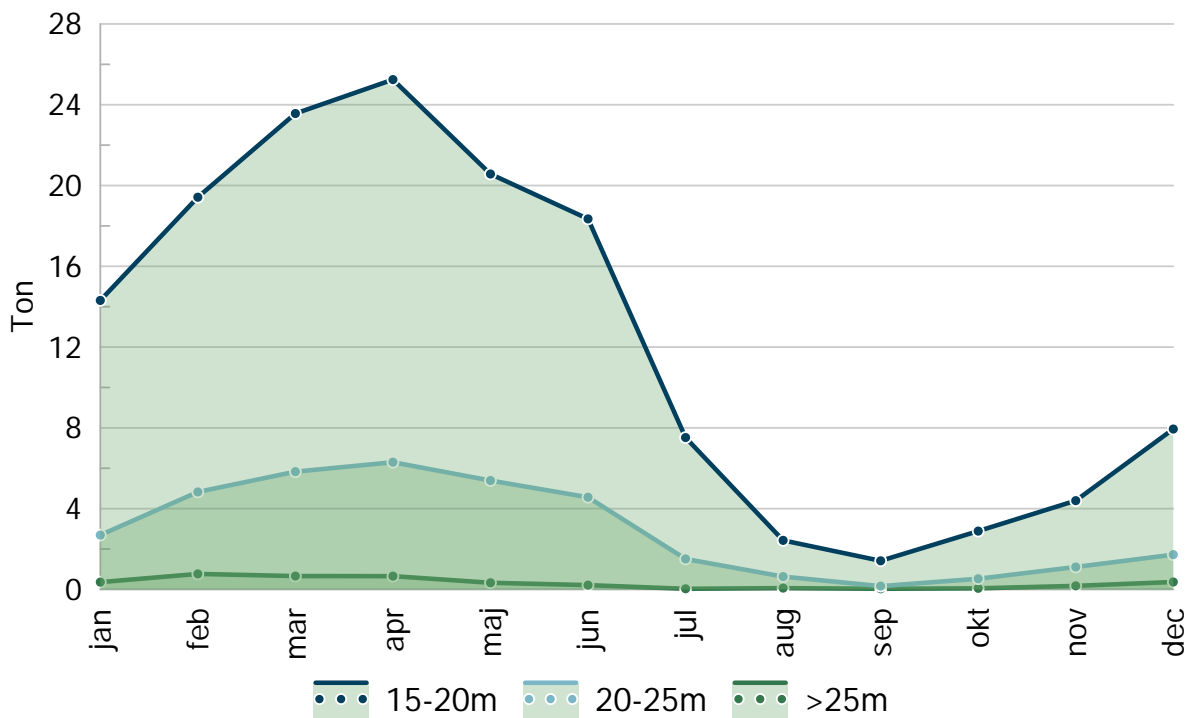
Figur 6.8 Orthofosfat-P-koncentration ($\mu\text{g}/\text{L}$) i topoprøverne og datomarkering for stormen Johanne i august 2018.



Figur 6.9 Summeret gennemsnitlig totalmængde af total kvælstof (ton) under springlaget på månedsbasis fordelt i tre dybdelag (15-20m, 20-25m og $\geq 25\text{m}$) på baggrund af data for 2000-2006.

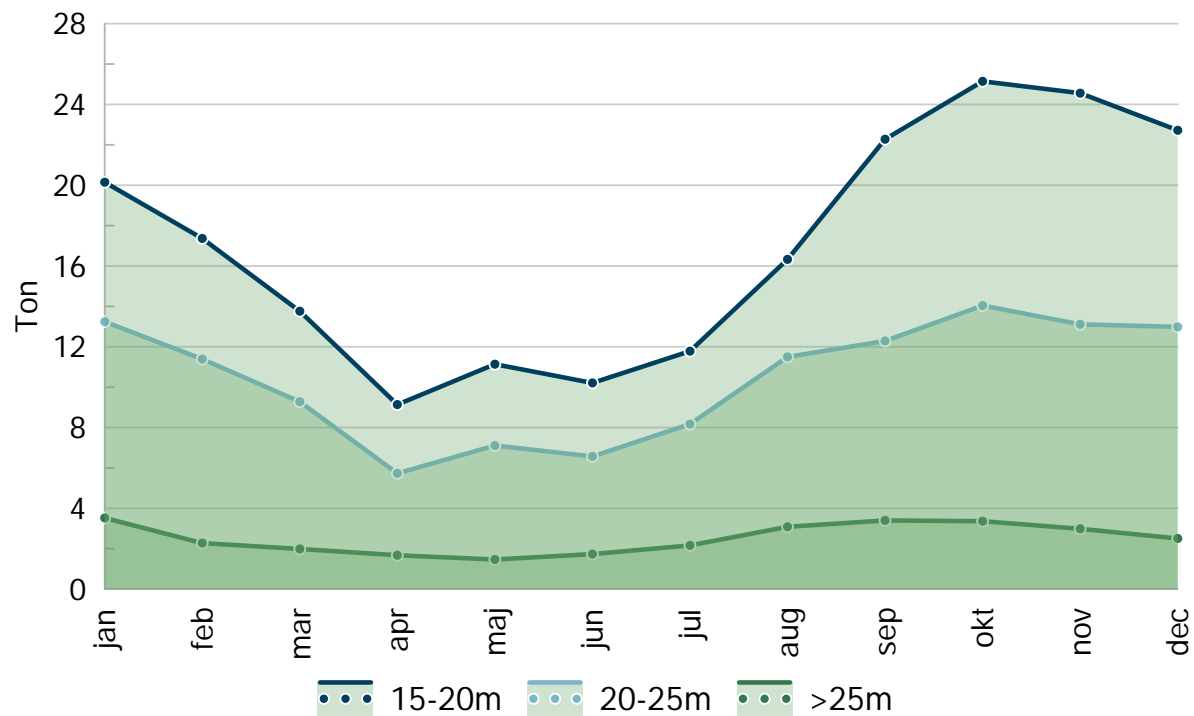


Figur 6.10 Summeret gennemsnitlig totalmængde af DIN (ton) under springlaget på månedsbasis fordelt i tre dybdelag (15-20m, 20-25m og ≥25m) på baggrund af data for 2000-2006.

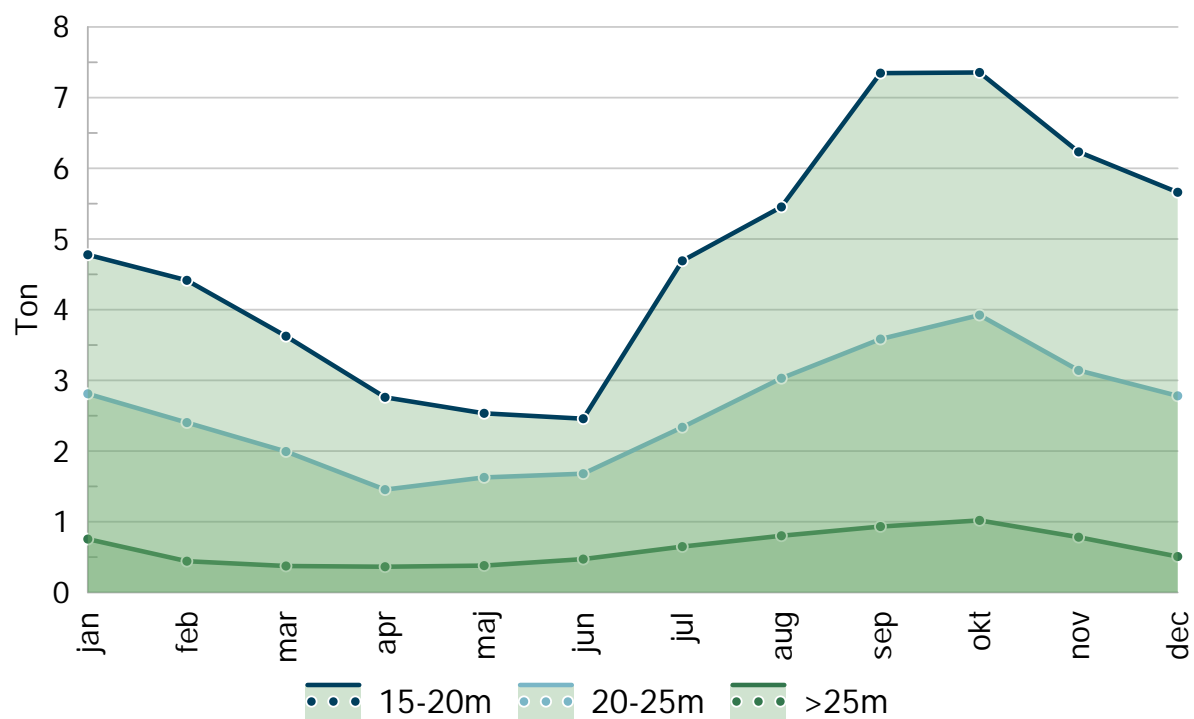


Figur 6.11 Summeret gennemsnitlig totalmængde af nitrit+nitrat-N (ton) under springlaget på månedsbasis fordelt i tre dybdelag (15-20m, 20-25m og ≥25m) på baggrund af data for 2000-2006.

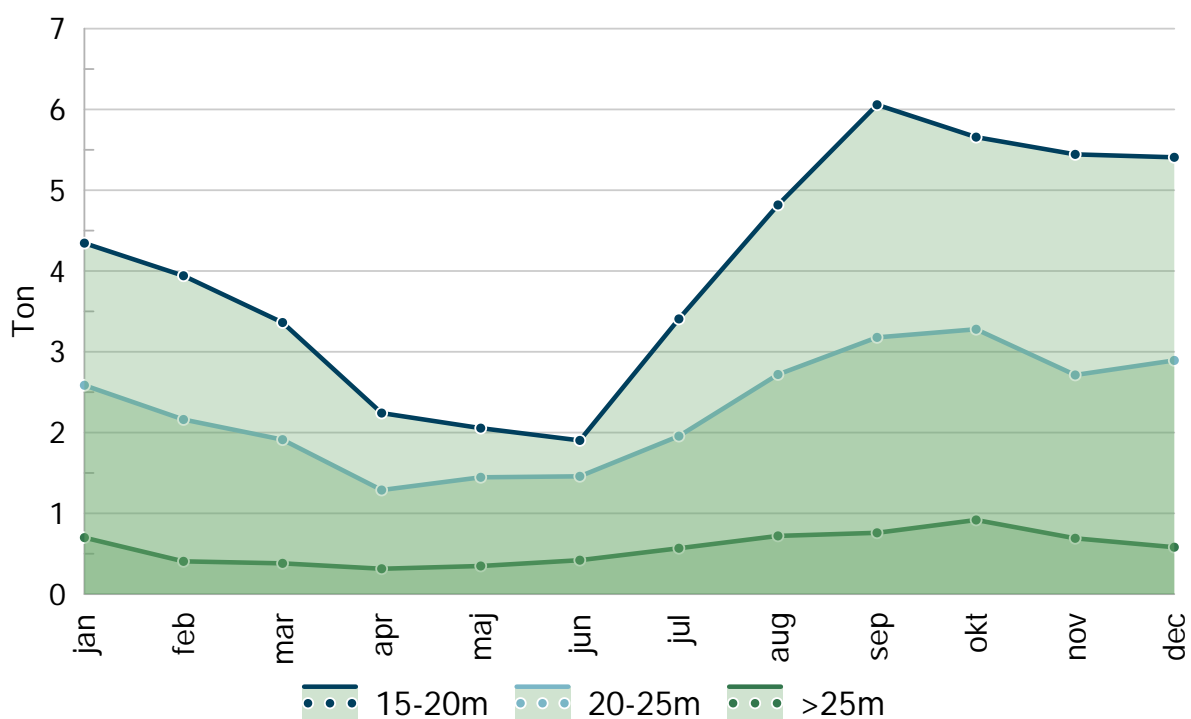
6. Vindhændelser



Figur 6.12 Summeret gennemsnitlig totalmængde af ammoniak+ammonium-N (ton) under springlaget på månedsbasis fordelt i tre dybdelag (15-20m, 20-25m og ≥25m) på baggrund af data for 2000-2006.



Figur 6.13 Summeret gennemsnitlig totalmængde af total fosfor (ton) under springlaget på månedsbasis fordelt i tre dybdelag (15-20m, 20-25m og ≥25m) på baggrund af data for 2000-2006.



Figur 6.14 Summeret gennemsnitlig totalmængde af orthofosfat-P (ton) under springlaget på månedsbasis fordelt i tre dybdelag (15-20m, 20-25m og ≥25m) på baggrund af data for 2000-2006.

KONTAKT OS

Flemming Gertz
Chefkonsulent
+45 87 40 54 18
flg@seges.dk



Tobias Berthel Bendixen
Konsulent
+45 87 40 53 05
tobn@seges.dk



Sebastian Piet Zacho
Konsulent
+45 87 40 55 63
seza@seges.dk



